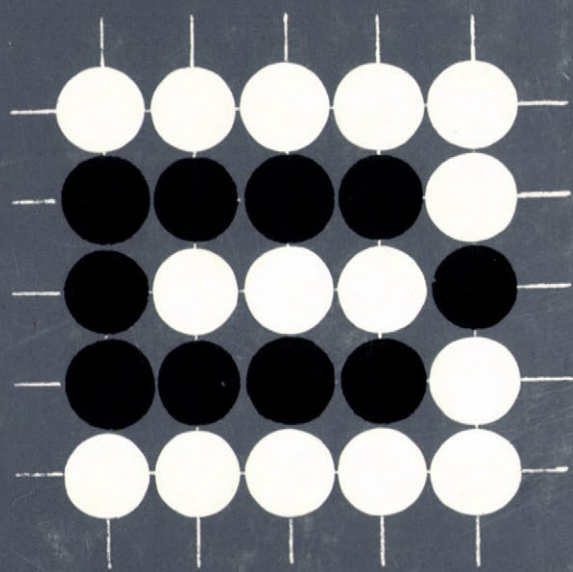


1775

MTA Számítástechnikai és Automatizálási Kutató Intézet

Budapest





MAGYAR TUDOMÁNYOS AKADÉMIA  
SZÁMITÁSTECHNIKAI ÉS AUTOMATIZÁLÁSI KUTATÓ INTÉZETE

KÖZLEMÉNYEK

1978. JANUÁR

Szerkesztőbizottság:

**GERTLER JÁNOS (felelős szerkesztő)**  
**DEMETROVICS JÁNOS (titkár)**  
**FISCHER JÁNOS, FREY TAMÁS, GEHÉR ISTVÁN,**  
**GERGELY JÓZSEF, KERESZTÉLY SÁNDOR,**  
**PRÉKOPA ANDRÁS, TANKÓ JÓZSEF**

Felelős kiadó:

**DR VÁMOS TIBOR**  
igazgató

**ISBN 963 311 054 8**

**ISSN 0133-7459**

Technikai szerkesztő:

Solt Jánosné



## TARTALOMJEGYZÉK

Bagyinszki János – Demetrovics János:	
A belső lineáris transzformációs invariáns szimmetrikus nyelvek hálója . . . . .	7
Rapcsák Tamás:	
A SUMT módszer alkalmazása logaritmikusan konkáv feltételi függvényeket tartalmazó nem-lineáris programozási feladat megoldására . . . . .	17
Kéri Gerzson:	
Egy táblázatkitöltési kombinatorikai probléma és különféle témákhoz kapcsolódó ekvivalens változói. . . . .	29
Deák István:	
A többdimenziós normális eloszlásfüggvény Monte Carlo integrálással történő kiszá- mitásának számítógépes tapasztalatai. . . . .	47
Abaffy József – Varga Gyula:	
Talajmechanikai függvények szintvonal meghatározása . . . . .	61
Csörnyei Zoltán:	
Egy módszer assemblerek előállítására. . . . .	69
Csagyjev, V.M. – Almásy Gedeon:	
Egy adaptív identifikátoros rendszer szimulációs vizsgálata. . . . .	79

## CONTENTS

Proceedings of the Computer and Automation Institute  
 Hungarian Academy of Sciences  
 Vol. 19.

J. Bagyinszki – J. Demetrovics:	
The lattice of symmetric languages invariant under inner linear transformations. . . .	7
T. Rapcsák:	
Application of the SUMT method for mathematical programming problems containing logarithmically concave constraint functions . . . . .	17
G. Kéri:	
A combinatorial problem of tableau filling and its equivalent variants in connection with different subjects. . . . .	29
I. Deák:	
Computer experiences of the evaluation of the multidimensional normal distribution function by a Monte Carlo integration technique. . . . .	47
J. Abbafy – Gy. Varga:	
Determination of the line of levels of soil mechanics functions . . . . .	61
Z. Csörnyei:	
A method for the generation of assemblers . . . . .	69
W.M. Chadeev – G. Almásy:	
Simulation of an adaptive system with identification . . . . .	79

## СОДЕРЖАНИЕ

Труды Исследовательского Института  
Вычислительной Техники и Автоматизации  
Венгерской Академии Наук  
Выпуск 19.

- Я. Бадински - Я. Деметрович:  
Структура симметрических языков, инвариантных по отношению к внутренним линейным трансформациям ..... 7
- Т. Рапчак:  
Применение метода штрафных функций для решения задач нелинейного программирования, содержащих среди условий логаритмически вогнутые функции ..... 17
- Г. Кери:  
Об одной комбинаторной проблеме заполнения таблиц и её эквивалентных версиях в связи с разными темами ..... 29
- И. Деак:  
Значения многомерной функции нормального распределения с помощью интегральной техники Монте Карло, полученных в результате расчетов на ЭВМ ..... 47
- Й. Абаффи - Д. Варга:  
Определение линий уровня функций грунтовой механики ..... 61
- З. Черней:  
Один метод для разработки ассамблеров ..... 69
- В.М. Чадеев - Г. Алмаши:  
Моделирование адаптивной системы с идентификатором ..... 79





## THE LATTICE OF SYMMETRIC LANGUAGES INVARIANT UNDER INNER LINEAR TRANSFORMATIONS \*

Bagyinszki János – Demetrovics János  
MTA KFKI – MTA SZTAKI

Let  $V = \{1, 2, \dots, k-1\}$  for  $k \geq 2$ ,  $V_0 = V \cup \{0\}$  a finite alphabet and  $L$  a language over  $V_0 : L \subseteq V_0^*$ . Notations:  $V_0^* = V_0^+ \cup \{\varepsilon\}$ ,  $V_0^+ = \bigcup_{n=1}^{\infty} V_0^n$ ,  $V_1 \cdot V_2 = \{v_1 v_2 \mid v_1 \in V_1, v_2 \in V_2\}$ , and " $\varepsilon$ " is the empty sentence. A language  $L$  is termed symmetric, if it contains the word  $a_0 a_{\pi(1)} \dots a_{\pi(n)}$  for any  $a_0 a_1 \dots a_n \in L \subseteq V_0^+$  and for any permutation  $\pi \in S_n$  over the index-set  $N = \{1, 2, \dots, n\}$ . The class of symmetric languages ( $S$ -languages) over the alphabet  $V_0$ :

$$\mathcal{S} = \{L \mid (a_0 a_1 \dots a_n \in L \subseteq V_0^+) \text{ iff } (\forall \pi \in S_n)(a_0 a_{\pi(1)} \dots a_{\pi(n)} \in L)\}.$$

A language  $L \subseteq V_0 V^*$  is said to be invariant under inner linear transformations (IL-language) if it is closed under the following two operations  $O_1$  and  $O_2$  ( $a_0 a_1 \dots a_n, b_0 b_1 \dots b_m \in L$ ):

$$1.) O_1(a_0) = a_0, O_1(a_0 a_1) = a_0 a_1,$$

$$O_1(a_0 a_1 \dots a_n) = a_0 \dots a_{n-2} a' \text{ for } n \geq 2, a' = \begin{cases} a_{n-1} + a_n, & \text{if } a_{n-1} + a_n \neq 0; \\ \varepsilon, & \text{if } a_{n-1} + a_n = 0. \end{cases}$$

$$2.) O_2(a_0, b_0 b_1 \dots b_m) = a_0, O_2(a_0 a_1, b_0 b_1 \dots b_m) = (a_0 + c_{10}) c_{11} c_{12} \dots c_{1m},$$

$$O_2(a_0 a_1 \dots a_n, b_0 b_1 \dots b_m) = (a_0 + c_{n0}) a_1 \dots a_{n-1} c_{n1} \dots c_{nm}, \text{ for } n \geq 2,$$

$$c_{ij} = \begin{cases} a_i \cdot b_j, & \text{if } j = 0 \text{ or } a_i \cdot b_j \neq 0; \\ \varepsilon, & \text{if } j \neq 0 \text{ and } a_i \cdot b_j = 0. \end{cases}$$

(the addition "+" and multiplication "." are carried out mod  $k$  in this lecture.)

The class of IL-languages over the alphabet  $V_0$  is

$$\mathcal{I} = \{L \mid \text{if } \underline{a}, \underline{b} \in L \subseteq V_0 V^*, \text{ then } O_1(\underline{a}), O_2(\underline{a}, \underline{b}) \in L\}.$$

The main purpose of this lecture is to investigate the class of symmetric languages invariant under inner linear transformation (SIL-languages):

$$\mathcal{L} = \mathcal{S} \cap \mathcal{I}$$

## Results:

- a.) The complete lattice-structure of  $\mathcal{L}$  and therefore the exact (finite) cardinality of  $\mathcal{L}$  are presented for  $k = p$  prime number.
- b.) The base and the rank of each languages  $L \in \mathcal{L}$  are given.
- c.) The elements of  $\mathcal{L}$  are generable by regular grammars.
- d.) The correspondence between  $\mathcal{L}$  and the class of linear functions on the set  $V_0$  is presented.

**Remark:** A. Salomaa presented in [6] very impressive results concerning closed sets of sequences over the set  $V_0$ . Still, he defined the closedness of a set in a way according to Malcev-algebras and thus a little different from ours. Besides, his essential results concern the case of infinite cardinalities. Moreover, according to his definition, it is not languages what he deals with. In the case  $k = p$  with  $p$  being a prime number he presents the sets corresponding to the sets  $L, L_\alpha, L_\Delta, L_{\Delta 0}, L^{(1)}$  with the remark that because of the finiteness of  $L^{(1)}$  the cardinality in question must be finite as well.

A word  $a_0 a_1 \dots a_n$  can be interpreted as a linear polynomial over  $GF(p)$ ; by the correspondence  $a_0 a_1 \dots a_n \longleftrightarrow a_0 + a_1 x_1 + \dots + a_n x_n$  a connection between many-valued logics and our results is presented. Some significant results on many-valued logics are labelled as follows:

Structure of 2-valued logics (Post-lattice)	– E. Post, 1921. [4]
All precomplete subsets in $P_3$	– Sz. V. Jablonszkij 1953. [7]
Closed and precomplete subsets in $P_k$	– Sz. V. Jablonszkij, 1958. [7]
All precomplete subsets in $P_k$	– I. Rosenberg, 1965. [5]
Closed subsets $\begin{cases} \text{infinitely generated in } P_k (k \geq 3) \\ \text{without bases} \end{cases}$	– Ju. I. Janov, A.A. Muchnik, 1959. [8]
Maximal and precomplete sets in $L(k)$	– A. Salomaa, 1964. [6]
Lattice of $SIL(p)$ -languages	– J. Bagyinszki, J. Demetrovics, 1976. [1], [2].

Table 1.

It can be checked, that the following sets are *SIL*-languages (notations:  $a_0 \in V_0, a_i \in V$  for  $i \geq 1, \sum_{i=1}^n a_i = a, \alpha \in V_0$ ):

$$L(k) = \{ a_0 a_1 \dots a_n \mid n = 0, 1, 2, \dots \} = V_0 \cdot V^*$$

$$L_{\Delta} = \{ a_0 a_1 \dots a_n \mid a = 1 \}$$

$$L_{\alpha} = \{ a_0 a_1 \dots a_n \mid a_0 = \alpha(1 - a), n \geq 1 \} \cup \{ \alpha \}$$

$$L^{(1)} = V_0 \cup V_0 V$$

$$L^{(0)} = V_0$$

$$L^{(1)} \setminus L^{(0)} (= V_0 V)$$

$$L_{\Delta\alpha} = L_{\Delta} \cap L_{\alpha} = L_{\Delta 0}$$

$$L_{\Delta}^{(1)} = L_{\Delta} \cap L^{(1)}$$

$$L_{\alpha}^{(1)} = L_{\alpha} \cap L^{(1)} = \{ a_0 a_1 \mid a_0 = \alpha(1 - a_1) \} \cup \{ \alpha \}$$

$$L_{\alpha}^{(1)} \setminus \{ \alpha \} (= L_{\alpha} \cap (L^{(1)} \setminus L^{(0)}))$$

$$L_{\alpha}^{(0)} = L_{\alpha} \cap L^{(0)} = \{ \alpha \}$$

$$L_{\alpha}^{(1)} \cup L^{(0)}$$

**Theorem 1:** If  $k = p$  (prime), then  $\langle \mathcal{L} \cup \{ \emptyset \}, \subseteq \rangle$  is a finite lattice, with the unit element  $L(p)$  and zero element  $\emptyset$  (empty set).

The linear sublattice of the known Post-lattice ( $k = 2$ ) is given for an example on Fig. 1.

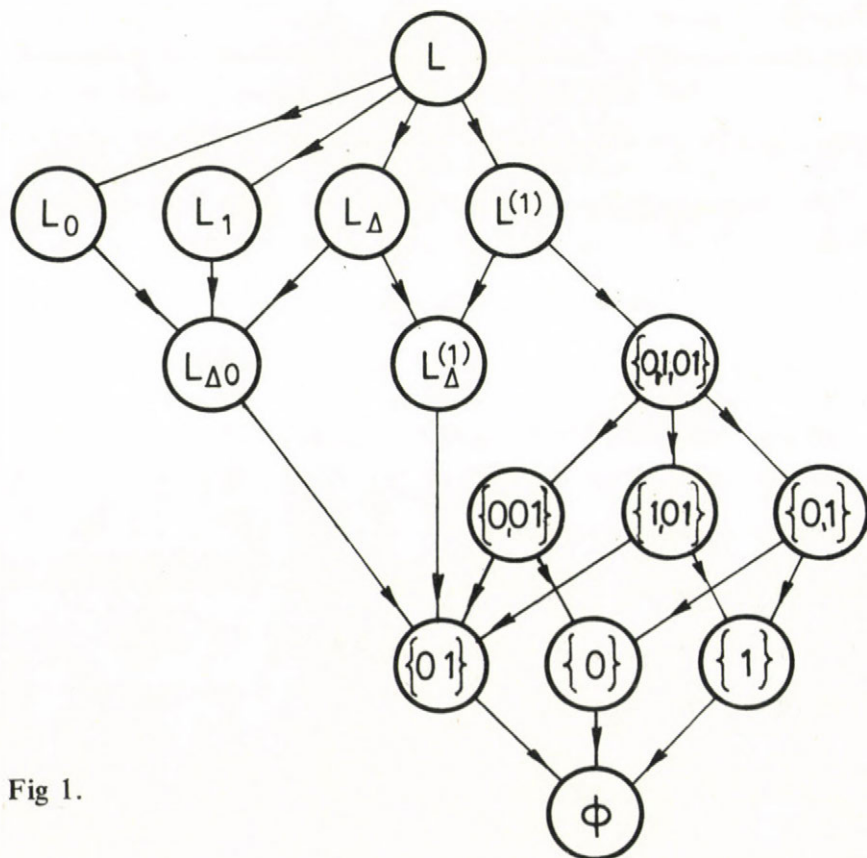


Fig 1.



In the rest of the paper  $k$  is supposed to be a prime number  $p \geq 3$ .

Let  $[A] \in \mathcal{L}$  be the least language in  $\mathcal{L}$  containing  $A$  (thus,  $A \subseteq \bar{A} \subseteq [A]$ ,  $\bar{A}, [A] \in \mathcal{L}$  implies  $\bar{A} = [A]$ ). The set  $B \subseteq L' \in \mathcal{L}$  is a base of  $L'$ , if  $[B] = L'$  and  $B' \subseteq B$ ,  $[B'] = L'$  implies  $B' = B$ .

" $A$ " is called to be complete in  $L' \in \mathcal{L}$ , if  $[A] = L'$ .

Let  $L', L'' \in \mathcal{L}$ .  $L''$  will be called precomplete in  $L'$ , if  $L'' \subset A \subseteq L'$  implies  $[A] = L'$ .

Let  $L'$  be a *SIL*-language. To prove that all the precomplete *SIL*-languages in  $L'$  are given, we need bases of the *SIL*-languages. Bases of  $L(p)$ , precomplete languages in  $L(p)$  and their bases are given in theorems 2 – 6. (without proofs). This is the first level in the lattice  $\langle \mathcal{L} \cup \{\emptyset\}, \subseteq \rangle$ .

**Theorem 2.** *The following sets are bases in  $L(p)$ :*

- (a)  $\{011, 11\} \bullet$
- (b)  $\{a_0 a_1 a_2, b_0, c_0\}$ ;  $a = 1, a_0 = 0, b_0 \neq c_0 \bullet$
- (c)  $\{a_0 a_1 a_2, b_0\}$ ;  $a = 1, a_0 \neq 0 \bullet$
- (d)  $\{a_0 a_1 a_2, b_0\}$ ;  $a \neq 1, b_0 \neq (p - a_0)(a - 1)^{p-2} \bullet$

**Theorem 3.**

- (1) Languages  $L_\alpha$  are precomplete in  $L(p)$ ,  $\alpha = 0, 1, \dots, p-1$ .
- (2) The language  $L_\Delta$  is a precomplete in  $L(p)$ .
- (3) The language  $L^{(1)}$  is a precomplete in  $L(p)$ .

**Theorem 4.**

- (a) The set of base-functions (bases with one element each) in the language  $L_\alpha$  is:  
 $L_\alpha \setminus (L_\Delta \cup L^{(1)})$ .
- (b) The set of base functions in the set  $L_\Delta$  is:  $L_\Delta \setminus (L_{\Delta 0} \cup L^{(1)})$ .
- (c) The set of base functions in the set  $L_{\Delta 0}$  is:  $L_{\Delta 0} \setminus L^{(1)}$ .

Let  $c_0 \in V_0$ ,  $B = \{a_{10} a_{11} a_{20} a_{21}, \dots, a_{s_0} a_{s_1}\}$ , and  $r_i = (a_{i1})$  be the multiplicative order of  $a_{i1} \in V$ .

**Theorem 5.**

**A.)** *The following statements are equivalent:*

- (1) The set  $B$  is a base in the language  $L^{(1)} \setminus L^{(0)} \bullet$
- (2) The set  $B_0 = B \cup \{c_0\}$  is a base in the language  $L^{(1)} \bullet$
- (3) For elements of the set  $B$  are valid:



(a)  $l.c.m. \{r_1, \dots, r_s\} = p - 1$ .

(b)  $B \setminus L_\alpha^{(1)} \neq \emptyset \quad \alpha = 0, 1, \dots, p - 1$ .

(c) if  $B' \subset B$ ,  $B' \neq B$ , then (a) and (b) cannot hold for  $B'$  at the same time.

B.) If  $B$  is a base of  $L^{(1)} \setminus L^{(0)}$ , then  $|B| \geq 2$ ,  $|B_0| \geq 3$ .

### Theorem 6.

Every language  $L \in \mathcal{L}$  different from  $L(p)$  is a subset at least in one of the precomplete languages  $L_0, L_1, \dots, L_{p-1}, L_\Delta, L^{(1)}$ .

Languages of the next level can be determined in a similar way. Results are presented only in a more compact form on Fig. 2. giving the structure of the lattice  $\langle \mathcal{L} \cup \{\emptyset\}, \subset \rangle$ . If the language  $L''$  is precomplete in  $L' \in \mathcal{L}$ , then  $L''$  is of the next level and there is an edge connecting it with  $L'$ .

It can be seen that the set  $L^{(1)} \setminus L^{(0)}$  constitutes a group of order  $p(p-1)$  with respect to the operation  $\circ_2$ . Let  $p-1 = q_1^{\kappa_1} \dots q_u^{\kappa_u}$  be the canonical decomposition of  $p-1$ , where  $2 = q_1 < q_2 < \dots < q_u$  are prime numbers,  $\kappa_i \geq 1$ ,  $p_i = \frac{p-1}{q_i}$  and  $L^{(1,i)} = \{a_0 a \mid v(a) \text{ divides } p_i\}$   
 $i = 1, 2, \dots, u$

$v(a)$  is the order of "a" in the group  $\langle V, \cdot \rangle$ .

To complete the structure of  $L^{(1)}$  it needs, for example, the following statements:

- (1) The group  $L_\Delta^{(1)}$  is contained in a subgroup  $G$  of the group  $L^{(1)} \setminus L^{(0)}$ , if and only if the order of  $G$ ,  $|G| \geq p$ .
- (2) The subgroup  $G \subseteq L^{(1)} \setminus L^{(0)}$  of order  $|G| \leq p-1$  is cyclic,  $G$  is a subgroup of  $L_\alpha^{(1)} \setminus \{\alpha\}$  for some suitable  $\alpha$ .

The next theorem involves the result on cardinality cited in theorem 1.

### Theorem 7.

- (1)  $\mathcal{L}$  has the cardinality

$$|\mathcal{L}| = p + 2 - (p-2)2^{p-1} + 2d(p-1) + 2p \cdot \sum_{e|p-1} 2^e.$$

- (2)  $\mathcal{L}$  has maximal and minimal chains of length  $p + 2 + \sum_{i=1}^u \kappa_i$  and 3, respectively.

At last, we shall show that  $\mathcal{L}$  is a subclass in the class of regular languages. Thus we shall describe the regular grammars which generate the elements of  $\mathcal{L}$ , and finite accepting automata.

The grammars  $G$  for languages  $L, L_\Delta, L_{\Delta 0}$  and  $L_\alpha$  are given as follows. Let  $G = (K, V_0, P, A_0)$  be with non-terminals  $K$ , terminals  $V_0$ , productions  $P$ .

$$L: K_L = \{A_0, A_1\}, \quad P_L = \bigcup_{\substack{i \in V \\ j \in V_0}} \{A_0 \rightarrow j, A_0 \rightarrow jA_1, A_1 \rightarrow i, A_1 \rightarrow iA_1\}.$$

$$L_\Delta - L_{\Delta 0}: K_0 = \{A_0, A, A_1, \dots, A_{p-1}\},$$

$$P_\Delta = \bigcup_{\substack{i, j \in V \\ j_0 \in V_0}} \{A_0 \rightarrow j_0 A, A \rightarrow 1, A \rightarrow iA_i, \quad A_i \rightarrow p-i+1, A_i \rightarrow jA_{i+j}\}.$$

$$P_{\Delta 0} = P_\Delta \setminus \{A_0 \rightarrow jA \mid j \in V\}.$$

$$L_\alpha: K = \{A_0, A_1, \dots, A_{p-1}, \quad B_0, B_1, \dots, B_{p-1}\}$$

$$P_\alpha = \bigcup_{\substack{i, j, m \in V \\ j_0 \in V_0}} \{A_0 \rightarrow \alpha, A_0 \rightarrow jB_{j \cdot \beta}, B_m \rightarrow p-m+1, B_m \rightarrow i \cdot A_{m+i}, A_i \rightarrow p-i+1, A_i \rightarrow jA\}$$

$$\beta = \alpha^{p-2}.$$

It is clear, that for finite languages there are accepting finite automata.

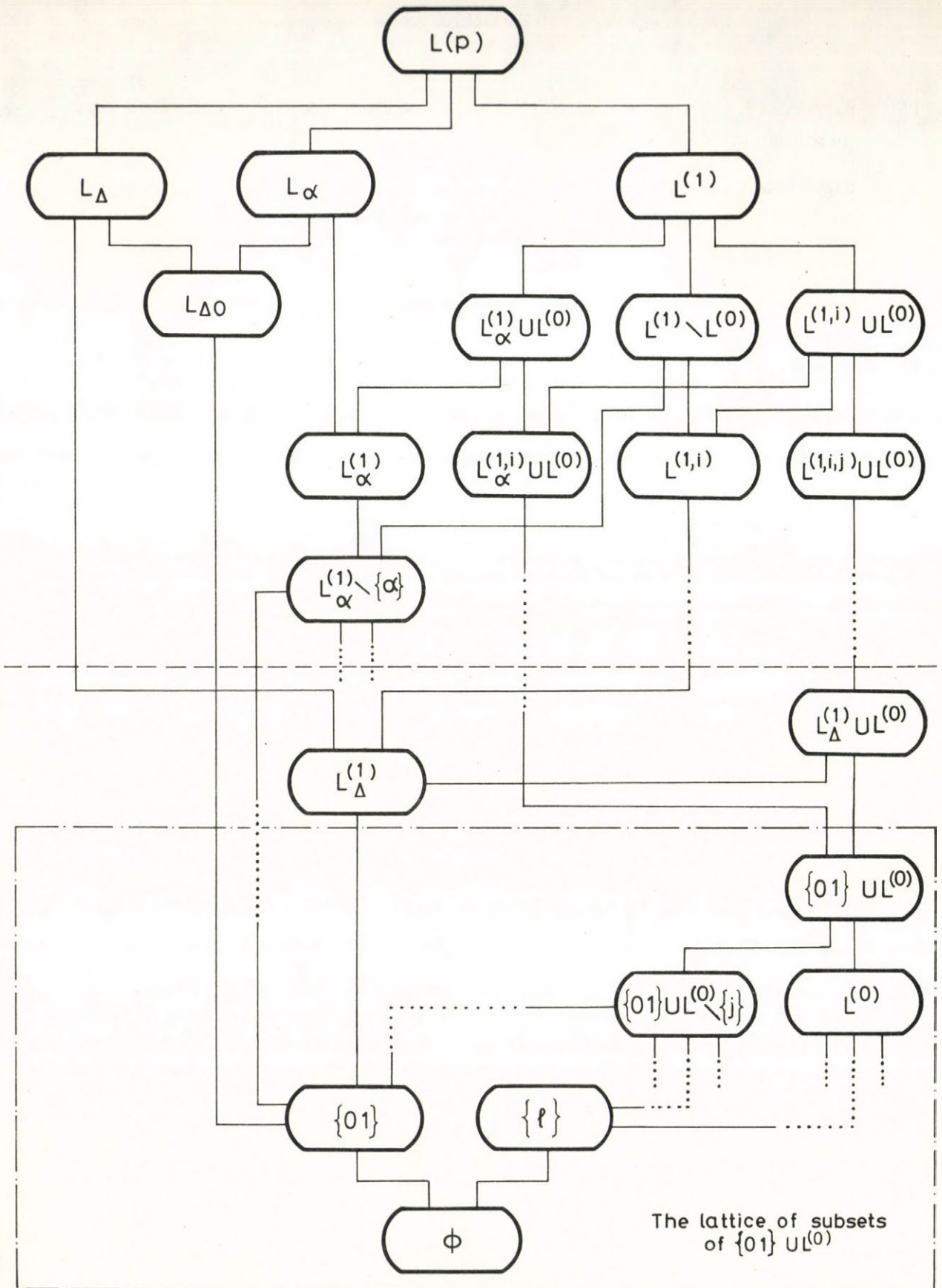


Fig. 2.



## REFERENCES

- [1] Bagyinszki J. – Demetrovics J. : The structure of linear classes in prime valued logics (in Hungarian) MTA SzTAKI Közlemények, 16/1976, 25-52.
- [2] Bagyinszki J. – Demetrovics J. : The structure of the class of symmetric languages invariant for inner linear transformations, in Proc.s of second Hung. Comp. Sci. Conf. 100-130. (1977, Budapest)
- [3] Hopcroft J.B. – Ullman J.D. : Formal languages and their relation to automata, 1969. Addison – Wesley
- [4] Post, E. : The two-valued iterative systems of mathematical logic, Annals of Math. Studies 5 (1941).
- [5] Rosenberg, I. : La structure des fonktions de plusieurs variables sur un ensemble fini. C.R. Acad. Sci. Paris Ser A.B 260 (1965) 3817-19.
- [6] Salomaa, A.; On infinitely generated sets of operations in finite algebras. Ann. Univ. Turkuensis, ser. A.I. 74. (1964) 1-13.
- [7] Jablonszkij, S.V. : Functional constructions in  $k$ -valued logics (Russian) Trudy Mat. - Inst. Steklov 51 (1958) 5-142.
- [8] Janov, Ju.I., Muchnik, A.A.: Existence of  $k$ -valued closed classes having no finite basis (Russian), Dokl.Akad.Nauk. SSSR. 127 (1959) 44-46.



A belső lineáris transzformációra invariáns szimmetrikus  
nyelvek hálójá

Bagyinszki János – Demetrovics János

A  $V_0$  alaphalmazon definiált  $L$  nyelvet szimmetrikusnak nevezzük, ha  $a_0 a_1 a_2 \dots a_n \in L$  esetén  $a_0 a_{\pi(1)} a_{\pi(2)} \dots a_{\pi(n)} \in L$  is igaz minden  $\pi(x)$  permutációra. Egy nyelv invariáns a belső lineáris transzformációra nézve, ha zárt a dolgozatban definiált  $O_1$  és  $O_2$  operációkra. A szimmetrikus és a belső lineáris transzformációra invariáns nyelveket SIL-nyelveknek nevezzük. A jelen dolgozatban azokat SIL nyelveket tanulmányozzuk, amelyekben a  $V_0$  alaphalmaz számossága primszám.

Dolgozatunkban leírjuk a SIL(p) nyelvek osztályának teljes szerkezetét, megadjuk a tartalmazási reláció által indukált hálót, a minimális bázisokat és a pontos elemszámot. Megmutatjuk, hogy a SIL(p)-nyelvek mindegyike reguláris és utalunk a többértékű logika lineáris függvény-osztályaival való kapcsolatra.

Структура симметрических языков, инвариантных по отношению к внутренним линейным трансформациям.

Янош Бадински - Янош Деметрович

Назовем язык  $L$  симметрическим над алфавитом  $V_c = \{0, 1, 2, \dots, \dots, k-1\}$ , если для каждой перестановки  $\pi(x)$  из  $a_0 a_1 a_2 \dots a_n \in L$  следует, что  $a_0 a_{\pi(1)} \dots a_{\pi(n)} \in L$ . Язык  $L$  является инвариантным по отношению к внутренним линейным трансформациям, если он замкнут относительно операций  $O_1, O_2$  определенных в данной работе. Язык  $L$  называется SIL-языком, если он симметрический и инвариантен по отношению к внутренним линейным трансформациям. В настоящей работе мы исследовали SIL-язык, в случае когда мощность алфавита  $V_0$  равна простому числу.

В работе описана полная структура SIL-языков относительно операции включения и охарактеризован каждый класс /SIL-языков/ в этой структуре. Кроме того, для каждого SIL-языка задан минимальный базис и приведена точная арифметическая формула для мощности SIL-языков /элементов в структуре/. Доказывается, что каждый SIL-язык является регулярным и, кроме того, указывается связь между линейными замкнутыми классами  $k$ -замкнутой логики и SIL-языками.

## A SUMT MÓDSZER ALKALMAZÁSA LOGARITMIKUSAN KONKÁV FELTÉTELI FÜGGVÉNYEKET TARTALMAZÓ NEM-LINEÁRIS PROGRAMOZÁSI FELADAT MEGOLDÁSÁRA

Rapcsák Tamás

A SUMT (Sequential Unconstrained Minimization Techniques) olyan nem-lineáris programozási algoritmus, amely a feladat megoldását feltétel nélküli minimalizálások sorozatára vezeti vissza. Ha a célfüggvény konvex és a feltételi függvények konkávok, akkor az algoritmus globális minimumot határoz meg. Ebben a cikkben megmutatjuk, hogy a SUMT belső pont algoritmusai logaritmikusan konkáv feltételi függvények mellett nem korlátos tartomány esetén is globális optimumot határoznak meg. Ilyen típusú feladatok Prékopa András munkáiban fordulnak elő. [9], [10], [11]. Az itt található konvergencia bizonyítások is eltérnek a korábbiaktól. A dolgozat végén számítástechnikai tapasztalatokat közlünk.

**Definíció.** Egy  $R^n$ -beli  $g(x)$  függvény logaritmikusan konkáv, ha  $\ln g(x)$  konkáv függvény. A következő feladattal foglalkozunk:

$$(1) \quad \begin{aligned} \min f(x), \\ g_i(x) \geq p_i, \quad i = 1, \dots, r, \\ g_i(x) \geq 0, \quad i = r + 1, \dots, m \end{aligned}$$

ahol  $f(x)$ ,  $-g_i(x)$ ,  $i = r + 1, \dots, m$   $R^n$ -beli konvex függvények, a  $g_i(x) - k$ ,  $i = 1, \dots, r$  pedig  $R^n$ -beli logaritmikusan konkáv függvények,  $p_i > 0$ ,  $i = 1, \dots, r$ .

**1. Lemma.** Ha  $g(x)$  logaritmikusan konkáv, akkor  $p > 0$  esetén  $g(x) - p$  is logaritmikusan konkáv  $\{x | g(x) > p\}$ -n.

**Bizonyítás.** A logaritmus konkávitás definíciójából következik, hogy  $g(x)$  az egész téren folytonos. Ezért elegendő megmutatni, hogy

$$g\left(\frac{x_1 + x_2}{2}\right) - p \geq \sqrt{(g(x_1) - p)(g(x_2) - p)} \quad \text{ha } x_1, x_2 \in \{x | g(x) > p\}.$$

De  $g(x)$  logaritmikusan konkáv, így

$$g\left(\frac{x_1 + x_2}{2}\right) \geq \sqrt{g(x_1)g(x_2)}, \quad \text{illetve}$$

$$g\left(\frac{x_1 + x_2}{2}\right) - p \geq \sqrt{g(x_1)g(x_2)} - p.$$

Tehát elegendő belátni, hogy

$$\sqrt{g(x_1)g(x_2)} - p \geq \sqrt{(g(x_1) - p)(g(x_2) - p)}, \quad \text{ha } x_1, x_2 \in \{x | g(x) > p\}.$$



A geometriai egyenlőtlenség miatt

$$2\sqrt{g(\underline{x}_1)g(\underline{x}_2)} \leq g(\underline{x}_1) + g(\underline{x}_2).$$

Mivel  $p > 0$ , így

$$-2p\sqrt{g(\underline{x}_1)g(\underline{x}_2)} \geq -p(g(\underline{x}_1) + g(\underline{x}_2)).$$

Mindkét oldalhoz  $g(\underline{x}_1)g(\underline{x}_2) + p^2 - t$  adva

$$g(\underline{x}_1)g(\underline{x}_2) - 2p\sqrt{g(\underline{x}_1)g(\underline{x}_2)} + p^2 \geq g(\underline{x}_1)g(\underline{x}_2) - p(g(\underline{x}_1) + g(\underline{x}_2)) + p^2$$

azaz

$$(\sqrt{g(\underline{x}_1)g(\underline{x}_2)} - p)^2 \geq (g(\underline{x}_1) - p)(g(\underline{x}_2) - p).$$

Ha  $\underline{x}_1, \underline{x}_2 \in \{ \underline{x} | g(\underline{x}) > p \}$ , akkor

$$\sqrt{g(\underline{x}_1)g(\underline{x}_2)} - p \geq \sqrt{(g(\underline{x}_1) - p)(g(\underline{x}_2) - p)}, \text{ ami éppen az állítás.}$$

**2. Lemma.** Ha  $g(\underline{x})$  logaritmikusan konkáv, akkor  $p > 0$  esetén  $1/g(\underline{x}) - p$  konvex  $\{ \underline{x} | g(\underline{x}) > p \} - n$ .

**Bizonyítás.** Az 1. Lemma miatt  $\ln(g(\underline{x}) - p)$  konkáv  $\{ \underline{x} | g(\underline{x}) > p \} - n$ .

Ebből következik, hogy

$$e^{-\ln(g(\underline{x}) - p)} = \frac{1}{g(\underline{x}) - p} \text{ konvex } \{ \underline{x} | g(\underline{x}) > p \} - n.$$

**3. Lemma.** Ha a  $g_i(\underline{x}) - k$ ,  $i = 1, \dots, r$  logaritmikusan konkávak,

$$P = \{ \underline{x} | g_i(\underline{x}) \geq p_i, i = 1, \dots, r \}, P_0 = \{ \underline{x} | g_i(\underline{x}) > p_i, i = 1, \dots, r \}$$

nem üres, akkor  $P_0$  megegyezik  $P$  relativ belső pontjainak halmazával.

**Bizonyítás.** A  $g_i(\underline{x}) - k$   $i = 1, \dots, r$  folytonosságából következik, hogy  $P$  relativ belső pontjainak halmaza tartalmazza  $P_0$ -t. A fordított állítást indirekt uton látjuk be. Tegyük fel, hogy  $P_0$  nem tartalmazza  $P$  relativ belső pontjainak halmazát. Akkor található  $\underline{x}_1$  relativ belső pont, amelyre  $g_i(\underline{x}_1) = p_i$  valamely  $i$  indexre. Mivel  $\underline{x}_1$  relativ belső pont, ezért létezik olyan környezete, amely  $P$ -beli pontokból áll. Legyen  $\underline{x}_0 \in P_0$ . (Ilyen pont található, mert  $P_0$  nem üres.) Kössük össze az  $\underline{x}_0$ -t az  $\underline{x}_1$ -el és hosszabbítsuk meg úgy ezt a szakaszt hogy a végpontja  $\underline{x}_2$  az  $\underline{x}_1$  környezetén belül maradjon. Akkor létezik  $0 < \lambda < 1$  úgy, hogy  $\underline{x}_1 = \lambda \underline{x}_0 + (1 - \lambda) \underline{x}_2$  és  $g_i(\underline{x}_0) > p_i$ ,  $g_i(\underline{x}_1) = p_i$ ,  $g_i(\underline{x}_2) \geq p_i$ .

A  $g_i(\underline{x})$  logaritmusos konkávitása miatt

$$p_i = g_i(\underline{x}_1) \geq g_i(\underline{x}_0)^\lambda \cdot g_i(\underline{x}_2)^{1 - \lambda} > p_i^\lambda \cdot p_i^{1 - \lambda} = p_i.$$

Ez ellentmondás, így bebizonyítottuk az állítást. Ebből következik, hogy  $P_0$  lezárta megegyezik  $P$ -vel. Legyenek  $G_i(\underline{x}) = g_i(\underline{x}) - p_i$ ,  $i = 1, \dots, r$ ;  $G_i(\underline{x}) = g_i(\underline{x})$ ,  $i = r + 1, \dots, m$ .



Írjuk át (1)-t az alábbi formába

$$(2) \quad \begin{aligned} & \min f(\underline{x}) \\ & G_i(\underline{x}) \geq 0, \quad i = 1, \dots, m, \end{aligned}$$

ahol  $G_i(\underline{x}) - k$   $i = 1, \dots, m$  *logaritmikusan konkávok*  $R^n$  valamilyen részhalmazán.

A (2) feladatban a megengedett tartomány konvex. Ugyanis ha  $G(\underline{x})$  valamilyen tartományon *logaritmikusan konkáv*, akkor ott *kvázikonkáv*. Ebből következik, hogy (2)-ben bármely lokális optimum globális. (A nem-lineáris programozási algoritmusok lokális optimumot határoznak meg.)

A (2) feladatot "belső pont" algoritmussal oldjuk meg. Az  $\{ \underline{x} | G_i(\underline{x}) > 0, i = 1, \dots, m \}$ -n értelmezünk egy függvénysorozatot, úgy, hogy a függvénysorozat tagjainak feltétel nélküli minimumai a (2) feladat megoldásához konvergáljanak.

Legyen

$$P_1(\underline{x}, r_k) = f(\underline{x}) + r_k I_1(\underline{x}), \quad \text{ahol } I_1(\underline{x}) = \sum_{i=1}^m \frac{1}{G_i(\underline{x})},$$

$$P_2(\underline{x}, r_k) = f(\underline{x}) + r_k I_2(\underline{x}), \quad \text{ahol } I_2(\underline{x}) = \sum_{i=1}^m -\ln G_i(\underline{x}).$$

A függvénysorozatokban  $r_{k-1} > r_k > 0$  és  $\lim_{k \rightarrow \infty} r_k = 0$ ,

$I_1(\underline{x})$ ,  $I_2(\underline{x})$ -re pedig teljesülnek:

1,  $I_1(\underline{x})$ ,  $I_2(\underline{x})$  folytonosak  $R_0$ -on, ahol  $R_0 = \{ \underline{x} | G_i(\underline{x}) > 0, i = 1, \dots, m \}$ .

2, ha  $\underline{x}_k$  tetszőleges sorozata  $R_0$ -nak és  $\underline{x}_k \rightarrow \underline{x}_0$  úgy, hogy

$G_i(\underline{x}_0) = 0$  legalább egy  $i$  indexre, akkor

$$\lim_{k \rightarrow \infty} I_1(\underline{x}_k) = +\infty, \quad \text{illetve}$$

$$\lim_{k \rightarrow \infty} I_2(\underline{x}_k) = +\infty.$$

A 2. tulajdonság miatt a függvénysorozat minden tagjának minimum helye a megengedett tartomány "belsejébe" van kényszerítve, így a feltétel nélküli optimalizálás során elvileg soha nem lépünk ki  $R_0$ -ból. Látható, hogy  $P_1(\underline{x}, r_k)$ ,  $P_2(\underline{x}, r_k)$  tetszőleges  $k$  mellett konvexek. A konvergencia tételekhez szükséges az alábbi lemma.

**4. Lemma.** Ha  $u(\underline{x})$   $R^n$ -beli konkáv függvény, a  $G_i(\underline{x}) - k$   $i = 1, \dots, m$  *logaritmikusan konkávok*  $R^n$  valamilyen részhalmazán és  $Q = \{ \underline{x} | u(\underline{x}) \geq 0, G_i(\underline{x}) \geq 0, i = 1, \dots, m \}$  nem üres, korlátos, akkor tetszőleges  $k \geq 0$  értékre

$$Q_K = \{ \underline{x} | u(\underline{x}) \geq -k, G_i(\underline{x}) \geq 0, i = 1, \dots, m \} \text{ korlátos.}$$

**Bizonyítás.** Tegyük fel, hogy  $Q_K$  nem korlátos.  $Q \subset Q_K$  és  $Q$  konvex, zárt.

Ha  $x_1 \in Q$ , akkor  $x_1$ -ből indítható olyan sugár, amely metszi  $Q$  határát és  $Q_K$ -ban halad.

Legyen  $x_2$  olyan pontja a sugárnak, hogy

$u(\underline{x}_2) = -\delta < 0$ ,  $G_i(\underline{x}_2) \geq 0$ ,  $i = 1, \dots, m$ . Az  $u(x)$  konkáv, tehát

$$-\delta = u(\underline{x}_2) \geq \lambda u\left\{\underline{x}_1 + \frac{1}{\lambda}(\underline{x}_2 - \underline{x}_1)\right\} + (1 - \lambda)u(\underline{x}_1), \quad \text{ahol } 0 < \lambda < 1.$$

Igy

$$u(\underline{x}_1 + \frac{1}{\lambda}(\underline{x}_2 - \underline{x}_1)) \leq \frac{-\delta - (1 - \lambda)u(\underline{x}_1)}{\lambda} \leq -\frac{\delta}{\lambda}, \quad \text{mivel } u(\underline{x}_1) \geq 0, \quad 1 - \lambda > 0.$$

Ha  $\lambda < \delta/k$ , akkor  $u(\underline{x}_1 + \frac{1}{\lambda}(\underline{x}_2 - \underline{x}_1)) < -k$ . Ez ellentmondás.

**Következmény.** Ha a (2)-ben a minimum pontok halmaza nem üres, korlátos, akkor

$$\{\underline{x} | f(\underline{x}) \leq k, \quad G_i(\underline{x}) \geq 0, \quad i = 1, \dots, m\} \text{ korlátos.}$$

**Bizonyítás.** Ha  $u(\underline{x}) = -f(\underline{x}) + v^*$  (ahol  $v^* = \min_{\underline{x} \in R} f(\underline{x})$ ), akkor a 3. Lemmát alkalmazva kapjuk az állítást. Ez a lemma biztosítja az alábbi feltételek ekvivalenciáját.

(3): a (2) optimum pontjainak halmaza nem üres, korlátos, (4): bármely véges  $k$ -ra

$$\{\underline{x} | f(\underline{x}) \leq k; \quad G_i(\underline{x}) \geq 0, \quad i = 1, \dots, n\} \text{ korlátos.}$$

A következőkben a konvergencia tételeket fogjuk bebizonyítani.

**1. Tétel.** Ha a (2)-t tekintjük és (3) teljesül, valamint  $R_0 = \{\underline{x} | G_i(\underline{x}) > 0, \quad i = 1, \dots, m\}$  nem üres, akkor bármely  $k$  értékre  $P_1(\underline{x}, r_k)$  felveszi a minimumát  $R_0$  felett és  $\lim_{k \rightarrow \infty} P_1(\underline{x}(r_k), r_k) = v^*$ , ahol  $\underline{x}(r_k) P_1(\underline{x}, r_k)$  minimum helye  $R_0$ -on.

**Bizonyítás.** 1, Legyen  $x_0 \in R_0$  (ilyen pont létezik, mivel  $R_0$  nem üres). Ha  $R = \{\underline{x} | G_i(\underline{x}) \geq 0, \quad i = 1, \dots, m\}$ , akkor  $\{\underline{x} | P_1(\underline{x}, r_k) \leq P_1(\underline{x}_0, r_k), \quad \underline{x} \in R\}$  zárt. (Nem üres, mert  $x_0$  eleme). Válasszunk ugyanis ebből a halmazból egy tetszőleges sorozatot, amelyre  $\underline{x}_j \rightarrow \hat{\underline{x}}$ . Megmutatjuk, hogy  $\hat{\underline{x}}$  is eleme ennek a halmaznak. A  $P_1(\underline{x}, r_k)$ -k konvexitásából következik, hogy folytonosak  $R_0$ -on, így ha  $\hat{\underline{x}} \in R_0$ , akkor igaz az állítás. Ha  $\hat{\underline{x}} \notin R_0$ , de  $\hat{\underline{x}} \in R$ , akkor a  $P_1(\underline{x}, r_k)$ -k folytonossága, illetve  $P_1(\underline{x}_j, r_k) \leq P_1(\underline{x}_0, r_k)$  miatt ellentmondáshoz jutunk. Elegendő tehát azt belátni, hogy ez a halmaz korlátos bármely  $k$  értékre. Mivel  $P_1(\underline{x}, r_k) > f(\underline{x})$  tetszőleges  $k$ -ra, ezért

$$\{\underline{x} | P_1(\underline{x}, r_k) \leq P_1(\underline{x}_0, r_k), \underline{x} \in R\} \subset \{\underline{x} | f(\underline{x}) \leq P_1(\underline{x}_0, r_k); \underline{x} \in R\}.$$

A jobb oldali halmaz azonban (4) miatt korlátos, így adódik az állítás.



2. Mivel  $f(\underline{x}) < P_1(\underline{x}, r_k) < P_1(\underline{x}, r_{k-1}) < \dots < P_1(\underline{x}, r_1)$ ,  $\underline{x} \in R_0$  és tetszőleges  $k$  esetén, így

$$\min_{\underline{x} \in R} f(\underline{x}) = \nu^* < P_1(\underline{x}(r_k), r_k) < P_1(\underline{x}(r_{k-1}), r_{k-1}) < \dots < P_1(\underline{x}(r_1), r_1).$$

Tehát  $P_1(\underline{x}(r_k), r_k)$  egy szigorúan monoton csökkenő, alulról korlátos végtelen sorozat, így konvergens.

**Állítás.**  $\lim_{k \rightarrow \infty} P_1(\underline{x}(r_k), r_k) = \nu^*$

Legyen  $\varepsilon > 0$ . Ekkor  $f(\underline{x})$  konvexitása, a  $G_i(\underline{x})$ -k  $i = 1, \dots, m$  logaritmikus konkávitása miatt létezik  $\underline{x}^* \in R_0$ , úgy, hogy  $f(\underline{x}^*) < \nu^* + \varepsilon$ . Mivel

$$\nu^* \leq P_1(\underline{x}(r_k), r_k) \leq P_1(\underline{x}^*, r_k) \leq \nu^* + \varepsilon + r_k I_1(\underline{x}^*), \text{ minden } k\text{-ra így}$$

$$\nu^* \leq \lim_{k \rightarrow \infty} P_1(\underline{x}(r_k), r_k) \leq \nu^* + \varepsilon.$$

$\varepsilon$  tetszőlegesen kicsiny lehet, tehát

$$\lim_{k \rightarrow \infty} P_1(\underline{x}(r_k), r_k) = \nu^*, \text{ ami az állítás.}$$

**Következmény.** 1,  $\lim_{k \rightarrow \infty} r_k \cdot \sum_{i=1}^m \frac{1}{G_i(\underline{x}(r_k))} = 0$ .

Ez igaz a tétel állítása, illetve az összegezendő tagok pozitivitása miatt.

2.  $\lim_{k \rightarrow \infty} f[\underline{x}(r_k)] = \nu^*$ .

3. az  $\underline{x}[r_k]$  sorozat bármely konvergens részsorozatának határértéke a (2) probléma optimum helye.

**Bizonyítás.** Könnyen be lehet látni, hogy a  $P_1(\underline{x}, r_k)$ -k minimum helyeire teljesül az, hogy  $f[\underline{x}(r_{k+1})] \leq f[\underline{x}(r_k)]$ . Ez azt jelenti, hogy  $\{\underline{x} | f(\underline{x}) \leq f(\underline{x}(r_1)), \underline{x} \in R\}$  tartalmazza az összes  $\underline{x}(r_k)$  minimum helyet. De a (4) feltétel miatt a halmaz korlátos, zárt. Tehát a minimum pontok sorozatának van konvergens részsorozata. Ezen konvergens sorozat határértéke  $\underline{x}^+$  megoldja a problémát. Ugyanis a  $G_i(\underline{x})$ -k,  $i = 1, \dots, m$  folytonossága miatt  $\underline{x}^+$  megengedett pont lesz. Az 1. következmény, illetve az  $f(\underline{x})$  folytonossága miatt pedig minimumot ad. A második konvergencia tételhez szükséges az alábbi lemma. A lemma állítását abban az esetben bizonyítjuk, mikor az (1) feladatban az első  $r$  feltétel valószínűségi jellegű.

**5. Lemma.** Ha  $R_0$  nem üres és (2) optimum pontjainak halmaza nem üres, korlátos, akkor a  $P_2(\underline{x}, r_k)$  bármely  $r_k > 0$  esetén  $R_0$ -on alulról korlátos.

**Bizonyítás.** Tekintsünk egy  $R_0$ -beli elemekből alkotott nem korlátos  $y_1, y_2, \dots$  sorozatot. Be fogjuk bizonyítani, hogy ennek van olyan nem korlátos  $y_{l_1}, y_{l_2}, \dots$  részsorozata, amelyre fennáll az alábbi reláció, tetszőleges  $r_k > 0$  esetén.



$$\lim_{s \rightarrow \infty} P_2(y_{l_s}, r_k) = +\infty.$$

Elegendő ezt bizonyítani. Tegyük fel, hogy ebből nem következik a  $P_2(\underline{x}, r_k)$ -k alulról való korlátossága. Ekkor van olyan  $q_l, l = 1, 2, \dots$  korlátos sorozat, amelyre  $\lim_{l \rightarrow \infty} P_2(q_l, r_k) = -\infty$ . Legyen  $\underline{x} \in R_0$  és vegyük a  $q_l$ -t ( $l = 1, 2, \dots$ ) magába foglaló zárt gömb és a  $\{\underline{x} | P_2(\underline{x}, r_k) \leq P_2(\underline{x}_0, r_k), \underline{x} \in R\}$  metszetét. Ez a metszet korlátos, zárt,  $R_0$ -beli halmaz, amely véges sok elem kivételével tartalmazza a  $q_l$ -t,  $l = 1, 2, \dots$ . A  $P_2(\underline{x}, r_k)$ -k folytonosak, így a metszet halmazon felveszik a minimumukat. Ez ellentmondás. Legyen tehát  $r_k > 0, y_1, y_2, \dots, R_0$ -beli elemekből alkotott sorozat. Legyen

$$\underline{x}_0 \in R_0 \text{ és } D = \{ \underline{x} | f(\underline{x}) \leq f(\underline{x}_0) + \varepsilon, \underline{x} \in R \},$$

ahol  $\varepsilon > 0$ . A (3) és (4) miatt  $D$  korlátos, zárt. Legyen  $B$  a  $D$  halmaz határpontjainból álló halmaz.  $B$  szintén korlátos, zárt. Mivel az  $y_1, y_2, \dots$  nem korlátos sorozat, ezért valamely  $y_{l_s}$  ( $s = 1, 2, \dots$ ) részsorozatra,  $y_{l_s} \notin D, s = 1, 2, \dots$ . Tekintsük az  $\underline{x}_0$ -ból induló, ilyen tulajdonságú  $y_{l_1}, y_{l_2}, \dots$ -n áthaladó sugarakat. Ezek metszik a  $B$ -t  $\underline{z}_{l_1}, \underline{z}_{l_2}, \dots$  pontokban és  $\underline{z}_{l_s} \neq \underline{x}_0, s = 1, 2, \dots$ . Legyenek  $0 < \lambda_{l_s} < 1$  és

$$\underline{z}_{l_s} = \lambda_{l_s} y_{l_s} + (1 - \lambda_{l_s}) \underline{x}_0, \quad s = 1, 2, \dots$$

Ha  $l_s \rightarrow \infty$ , akkor  $\lambda_{l_s} \rightarrow 0$ . A  $G_i(\underline{x})$ -k, ( $i = 1, \dots, r$ ) logaritmikusan konkávok, így

$$G_i(\underline{z}_{l_s}) \geq G_i(y_{l_s})^{\lambda_{l_s}} \cdot G_i(\underline{x}_0)^{1 - \lambda_{l_s}} > 0.$$

Tehát  $\underline{z}_{l_s} \in R_0, s = 1, 2, \dots$ . Másrészt  $\underline{z}_{l_s} \in B, s = 1, 2, \dots$  így

$$f(\underline{z}_{l_s}) = f(\underline{x}_0) + \varepsilon, \quad s = 1, 2, \dots$$

Az  $f[\underline{x}]$  konvexitása miatt

$$f(y_{l_s}) \geq \frac{f(\underline{z}_{l_s}) - (1 - \lambda_{l_s})f(\underline{x}_0)}{\lambda_{l_s}} = f(\underline{x}_0) + \frac{\varepsilon}{\lambda_{l_s}}. \quad (s = 1, 2, \dots)$$

$\varepsilon > 0$ , így  $f(y_{l_s}) \rightarrow +\infty$  ha  $\lambda_{l_s} \rightarrow 0$ , (azaz  $l_s \rightarrow \infty, s = 1, 2, \dots$ ). Az előbbiektől miatt

$$0 < G_i(y_{l_s})^{\lambda_{l_s}} \leq \frac{G_i(\underline{z}_{l_s})}{G_i(\underline{x}_0)^{1 - \lambda_{l_s}}} \leq \frac{d_i^0}{G_i(\underline{x}_0)^{1 - \lambda_{l_s}}},$$

ahol  $d_i^0 = \max_{\underline{x} \in B} G_i(\underline{x}), \quad i = 1, \dots, r \quad s = 1, 2, \dots,$

De

$$0 < G_i(y_{l_s}) < G_i(y_{l_s})^{\lambda_{l_s}} \leq \frac{d_i^0}{G_i(x_0)^{1-\lambda_{l_s}}}, \quad i = 1, \dots, r; \quad s = 1, 2, \dots$$

Legyen

$$P_2(\underline{x}, r_k) = f(\underline{x}) + r_k \sum_{i=1}^r -\ln G_i(x),$$

igy

$$\begin{aligned} P_2(y_{l_s}, r_k) &= f(y_{l_s}) + r_k \sum_{i=1}^r -\ln G_i(y_{l_s}) \geq \\ &\geq f(\underline{x}_0) + \frac{\epsilon}{\lambda_{l_s}} + r_k \cdot \sum_{i=1}^r -\ln \left( \frac{d_i^0}{G_i(\underline{x}_0)^{1-\lambda_{l_s}}} \right) = \\ &= f(\underline{x}_0) + \frac{\epsilon + r_k \cdot \lambda_{l_s} \cdot \sum_{i=1}^r -\ln \left( \frac{d_i^0}{G_i(\underline{x}_0)^{1-\lambda_{l_s}}} \right)}{\lambda_{l_s}}. \end{aligned}$$

Mint ahogy fennállnak az alábbi egyenlőségek

$$\lim_{l_s \rightarrow \infty} \lambda_{l_s} (-\ln[d_i^0]) + \lim_{l_s \rightarrow \infty} \lambda_{l_s} \cdot \ln[G_i(\underline{x}_0)^{1-\lambda_{l_s}}] = 0, \quad i = 1, \dots, r$$

következik, hogy

$$\lim_{l_s \rightarrow \infty} P_2(y_{l_s}, r_k) = +\infty.$$

Az eredetileg konkáv feltételekre hasonló becsléseket végezve adódik az állítás.

2. Tétel. Ha a (2)-t tekintjük és (3) teljesül, valamint  $R_0$  nem üres, akkor bármely  $k$  értékre  $P_2(\underline{x}, r_k)$  felveszi a minimumát  $R_0$  felett és  $\lim_{k \rightarrow \infty} P_2(\underline{x}(r_k), r_k) = v^*$ , ahol  $\underline{x}(r_k)$   $P_2(\underline{x}(r_k))$  minimum helye  $R_0$ -on.

**Bizonyítás.** 1, Legyen  $\underline{x}_0 \in R_0$  (ilyen pont létezik, mivel  $R_0$  nem üres). Az

$\{\underline{x} | P_2(\underline{x}, r_k) \leq P_2(\underline{x}_0, r_k), \underline{x} \in R\}$  nem tartalmaz  $R$ -beli határpontot és zárt halmaz, amelynek  $\underline{x}_0$  eleme. Elegendő belátni, hogy ez a halmaz korlátos bármely  $k$  érték esetén. Tegyük fel, hogy

$$\{\underline{x} | P_2(\underline{x}, r_k) \leq P_2(\underline{x}_0, r_k), \underline{x} \in R\} = H_k$$

nem korlátos.

Ekkor található egy  $R_0$ -beli elemekből alkotott  $\underline{y}_1, \underline{y}_2, \dots$  nem korlátos sorozat. Az 5. Lemma bizonyításában felhasznált állítás miatt, az előbbi sorozat egy  $\underline{y}_{l_1}, \underline{y}_{l_2}, \dots$  - részsorozatára

$$\lim_{l_s \rightarrow \infty} P_2(\underline{y}_{l_s}, r_k) = +\infty.$$

Ez ellentmond annak, hogy

$$P_2(\underline{y}_{l_s}, r_k) \leq P_2(\underline{x}_0, r_k), \quad s = 1, 2, \dots$$

2. Mivel  $P_2(\underline{x}(r_k), r_k)$  jelenti  $P_2(\underline{x}, r_k)$ -nak a minimum értékét  $R_0$ -on, ezért

$$f(\underline{x}(r_k)) + r_k I_2(\underline{x}(r_k)) \leq f(\underline{x}(r_{k+1})) + r_k I_2(\underline{x}(r_{k+1})),$$

$$f(\underline{x}(r_{k+1})) + r_{k+1} I_2(\underline{x}(r_{k+1})) \leq f(\underline{x}(r_k)) + r_{k+1} I_2(\underline{x}(r_k))$$

Szorozzuk be az első egyenlőtlenséget  $r_{k+1}/r_k$  -val és adjuk hozzá a másodikhoz. Átrendezés után kapjuk

$$\left(1 - \frac{r_{k+1}}{r_k}\right) f(\underline{x}(r_{k+1})) \leq \left(1 - \frac{r_{k+1}}{r_k}\right) f(\underline{x}(r_k)), \quad \text{azaz}$$

$$f(\underline{x}(r_{k+1})) \leq f(\underline{x}(r_k)).$$

Ezt felhasználva, az első egyenlőtlenségből kapjuk

$$I_2(\underline{x}(r_k)) \leq I_2(\underline{x}(r_{k+1})).$$

Az  $I_2(\underline{x}(r_k))$ ,  $k = 1, 2, \dots$  sorozat tehát alulról korlátos, alsó korlátja  $I_2(\underline{x}(r_1))$ . Legyen  $\epsilon > 0$ . Ekkor az  $f(\underline{x})$  konvexitása, a  $G_i(\underline{x})$ -k ( $i = 1, \dots, m$ ) logaritmikus konkávitása miatt létezik  $\underline{x}^* \in R_0$  úgy, hogy  $f(\underline{x}^*) < v^* + \epsilon$ .

De  $I_2(\underline{x}(r_1)) \leq I_2(\underline{x}(r_k))$ ,  $P_2(\underline{x}(r_k), r_k)$  minimum érték  $k = 1, 2, \dots$  így

$$v^* + r_k I_2(\underline{x}(r_1)) \leq P_2(\underline{x}(r_k), r_k) \leq f(\underline{x}^*) + r_k I_2(\underline{x}^*) \quad \text{minden } k\text{-ra.}$$

Tehát

$$\begin{aligned} \lim_{k \rightarrow \infty} (v^* + r_k \cdot I_2(\underline{x}(r_1))) &= v^* + \lim_{k \rightarrow \infty} r_k \cdot I_2(\underline{x}(r_1)) = v^* \leq \\ &\leq \overline{\lim}_{k \rightarrow \infty} P_2(\underline{x}(r_k), r_k) \leq \overline{\lim}_{k \rightarrow \infty} P_2(\underline{x}(r_k), r_k) \leq \lim_{k \rightarrow \infty} (f(\underline{x}^*) + r_k I_2(\underline{x}^*)) = \\ &= f(\underline{x}^*) + \lim_{k \rightarrow \infty} r_k I_2(\underline{x}^*) = f(\underline{x}^*) < v^* + \epsilon. \end{aligned}$$



Mivel  $\epsilon$  tetszőlegesen kicsiny lehet, ez azt jelenti, hogy a  $P_2(\underline{x}(r_k), r_k)$  limes superiorja és limes inferiorja megegyezik, tehát a  $P_2(\underline{x}(r_k), r_k)$ ,  $k = 1, 2, \dots$  konvergens és

$$\lim_{k \rightarrow \infty} P_2(\underline{x}(r_k), r_k) = \nu^*, \text{ ami éppen az állítás.}$$

Ebben az esetben is teljesülnek:

1.  $\lim_{k \rightarrow \infty} r_k \cdot \sum_{i=1}^m -\ln G_i(\underline{x}(r_k)) = 0$ ,
2.  $\lim_{k \rightarrow \infty} f(\underline{x}(r_k)) = \nu^*$ ,
3. az  $\underline{x}(r_k)$  sorozat bármely konvergens részsorozatának határértéke a (2) optimum helye.

**Bizonyítás.** Az  $I_2(\underline{x}(r_k))$ ,  $k = 1, 2, \dots$  alulról korlátos sorozat, ezért 1, igaz. Az 1-ből következik a 2. állítás. A 3. állítás bizonyítása teljesen megegyezik a korábbi ilyen állítás bizonyításával.

A most következő részben a számítástechnikai tapasztalatokat ismertetjük. Egy matematikai programozási feladatot megoldó algoritmusról ugyanis csak úgy dönthetjük el, hogy jó-e vagy sem, ha elkészítjük a gépi programot és segítségével kísérleti feladatokat oldunk meg. Az elméleti algoritmus ismerete általában nem ad felvilágosítást a konvergencia sebességéről, a számításához szükséges időről, másrészt a gépi reprezentálásnál adódó ötletek lényegesen hatékonyabbá tehetik az eljárást.

Itt az alábbi feladat megoldását ismertetjük.

$$\min (x_1 + x_2),$$

$$P \left\{ \begin{array}{l} 3x_1 + x_2 - 6 \geq \beta_1 \\ x_1 + 8x_2 - 8 \geq \beta_2 \end{array} \right\} \geq 0.8$$

$$x_1 + 4x_2 \geq 4,$$

$$3x_1 + x_2 \geq 3,$$

$$x_1 \geq 0, \quad x_2 \geq 0.$$

A (3)-ban  $\beta_1$  és  $\beta_2$  együttes eloszlása normális, nulla a várható értékük, 1 a szórásuk és 0.2 a korrelációs együtthatójuk. A valószínűségi feltétel  $(x_1, x_2)$ -nek logaritmikusan konkáv függvénye. Ilyen típusú feladatok Prékopa A. munkáiban fordulnak elő. [9], [10], [11].

A SUMT algoritmust a következőképpen hajtjuk végre:

Képezzük a  $P_1(\underline{x}, r)$ ,  $P_2(\underline{x}, r)$  függvényeket, s ezután egy olyan  $\underline{x}_0$ -ból kiindulva, ahol minden feltétel éles egyenlőtlenséggel teljesül, valamilyen  $r_1$  érték mellett minimalizáljuk a  $P_1(\underline{x}, r_1)$ -t vagy  $P_2(\underline{x}, r_2)$ -t. Az így kapott minimum pontból kiindulva valamilyen  $r_2 < r_1$  mellett újra minimalizáljuk a  $P_1(\underline{x}, r_2)$ -t vagy  $P_2(\underline{x}, r_2)$ -t. Az eljárást addig folytatjuk, amíg

az optimumhoz elég közel nem kerülünk.

A konvex programozási feladatoknál az eljárás pontossága elsősorban a feltétel nélküli minimalizáló rutin pontosságtól függ, ugyanis igazak az alábbi becslések.

A  $P_1(\underline{x}, r_k)$  függvényeknél

$$f(\underline{x}_i) - v^* \leq r_i \sum_{i=1}^m \frac{1}{g_i(\underline{x}_i)},$$

a  $P_2(\underline{x}, r_k)$  függvényeknél pedig

$$f(\underline{x}_i) - v^* \leq r_i \cdot m,$$

ahol  $v^*$  a konvex programozási probléma optimuma,  $m$  a feltételek száma,  $\underline{x}_i$  pedig az  $i$ -edik feltétel nélküli minimalizálásnál kapott minimum hely

A feltétel nélküli minimalizálásnál gradienst mentes módszert – Hooke és Jeaves módszerét [7] – választottuk, mivel ilyen típusú feladatokban nem mindig tudunk gradienst számolni. A két dimenziós normális eloszlás értékét a Deák I. [1] által irt szubrutin számolta.

A számítási eredmények azt mutatták, hogy a legjobb eredmény akkor adódik, ha az algoritmusban a logaritmikus büntetőfüggvénnyel számoltunk. Megvizsgáltuk, hogy ennél a problémánál az eljárás hogyan függött az  $r_1$ , illetve az  $r_k$ ;  $k = 2, 3, \dots$  paraméterek választásától. Az  $r_1$  érték választása azért problematikus, mert ha az optimum a megengedett tartomány határán van (ami gyakran előfordul) és az  $r_1$  érték nagy, akkor a minimalizáló eljárás során csak nagyon lassan jutunk az optimumig. Ennek oka az, hogy már egészen messze a határtól elkezdjük büntetni a célfüggvényt. Ha viszont az  $r_1$  érték kicsi, akkor a büntető tag hatástalanra válik, a minimalizáló eljárás során gyakran kilépünk a megengedett tartományból és nem találjuk meg az optimumot. Ha  $r_1 = 1$  volt és  $r_{k+1} = r_k/5$ ,  $k = 2, 3, \dots$  akkor helyes eredményt kaptunk. Ha  $r_1 = 0.01$  vagy  $r_1 = 0.001$  volt, akkor az algoritmus nem találta meg az optimumot. Amennyiben  $r_{k+1} = r_k/2$ ,  $k = 2, 3, \dots$  volt, az eljárás lassabb és pontatlanabb lett.

Az algoritmussal a kísérleti feladatot 40 mp alatt oldottuk meg. Az optimum értéke 2.934, az optimum hely koordinátái 1.984 és 0.95 voltak.

A feladatot a megengedett irányok módszerével is megoldották. [1]. Az itt közölt optimum valamivel pontosabb és a számolás lényegesen rövidebb ideig tartott. (Ott a feladat megoldása kb. 5 percet vett igénybe)

A feladatban a nem lineáris feltétel által meghatározott térrész benne van a lineáris feltételek által adott poliéderben. Ha a lineáris feltételeket nem büntettük, akkor is helyes eredményt kaptunk, de az eljárás több időt vett igénybe.



- [1] Deák I., Egy sztochasztikus programozási modell számítógépes kiértékelése, MTA Számítástechnikai Központja Közlemények, 1972 dec.
- [2] Fiacco, A.V. and G.P. McCormick, Computational algorithm for the sequential unconstrained minimization technique for nonlinear programming. *Management Science* 10, (4), 1964.
- [3] Fiacco, A.V. and G.P. McCormick, The sequential unconstrained minimization technique for nonlinear programming. A primal-dual method *Management Science*, 10, (2), 1964.
- [4] Fiacco, A.V. and G.P. McCormick, Extensions of SUMT for nonlinear programming equality constraints and extrapolation, *Management Science*, 12 (11), 1966.
- [5] Fiacco, A.V. and G.P. McCormick, *Nonlinear programming: Sequential unconstrained minimization technique*, Wiley, New York. London, 1968.
- [6] Himmelblau, D.M. A uniform evaluation of unconstrained optimization techniques, *Numerical methods for nonlinear optimization*, ed. by Lootsma, F.A. London, New York, Academic Press, 1972.
- [7] Kovalik, J. and M.R. Osborne, *Methods for unconstrained optimization problems*, Elsevier, New York, 1968.
- [8] Krekó B., *Optimumszámítás*, Közgazdasági és jogi könyvkiadó, Budapest, 1972.
- [9] Prékopa A., Logarithmic concave measures with application to stochastic programming, *Acta Math. Szeged*, 32, 1971.
- [10] Prékopa A., Stochastic programming models for inventory control and water storage problems. *Proc. of the Conf. on Inv. Cont. and Water Storage Probl.* Győr, 1971. Sept. Bolyai János Math. Soc. North Holland Publ. Co. 1973.
- [11] Prékopa A., A class of stochastic programming decision problems, *Math. Op. Forsch. und Stat.* 3, 1972, 349-354.



## S u m m a r y

## Application of the SUMT method for mathematical programming problems containing logarithmically concave constraint functions

Tamás Rapcsák

It is shown in this paper that the algorithms of the SUMT interior point define, under logarithmically concave constraint functions, even in case of non-bounded domain a global optimum. Tasks of such type can be found in the works of A. Prékopa. Also the proofs of the convergence theorems discussed in the paper are different from the earlier ones. At the end of the study experiences in computing are published.

## Р Е З Ю М Е

Применение метода штрафных функций для решения задач нелинейного программирования содержащих среди условий логаритмически вогнутые функции.

Тамаш Рапчак

В этой статье рассматриваются алгоритмы внутреннего пункта СУМТ при наличии логарифмически конкавных условных функций, а также в случае неограниченной области, определяется глобальный оптимум. Задачи такого типа встречаются в работах А. Прекопа. Доказательства теорем сходимости фигурирующих в статье тоже отличаются от известных до сих пор. В конце статьи приведены решения практических задач на ЭВМ.

Ez a cikk beérkezett: 1976. januárjában.



## EGY TÁBLÁZATKITÖLTÉSI KOMBINATÓRIKAI PROBLÉMA ÉS KÜLÖNFÉLE TÉMÁKHOZ KAPCSOLÓDÓ EKVIVALENS VÁLTOZATAI

Kéri Gerzson

### Bevezetés

Nagyméretű lineáris programozási feladatok megoldására szolgáló programrendszerek legkritikusabb része az újrainvertáló algoritmus. Elsősorban ezen múlik, hogy egy lineáris programozási rendszer mennyire használható a gyakorlatban akár a számítások pontossága, akár a futási idő hossza szempontjából. Az idevágó nemzetközi számítástechnikai kutatások és tapasztalatok szerint a lineáris programozás számára legalkalmasabb újrainvertálási eljárás a mátrixinverz eliminációs alakjának előállításával valamely jó pivot választási szabállyal. Azt a kérdést, hogy melyik a legjobb pivot választási szabály, meggyőzően csak további számítógépes tapasztalatok dönthetik el. Ezenkívül bármikor felbukkanhatnak újabb pivot választási szabályra vonatkozó ötletek. E dolgozat szerzőjét egy ilyen ötlet vezette a dolgozat tárgyát képező kombinatorikai problémák vizsgálatára. A [4] előadás szándéka volt ismertetni és több oldalról megvilágítani a problémák eredetét, e dolgozat szándéka pedig a problémák vizsgálata során kapott eddigi eredmények részletes leírása.

### 1. Egy táblázatkitöltési probléma megfogalmazása

Legyen adott egy  $m$  sorból,  $n$  oszlopból és  $m \cdot n$  cellából álló téglalap alakú táblázat, továbbá az  $a_i (i = 1, 2, \dots, m)$  és  $b_j (j = 1, 2, \dots, n)$  egész számok, melyekre teljesül, hogy

$$(1.1) \quad \sum_{i=1}^m a_i = \sum_{j=1}^n b_j.$$

Feltesszük a következő kérdést: Hány féleképpen tölthető ki ez a táblázat két fajta elemmel, mondjuk  $A$ -elemmel és  $B$ -elemmel, oly módon, hogy a táblázat minden cellájába vagy egy  $A$ -elemet vagy egy  $B$ -elemet helyezünk ("kizáró vagy" értelemben), a táblázat  $i$ -edik sorának celláiba összesen  $a_i$  számú  $A$ -elemet és  $n - a_i$  számú  $B$ -elemet helyezünk, a táblázat  $j$ -edik oszlopának celláiba összesen  $b_j$  számú  $A$ -elemet és  $m - b_j$  számú  $B$ -elemet helyezünk minden  $i = 1, 2, \dots, m$ , illetve  $j = 1, 2, \dots, n$  esetén.

Vezessük be a fenti követelményeknek eleget tevő kitöltések számának jelölésére az

$$\alpha^{(m,n)}(a_1, a_2, \dots, a_m; b_1, b_2, \dots, b_n)$$

függvényt.

A következő három szakaszban megmutatjuk, hogy a fent megfogalmazott kombinatorikai probléma (a továbbiakban alapprobléma) a matematika több ágával is kapcsolatban van.

## 2. A szállítási probléma 0 – 1 megoldásainak (a Ryser-féle piknik-modell megoldásainak) a száma

Rendeljük hozzá az 1. szakaszban szereplő táblázat  $(i, j)$  cellájához az  $x_{i,j}$  változót, melynek értéke legyen 1, ha az  $(i, j)$  cellába  $A$ -elemet helyezünk, és legyen 0, ha az  $(i, j)$  cellába  $B$ -elemet helyezünk. Azt a követelményt, hogy a táblázat  $i$ -edik sorának celláiba  $a_i$  számú  $A$ -elemet helyezünk, a

$$\sum_{j=1}^n x_{ij} = a_i$$

egyenlőség fejezi ki. Hasonlóan azt a követelményt, hogy a  $j$ -edik oszlop celláiba  $b_j$  számú  $A$ -elemet helyezünk, a

$$\sum_{i=1}^m x_{ij} = b_j$$

egyenlőség fejezi ki. Az  $\alpha^{(m,n)}(a_1, a_2, \dots, a_m; b_1, b_2, \dots, b_n)$  függvény értéke tehát nem más, mint a

$$(2.1) \quad \sum_{j=1}^n x_{ij} = a_i \quad (i = 1, 2, \dots, m)$$

$$(2.2) \quad \sum_{i=1}^m x_{ij} = b_j \quad (j = 1, 2, \dots, n)$$

$$(2.3) \quad x_{ij} = 0 \text{ vagy } 1 \quad (i = 1, 2, \dots, m; \quad j = 1, 2, \dots, n)$$

feltételrendszer különböző megoldásainak a száma. Ha (2.3) helyett csak azt kötnénk ki, hogy  $x_{ij} \geq 0$  legyen minden  $(i, j)$  párra, akkor itt a szállítási probléma feltételrendszere állna. Az  $\alpha^{(m,n)}$  függvény értéke tehát kifejezi a szállítási probléma 0 – 1 megoldásainak a számát.

Nemnegatív  $a_i, b_j - k$  esetén a (2.1) – (2.3) rendszer azonos a Ryser-féle piknik-modell feltételrendszerével. Az  $\alpha^{(m,n)}$  függvényt is értelmezhetjük a piknik-modell alapján a következőképpen.

Egy helyiségben, amelyben  $m$  számú asztal van, sorozatos összejöveteleket akar megvalósítani  $n$  számú család, a következő feltételekkel: Az  $i$ -edik asztal férőhelyeinek száma  $a_i (i = 1, 2, \dots, m)$ , a  $j$ -edik család tagjainak száma  $b_j (j = 1, 2, \dots, n)$ , és teljesül (1.1). Minden összejövetel esetén a családok tagjai úgy helyezkedjenek el, hogy egy asztalnál egy családnak legfeljebb egy tagja üljön. További követelmény, hogy minden összejövetelnél az elhelyezés más-más ülésrend szerint történjék. Két összejövetel ülésrendjét csak akkor tekintjük különbözőnek, ha van olyan asztal és család, hogy az egyik összejövetelnél e család képviselve van valamelyik tagjával a szóbanforgó asztalnál, a másik összejövetelnél pedig nem.

A probléma az, hogy legfeljebb hány összejövetel valósulhat meg a fenti követelmények figyelembevételével. Ez pedig ekvivalens azzal, hogy hány különböző megoldása van a (2.1) – (2.3) rendszernek.



### 3. Adott fokú csúcsokkal rendelkező páros gráfok száma

Rendeljünk hozzá az 1. szakaszban szereplő táblázatkitöltési probléma (alaprobléma) minden megoldásához egy páros gráfot, melynek csúcsai a táblázat sorai ( $R_1, R_2, \dots, R_m$ ) és oszlopai ( $C_1, C_2, \dots, C_n$ ), melynek csak olyan élei vannak, amelyek valamelyik  $R_i$ -t valamelyik  $C_j$ -vel kötik össze, és melynek az  $R_i$  és  $C_j$  csúcsa között akkor és csak akkor halad él, ha a táblázat  $(i, j)$  cellája  $A$ -elemet tartalmaz.

Az a követelmény, hogy a táblázat  $i$ -edik sorának celláiba  $a_i$  számú  $A$ -elemet, illetve a táblázat  $j$ -edik oszlopának celláiba  $b_j$  számú  $A$ -elemet helyezünk, azt jelenti, hogy a megoldáshoz rendelt gráf  $R_i$  csúcsának a foka  $a_i$ , illetve  $C_j$  csúcsának a foka  $b_j$ . Az  $\alpha^{(m, n)}(a_1, a_2, \dots, a_m; b_1, b_2, \dots, b_n)$  függvényérték tehát megadja azoknak a páros gráfoknak a számát, melynek csúcsai  $R_1, R_2, \dots, R_m$ ,  $C_1, C_2, \dots, C_n$ , minden élük az  $R_1, R_2, \dots, R_m$  csúcsok valamelyikét a  $C_1, C_2, \dots, C_n$  csúcsok valamelyikével köti össze, az  $R_i$  csúcs foka  $a_i$  ( $i = 1, 2, \dots, m$ ), a  $C_j$  csúcs foka pedig  $b_j$  ( $j = 1, 2, \dots, n$ ).

### 4. Szimmetrikus polinomok együtthatói

Itt azt a kérdést vizsgáljuk, hogy az  $y_1, y_2, \dots, y_n$  változók elemi szimmetrikus polinomjai szorzataként adódó polinomokban mi az

$$y_1^{b_1} y_2^{b_2} \dots y_n^{b_n} \quad \text{tag együtthatója.}$$

Az  $y_1, y_2, \dots, y_n$  változók elemi szimmetrikus polinomjai alatt a

$$\sigma_0 = 1$$

$$\sigma_1 = y_1 + y_2 + \dots + y_n$$

$$\sigma_2 = y_1 y_2 + y_1 y_3 + \dots + y_{n-1} y_n$$

.

.

.

$$\sigma_k = \sum y_{i_1} y_{i_2} \dots y_{i_k}$$

.

.

.

$$\sigma_n = y_1 y_2 \dots y_n$$

kifejezéseket értjük.

Azt állítjuk, hogy ha (1.1) teljesül, ezenkívül  $a_1, a_2, \dots, a_m$  és  $b_1, b_2, \dots, b_n$  mind nemnegatív egészek, akkor a

$$\prod_{i=1}^m \sigma_{\alpha_i} = \sigma_{a_1} \sigma_{a_2} \dots \sigma_{a_m}$$

polinomban  $y_1^{b_1} y_2^{b_2} \dots y_n^{b_n}$  együtthatója éppen  $\alpha^{(m,n)}(a_1, a_2, \dots, a_m; b_1, b_2, \dots, b_n)$ . Mivel ez az állítás nem teljesen nyilvánvaló, kimondunk és bizonyítunk egy tételt, melyből az állításunk már egyszerűen következik.

Jelöljük a  $\prod_{i=1}^m \sigma_{a_i}$  szorzat  $i$ -edik tényezőjeként szereplő  $\sigma_{a_i}$  polinom tagjait  $z_{ik}$ -val ( $i = 1, 2, \dots, m; k = 1, 2, \dots, \binom{n}{i}$ ). Ekkor írhatjuk, hogy

$$(4.1) \quad \prod_{i=1}^m \sigma_{a_i} = \sum_{k_1=1}^{\binom{n}{1}} \sum_{k_2=1}^{\binom{n}{2}} \dots \sum_{k_m=1}^{\binom{n}{m}} \left( \prod_{i=1}^m z_{ik_i} \right).$$

**4.1. Tétel.** Tegyük fel, hogy  $a_1, a_2, \dots, a_m, b_1, b_2, \dots, b_n$  nemnegatív egészek, melyekre (1.1) teljesül. Ekkor a (4.1) jobboldalán álló

$\prod_{i=1}^m z_{ik_i}$  tagok között az  $y_1^{b_1} y_2^{b_2} \dots y_n^{b_n}$  kifejezés  $\alpha^{(m,n)}(a_1, a_2, \dots, a_m; b_1, b_2, \dots, b_n)$  multiplicitással szerepel.

**Bizonyítás.** Mivel a  $\sigma_k$  polinom minden tagja  $k$ -adfokú, ezért a (4.1) jobboldalán álló polinom minden tagja  $\sum_{i=1}^m a_i$  fokú, tehát minden egyes  $\prod_{i=1}^m z_{ik_i}$  tag  $y_1^{b_1} y_2^{b_2} \dots y_n^{b_n}$  alakú, ahol  $\sum_{j=1}^n b_j = \sum_{i=1}^m a_i$ .

A (2.1), (2.3) feltételrendszer megoldásaihoz kölcsönösen egyértelműen hozzárendelhetők a (4.1) jobboldalán álló összeg tagjai a következőképpen.

Minden  $i = 1, 2, \dots, m$ -re az  $x_{i1}, x_{i2}, \dots, x_{im}$  változók közül  $a_i$  számú változónak 1, a többinek pedig 0 az értéke. Legyenek  $r_{i1}, r_{i2}, \dots, r_{ia_i}$  az  $i$  első indexhez tartozó 1 értékű  $x_{ij}$ -k második indexei, és képezzük az  $y_{r_{i1}} y_{r_{i2}} \dots y_{r_{ia_i}}$  szorzatot, amely a  $\sigma_{a_i}$  polinom egy tagja, és a (2.1), (2.3) feltételrendszer szóbanforgó megoldásához rendeljük hozzá a

$$(4.2) \quad \prod_{i=1}^m (y_{r_{i1}} y_{r_{i2}} \dots y_{r_{ia_i}})$$

szorzatot, amely tehát a (4.1) jobboldalán álló összeg egy tagja. A hozzárendelés egyértelmű, mert a (2.1), (2.3) rendszer két különböző megoldása esetén legalább egy  $i$  indexre eltérő az  $x_{i1}, x_{i2}, \dots, x_{im}$  változók értékrendszere, tehát az ezek segítségével képzett

$y_{r_{i1}} y_{r_{i2}} \dots y_{r_{ia_i}}$  szorzat a két különböző megoldás esetén a  $\sigma_{a_i}$  polinom más-más tagja, és így a két különböző megoldáshoz a (4.1) jobboldalán álló összeg két különböző tagját rendeljük.



Fordítva: (4.1) jobboldalának tetszőleges  $\prod_{i=1}^m z_{ik_i}$  tagjában szereplő minden  $z_{ik_i}$  egyértelműen írható  $y_{r_{i1}} y_{r_{i2}} \dots y_{r_{ia_i}}$  alakban. Ily módon minden egyes  $\prod_{i=1}^m z_{ik_i}$  taghoz egyértelműen rendeljük az

$$\begin{aligned} & r_{11}, r_{12}, \dots, r_{1a_1}, \\ & r_{21}, r_{22}, \dots, r_{2a_2}, \\ & \cdot \\ & \cdot \\ & r_{m1}, r_{m2}, \dots, r_{ma_m} \end{aligned}$$

indextáblázatot, ehhez pedig a (2.1), (2.3) feltételrendszernek azt a megoldását, amelyre minden  $i$  esetén

$$x_{ij} = \begin{cases} 1 & \text{ha } j \text{ az } r_{i1}, r_{i2}, \dots, r_{ia_i} \text{ indexek közül való} \\ 0 & \text{egyébként.} \end{cases}$$

A (2.1), (2.3) feltételrendszer bármely megoldásához rendelt (4.2) szorzatban valamely  $y_j$  annyiszor szerepel tényezőként, ahány különböző  $i$  indexre teljesül  $x_{ij} = 1$ , tehát a (4.2) szorzatban  $y_j$  előfordulásainak a száma

$\sum_{i=1}^m x_{ij}$  minden  $j = 1, 2, \dots, n$  esetén. Ez azt jelenti, hogy a (2.1), (2.3) feltételrendszer valamely  $x_{ij} (i = 1, 2, \dots, m; j = 1, 2, \dots, n)$  megoldása akkor és csak akkor elégíti ki (2.2)-t is, ha a (4.1) jobboldalán álló összegnek a szóbanforgó megoldáshoz rendelt tagjában, azaz a (4.2) szorzatban  $y_j$  előfordulásainak a száma  $b_j$  minden  $j = 1, 2, \dots, n$  esetén.

Mivel a hozzárendelés kölcsönösen egyértelmű, az eddigiekből következik, hogy (4.1) jobboldalának tagjai között annyiszor szerepel az

$$y_1^{b_1} y_2^{b_2} \dots y_n^{b_n}$$

kifejezés, ahány különböző megoldása van a (2.1) – (2.3) feltételrendszernek. A 2. szakaszban megmutattuk, hogy az utóbbiak száma  $\alpha^{(m,n)}(a_1, a_2, \dots, a_m; b_1, b_2, \dots, b_n)$ , és így a tétel bizonyításával készen vagyunk.

## 5. Az alapproblémával kapcsolatos két további függvény

Az  $\alpha^{(m,n)}$  függvény értéke nyilvánvalóan 0 az alábbi esetekben:



$$(5.1) \quad a_i < 0 \quad \text{valamely } i\text{-re,}$$

$$(5.2) \quad a_i > n \quad \text{valamely } i\text{-re}$$

$$(5.3) \quad b_j < 0 \quad \text{valamely } j\text{-re,}$$

$$(5.4) \quad b_j > m \quad \text{valamely } j\text{-re.}$$

Igy lényegében nem szűkítettük a problémát azzal, hogy a 4. szakaszban nemnegatív  $a_i$  és  $b_j$  értékekre szorítkoztunk.

Az is nyilvánvaló, hogy az  $\alpha^{(m,n)}$  függvény értéke nem változik, ha akár az  $a_1, a_2, \dots, a_m$  argumentumok értékét, akár a  $b_1, b_2, \dots, b_n$  argumentumok értékét tetszőlegesen permutáljuk. Amennyiben az (5.1) – (5.4) eseteket kizárjuk,  $\alpha^{(m,n)}$  értékét egyértelműen meghatározza az az információ, ha tudjuk, hogy az  $a_1, a_2, \dots, a_m$  argumentumok értékei között hány  $0, 1, 2, \dots, n$  érték szerepel, a  $b_1, b_2, \dots, b_n$  argumentumok értékei között hány  $0, 1, 2, \dots, m$  érték szerepel. Jelöljük  $s_i$ -vel az  $a_1, a_2, \dots, a_m$  értékek között található  $i$ -vel azonos értékek számát,  $t_j$ -vel a  $b_1, b_2, \dots, b_n$  értékek között található  $j$ -vel azonos értékek számát,  $\omega^{(m,n)}(s_0, s_1, \dots, s_n; t_0, t_1, \dots, t_m)$ -mel pedig az  $\alpha^{(m,n)}(a_1, a_2, \dots, a_m; b_1, b_2, \dots, b_n)$  függvénynek az  $s_i, t_j$  argumentumokkal kifejezett variánsát.

Az  $\omega^{(m,n)}$  függvényt olyan  $s_i, t_j$  argumentumokra értelmezzük, melyekre minden  $s_i$  és minden  $t_j$  nemnegatív egész, továbbá teljesülnek a következők.

$$(5.5) \quad \sum_{i=0}^n s_i = m$$

$$(5.6) \quad \sum_{j=0}^m t_j = n$$

$$(5.7) \quad \sum_{i=1}^n i s_i = \sum_{j=1}^m j t_j$$

A soron következő  $\mu^{(m,n)}$  függvény szerepeltetése középutat jelent az  $\alpha^{(m,n)}$  és  $\omega^{(m,n)}$  függvény értelmezése között. Az  $a_i$  mennyiségek nemnegativitásának feltételezése esetén az  $\alpha^{(m,n)}$  függvényenél szereplő  $a_1, a_2, \dots, a_m$  argumentumcsoport helyett az  $s_0, s_1, \dots, s_n$  argumentumcsoportot szerepeltetve, a  $b_1, b_2, \dots, b_n$  argumentumcsoportot azonban meghagyva, az  $\alpha^{(m,n)}$  függvény a

$$\mu^{(m,n)}(s_0, s_1, \dots, s_n; b_1, b_2, \dots, b_n)$$

függvényé alakul át, melyet olyan  $s_i, b_j$  argumentumokra értelmezzük, amelyekre minden  $s_i$  nemnegatív egész, minden  $b_j$  egész, továbbá teljesülnek a következők.

$$(5.8) \quad \sum_{i=0}^n s_i = m$$

$$(5.9) \quad \sum_{i=1}^n i s_i = \sum_{j=1}^n b_j.$$

Az 1 – 4. szakaszokban ismertetett problémák megoldása történhet akár az  $\alpha^{(m,n)}$ , akár az  $\omega^{(m,n)}$ , akár a  $\mu^{(m,n)}$  függvény egy értékének meghatározása útján. Látni fogjuk, hogy az  $\omega^{(m,n)}$  függvény használata az  $\alpha^{(m,n)}$  függvény helyett lényegesen csökkentheti a megoldás alapjául szolgáló rekurziós formulákban szereplő tagok számát, azonban kevésbé áttekinthetővé teszi a formulákat. A  $\mu^{(m,n)}$  függvény egyesíti az  $\alpha^{(m,n)}$  függvény és az  $\omega^{(m,n)}$  függvény előnyeit, kiküszöböli mindkettő hátrányát, ezért használata a szimmetria elromlása ellenére is bizonyos esetekben jó kompromisszumnak fog bizonyulni.

Végül megfogalmazzuk a 4.1. tételnek a  $\mu^{(m,n)}$  és  $\omega^{(m,n)}$  függvényekre vonatkozó változatát.

### 5.1. Tétel.

a.) Ha  $s_i$  nemnegatív egész  $i = 0, 1, \dots, n$  esetén,  $b_j$  egész  $j = 1, 2, \dots, n$  esetén, továbbá teljesül (5.8) és (5.9) akkor a

$$\sigma_0^{s_0} \sigma_1^{s_1} \dots \sigma_n^{s_n}$$

polinomban

$$y_1^{b_1} y_2^{b_2} \dots y_n^{b_n}$$

együtthatója

$$\mu^{(m,n)}(s_0, s_1, \dots, s_n; b_1, b_2, \dots, b_n).$$

b.) Ha  $s_i$  nemnegatív egész  $i = 0, 1, \dots, n$  esetén,  $t_j$  nemnegatív egész  $j = 0, 1, \dots, m$  esetén, továbbá teljesül (5.5) – (5.7), akkor a

$$\sigma_0^{s_0} \sigma_1^{s_1} \dots \sigma_n^{s_n}$$

polinomban

$$\omega^{(m,n)}(s_0, s_1, \dots, s_n; t_0, t_1, \dots, t_m)$$

az együtthatója minden olyan

$$y_1^{b_1} y_2^{b_2} \dots y_n^{b_n}$$

tagnak, melyben a  $b_1, b_2, \dots, b_n$  kitevők értékei között  $s_0$  számú 0,  $s_1$  számú 1,  $\dots, s_n$  számú  $n$  érték szerepel.



**Bizonyítás.** Mindkét állítás következik a 4.1. tétel állításából, ha a

$$\sigma_0^{s_0} \sigma_1^{s_1} \dots \sigma_n^{s_n}$$

szorzatban minden egyes  $\sigma_j^{s_j}$  hatványt  $s_j$  számú  $\sigma_j$  tényezővel helyettesítünk.

## 6. Az alproblémával kapcsolatos egzisztenciátételek

Az 5. szakasz elején tett megjegyzés szerint  $0 \leq a_i \leq n$  ( $i = 1, 2, \dots, m$ ),  $0 \leq b_j \leq m$  ( $j = 1, 2, \dots, n$ ) szükséges (de nem elégséges) feltétel arra, hogy az  $\alpha^{(m,n)}$  függvény értéke pozitív legyen; hogy létezzék az 1. szakaszban leírt követelményeknek eleget tevő táblázatkitöltés; hogy a (2.1) – (2.3) feltételrendszernek legyen megoldása; hogy létezzék olyan a 3. szakaszban leírt páros gráf, melyben a csúcsok foka  $a_1, a_2, \dots, a_m$ , illetve  $b_1, b_2, \dots, b_n$ ; hogy a

$$\prod_{i=1}^m \sigma_{a_i} \text{ polinomban } \prod_{j=1}^n y_j^{b_j}$$

pozitív együtthatóval szerepeljen. Mindezekre egy szükséges és egyúttal elégséges feltételt ad a következő, Gale-től [1] és Ryser-től [3] származó tétel, melynek bizonyítása [2]-ben is megtalálható.

**6.1. Tétel.** *Tegyük fel, hogy  $a_i, b_j$  nemnegatív egészek ( $i = 1, 2, \dots, m; j = 1, 2, \dots, n$ ) melyekre (1.1) teljesül, és  $b_1 \geq b_2 \geq \dots \geq b_n$ . Ebben az esetben a (2.1) – (2.3) rendszernek akkor és csak akkor van megoldása, ha*

$$(6.1) \quad \sum_{l=1}^j b_l \leq \sum_{i=1}^m \min(a_i, j)$$

fennáll  $j = 1, 2, \dots, n - 1$  esetén.

A fenti tétel állítása nyilván úgy is fogalmazható, hogy az előzetes feltételek fennállása esetér  $\alpha^{(m,n)}(a_1, a_2, \dots, a_m; b_1, b_2, \dots, b_n) > 0$  akkor és csak akkor teljesül, ha (6.1) fennáll  $j = 1, 2, \dots, n - 1$  esetén. Most még kimondjuk a fenti tételnek a  $\mu^{(m,n)}$  függvényre vonatkozó következményét.

**6.2. Tétel.** *Tegyük fel, hogy  $s_i, b_j$  nemnegatív egészek ( $i = 0, 1, \dots, n; j = 1, 2, \dots, n$ ) teljesül (5.8) és (5.9), továbbá  $b_1 \geq b_2 \geq \dots \geq b_n$ . Ebben az esetben*

$$\mu^{(m,n)}(s_0, s_1, \dots, s_n; b_1, b_2, \dots, b_n) > 0$$

aakor és csak akkor áll fenn, ha

$$(6.2) \quad \sum_{l=j+1}^n (l-j) \cdot s_l \leq \sum_{l=j+1}^n b_l$$

teljesül  $j = 1, 2, \dots, n - 1$  esetén.



**Bizonyítás.** A  $\mu^{(m,n)}$  függvénynek az 5. szakaszban történt származtatása szerint  $s_l$  jelenti az  $a_1, a_2, \dots, a_m$  értékek között szereplő  $l$ -l azonos értékek számát, ezért a (6.1) egyenlőtlenség jobboldala a következőképpen alakítható.

$$\begin{aligned}
 \sum_{i=1}^m \min(a_i, j) &= \sum_{l=0}^n s_l \cdot \min(l, j) = \\
 (6.3) \quad &= \sum_{l=0}^j l s_l + \sum_{l=j+1}^n j s_l = \sum_{l=1}^n l s_l + \sum_{l=j+1}^n (j-l) \cdot s_l = \\
 &= \sum_{l=1}^n b_l + \sum_{l=j+1}^n (j-l) \cdot s_l.
 \end{aligned}$$

Az utolsó átalakítás (5.9) felhasználásával történt. Azt kaptuk, hogy (6.1) ekvivalens a

$$\sum_{l=1}^j b_l \leq \sum_{l=1}^n b_l + \sum_{l=j+1}^n (j-l) \cdot s_l$$

egyenlőtlenséggel ebből pedig átrendezéssel adódik a (6.2) egyenlőtlenség. Így a 6.2 tétel állítását igazoltuk.

A  $b_j$  értékeknek a 6.1. és 6.2. tételekben kikötött monotonitása nem szűkíti az általánosságot, mivel sem az  $\alpha^{(m,n)}$  függvény értéke, sem pedig az  $\omega^{(m,n)}$  függvény értéke nem változik, ha a  $b_1, b_2, \dots, b_n$  argumentumok értékét tetszőlegesen permutáljuk.

Végül a 6.1. és 6.2. tételek egy kiegészítését bizonyítjuk. Nevezetesen azt, hogy ha minden  $j = 1, 2, \dots, n-1$  esetén (6.1)-ben illetve (6.2)-ben egyenlőség áll fenn, akkor

$$\alpha^{(m,n)}(a_1, a_2, \dots, a_m; b_1, b_2, \dots, b_n) = 1 \quad \text{illetve}$$

$$\mu^{(m,n)}(s_0, s_1, \dots, s_n; b_1, b_2, \dots, b_n) = 1, \quad \text{azaz a}$$

(2.1) – (2.3) rendszernek egyetlen megoldása van.

Az (5.9) és (6.2) egyenlőségekből a  $b_j$ -k egyértelműen adódnak:

$$(6.4) \quad b_j = \sum_{l=j}^n s_l \quad (j = 1, 2, \dots, n \text{ esetén})$$

Most a (2.1) – (2.3) rendszer megoldását az  $x_{ij}$  változók meghatározásának az alábbi algoritmus szerinti sorrendjében végezve könnyen látható, hogy a (2.1) – (2.3) rendszernek egyetlen megoldása van.

Első lépés ( $l = 1$ ):  $x_{ij} = 0$  az  $s_0$  számú azon  $i$  indexre, melyekre  $a_i = 0$  és tetszőleges  $j$  indexre.  $x_{i1} = 1$  mindazon  $i$  indexekre, melyekre  $a_i \neq 0$ . ( $s_0$  számú  $i$  indexre már  $x_{ij} = 0$  és (6.4) szerint  $b_1 = \sum_{l=1}^n s_l = m - s_0$ .) Legyen  $l = 2$  és folytassuk az algoritmust az  $l$ -edik lépésnél.

Az  $l$ -edik lépés:  $x_{ij} = 0$  az  $s_{l-1}$  számú azon  $i$  indexre, melyekre  $a_i = l - 1$ , és tetszőleges  $l$ -nél nem kisebb  $j$  indexre. (Az ilyen  $i$  indexek esetén már  $x_{i1} = x_{i2} = \dots = x_{i(l-1)} = 1$ )  $x_{il} = 1$  mindazon  $i$  indexekre, melyekre  $a_i \geq l$ . ( $s_0 + s_1 + \dots + s_{l-1}$  számú  $i$  indexre már  $x_{il} = 0$  és (6.4) szerint

$$b_l = s_l + s_{l+1} + \dots + s_n = m - (s_0 + s_1 + \dots + s_{l-1}).$$

Ha most  $l = n$ , akkor az algoritmus véget ér, ellenkező esetben 1-gyel növeljük  $l$  értékét, és a megnövelt értékkel újra végrehajtjuk az  $l$ -edik lépést.

Az algoritmus menete mutatja, hogy a (2.1) – (2.3) rendszernek nincs más megoldása azon kívül, amelyet az algoritmus előállít. Könnyen verifikálható, hogy az algoritmussal előállított  $x_{ij}$ -k valóban megoldását adják a (2.1) – (2.3) rendszernek.

## 7. Az alapprobléma generátorfüggvénye

A táblázatkitöltési alapprobléma generátorfüggvényének nevezzük és

$$G^{(m,n)}(y_1, y_2, \dots, y_m; z_1, z_2, \dots, z_n)\text{-nel jelöljük}$$

azt a kifejezést, amely úgy adódik, hogy összegezzük a  $0 \leq a_i \leq n$  ( $i = 1, 2, \dots, m$ ),

$0 \leq b_j \leq m$  ( $j = 1, 2, \dots, n$ ) kikötéseknek és (1.1)-nek eleget tevő argumentumokhoz tartozó  $\alpha^{(m,n)}$  értékeknek

$$y_1^{a_1} y_2^{a_2} \dots y_m^{a_m} z_1^{b_1} z_2^{b_2} \dots z_n^{b_n}\text{-nel}$$

való szorzatát. Ha az (1.1) kikötést feloldjuk, és annak nem teljesülése esetén az  $\alpha^{(m,n)}$  függvényhez 0 értéket rendelünk, akkor írhatjuk, hogy

$$\begin{aligned} & G^{(m,n)}(y_1, y_2, \dots, y_m; z_1, z_2, \dots, z_n) = \\ (7.1) \quad & = \sum_{a_1=0}^n \sum_{a_2=0}^n \dots \sum_{a_m=0}^n \sum_{b_1=0}^m \sum_{b_2=0}^m \dots \sum_{b_n=0}^m \alpha^{(m,n)}(a_1, a_2, \dots, a_m; \\ & b_1, b_2, \dots, b_n) \cdot y_1^{a_1} y_2^{a_2} \dots y_m^{a_m} z_1^{b_1} z_2^{b_2} \dots z_n^{b_n}. \end{aligned}$$



7.1. Tétel. Tetszőleges pozitív egész  $m$  és  $n$  esetén

$$(7.2) \quad G^{(m,n)}(y_1, y_2, \dots, y_m; z_1, z_2, \dots, z_n) = \prod_{i=1}^m \prod_{j=1}^n (1 + y_i z_j).$$

**Bizonyítás.** Jelöljük  $S$ -sel az  $1 \leq i \leq m$ ,  $1 \leq j \leq n$ ,  $i, j$  egész feltételeknek eleget tevő  $(i, j)$  számpárok halmazát. A (7.2) egyenlőség jobboldalán álló kifejezés polinom alakja

$$(7.3) \quad \sum_{S' : S' \subset S} \left[ \prod_{(i,j) \in S'} y_i z_j \right],$$

ahol  $\epsilon$  elemként való tartalmazást,  $\subset$  pedig valódi vagy nem valódi részhalmazként való tartalmazást jelent.

A (7.3) alatti összeg minden tagja  $y_1^{a_1} y_2^{a_2} \dots y_m^{a_m} z_1^{b_1} z_2^{b_2} \dots z_n^{b_n}$  alakú, ahol  $a_i, b_j$

egész,  $0 \leq a_i \leq m$ ,  $0 \leq b_j \leq n$ ,  $\sum_{i=1}^m a_i = \sum_{j=1}^n b_j$ , ezért a 7.1. tétel bizonyításához már csak

azt kell belátnunk, hogy a  $\prod_{i=1}^m \prod_{j=1}^n (1 + y_i z_j)$  polinomban

$$y_1^{a_1} y_2^{a_2} \dots y_m^{a_m} z_1^{b_1} z_2^{b_2} \dots z_n^{b_n} \text{ együtthatója}$$

$$\alpha^{(m,n)}(a_1, a_2, \dots, a_m; b_1, b_2, \dots, b_n) \text{ minden szóbajövő } a_i, b_j \text{ értékrendszerre.}$$

Tekintsük az 1. szakaszban szereplő  $m \cdot n$  cellából álló táblázat  $A$ -elemmel és  $B$ -elemmel történő minden lehetséges teljes kitöltését. Az  $m \cdot n$  cella mindegyikébe vagy  $A$ -elem vagy  $B$ -elem kerül, tehát a lehetséges kitöltések száma  $2^{m \cdot n}$ , s ez megegyezik a (7.3) alatt álló összeg tagjainak a számával. Minden ilyen kitöltéshez kölcsönösen egyértelműen rendelhető a táblázat azon celláiból álló halmaz, amelyek  $A$ -elemet tartalmaznak. A táblázat cellái az  $i, j$  egész,  $1 \leq i \leq m$ ,  $1 \leq j \leq n$  feltételeknek eleget tevő  $(i, j)$  indexpárokkal jellemezhetők, így a táblázat celláiból alkotott minden halmazhoz kölcsönösen egyértelmű módon rendelhető a (7.3)-ban szereplő  $S'$  részhalmazok valamelyike, továbbá a (7.3) alatt álló összegnek az ehhez tartozó

$$\prod_{(i,j) \in S'} y_i z_j \text{ tagja.}$$

Ily módon kölcsönösen egyértelmű megfeleltetést létesítettünk a táblázat lehetséges kitöltései és a (7.3) alatti összeg tagjai között. A

$$\prod_{(i,j) \in S'} y_i z_j$$

szorzatban  $y_i$  annyiszor szerepel tényezőként, ahány  $A$ -elem van a megfelelő kitöltésnél a táblázat  $i$ -edik sorában, hasonlóan  $z_j$  annyiszor szerepel tényezőként, ahány  $A$ -elem van a megfelelő kitöltésnél a táblázat  $j$ -edik oszlopában. Következésképpen az



$$y_1^{a_1} y_2^{a_2} \dots y_m^{a_m} z_1^{b_1} z_2^{b_2} \dots z_n^{b_n}$$

szorzat annyiszor fordul elő a (7.3) alatti összeg tagjai között, ahány olyan teljes kitöltése van a táblázatnak, melyre a táblázat  $i$ -edik sorának cellái összesen  $a_i$  számú  $A$ -elemet tartalmaznak minden  $i = 1, 2, \dots, m$  esetén és a táblázat  $j$ -edik oszlopának cellái összesen  $b_j$  számú  $A$ -elemet tartalmaznak minden  $j = 1, 2, \dots, n$  esetén.

### 8. A táblázatkitöltési probléma módosítása a táblázat egy cellája elemének rögzítésével

Az 1. szakaszban szereplő táblázatkitöltési problémánál általánosabb problémához jutunk, ha további megkötésként előírjuk, hogy a táblázat bizonyos celláiba az  $A$ -elem és  $B$ -elem közül melyik kerüljön. Ha csak egy cellára írjuk elő, hogy az  $A$ -elem és  $B$ -elem közül melyiket kell tartalmaznia, akkor a megoldások számára az alábbi tétel nyújt információt.

**8.1. Tétel.** *Adott egy  $m$  sorból,  $n$  oszlopból és  $m \cdot n$  cellából álló táblázat, adottak ezenkívül az  $a_i (i = 1, 2, \dots, m)$  és  $b_j (j = 1, 2, \dots, n)$  egész számok, melyekre (1.1) teljesül. A táblázat olyan  $A$ -elemekkel és  $B$ -elemekkel történő teljes kitöltéseire szorítkozva, melyeknél az  $i$ -edik sor celláiba összesen  $a_i$  számú  $A$ -elemet és  $n - a_i$  számú  $B$ -elemet helyezünk minden  $i = 1, 2, \dots, m$  esetén, a  $j$ -edik oszlop celláiba pedig összesen  $b_j$  számú  $A$ -elemet és  $m - b_j$  számú  $B$ -elemet helyezünk minden  $j = 1, 2, \dots, n$  esetén, továbbá a  $(k, l)$  cellába csak  $A$ -elemet helyezhetünk, akkor a különböző lehetséges kitöltések száma*

$$(8.1) \quad \sum_{\substack{u_1 + u_2 + \dots + u_m = b_l \\ u_i = 0 \text{ vagy } 1 \ (i=1, 2, \dots, m) \\ u_k = 1}} \alpha^{(m, n-1)}(a_1 - u_1, a_2 - u_2, \dots, a_m - u_m; b_1, b_2, \dots, b_{l-1}, b_{l+1}, \dots, b_n)$$

*Ha pedig a feltételeket úgy módosítjuk, hogy a  $(k, l)$  cellába csak  $B$ -elemet helyezhetünk, akkor a különböző lehetséges kitöltések száma*

$$(8.2) \quad \sum_{\substack{u_1 + u_2 + \dots + u_m = b_l \\ u_i = 0 \text{ vagy } 1 \ (i=1, 2, \dots, m) \\ u_k = 0}} \alpha^{(m, n-1)}(a_1 - u_1, a_2 - u_2, \dots, a_m - u_m; b_1, b_2, \dots, b_{l-1}, b_{l+1}, \dots, b_n)$$

**Bizonyítás.** Ha a táblázat  $l$ -edik oszlopában valamennyi cellát kitöltjük úgy, hogy az oszlop  $k$ -adik cellájába, továbbá az  $i_1, i_2, \dots, i_{b_{l-1}}$  - edik cellájába  $A$ -elemet, az oszlop többi cellájába  $B$ -elemet helyezünk, akkor az eredeti táblázat egy  $m$  sorból és  $n-1$  oszlopból álló táblázattá redukálódik, a sorokhoz tartozó  $a_i$  peremértékek nem változnak ott, ahol az  $(i, l)$  cellába  $B$ -elemet helyeztünk, 1-gyel csökkennek ott, ahol az  $(i, l)$  cellába  $A$ -elemet helyeztünk, a megmaradó oszlopokhoz tartozó  $b_j$  peremértékek nem változnak.

Legyen  $u_i = 1$ , vagy  $u_i = 0$  attól függően, hogy az  $(i, l)$  cellába  $A$ -elemet vagy  $B$ -elemet helyeztünk ( $i = 1, 2, \dots, m$ ). A csökkentett táblázat lehetséges kitöltéseinek a száma az  $\alpha$  függvény definíciója szerint éppen a (8.1) alatti összegnek a szóbanforgó  $u_i$ -khoz tartozó tagja. A 8.1. tétel első részének feltételeit kielégítő kitöltések száma pedig nem más mint a csökkentett,  $m$  sort és  $n-1$  oszlopot tartalmazó táblához tartozó megoldásszámoknak az  $l$ -edik oszlop megfelelő, azaz a

$$\sum_{i=1}^m u_i = b_l, \quad u_i = 0 \quad \text{vagy} \quad 1 (i = 1, 2, \dots, m), \quad u_k = 1$$

feltételeknek eleget tevő kitöltésekre való összegezése.

Ezzel a 8.1. tétel első részét igazoltuk. A második rész bizonyítása ugyanigy végezhető el.

## 9. Rekurziós formulák az $\alpha, \mu$ és $\omega$ függvényekre.

A 8.1. tételből azonnal adódik egy rekurzió az  $\alpha$  függvényre, amely átfogalmazható a  $\mu$  és  $\omega$  függvényekre is.

### 9.1. Tétel.

a.) Az  $\alpha$  függvény értékeire az alábbi rekurziós formula érvényes:

$$\begin{aligned} & \alpha^{(m, n)}(a_1, a_2, \dots, a_m; b_1, b_2, \dots, b_n) = \\ (9.1) \quad & = \sum_{\substack{u_1 + u_2 + \dots + u_m = b_l \\ u_i = 0 \text{ vagy } 1 (i=1, 2, \dots, m)}} \alpha^{(m, n-1)}(a_1 - u_1, a_2 - u_2, \dots, a_m - u_m; \\ & b_1, b_2, \dots, b_{l-1}, b_{l+1}, \dots, b_n) \end{aligned}$$

b.) A  $\mu$  függvény értékeire az alábbi rekurziós formula érvényes:

$$\begin{aligned} & \mu^{(m, n)}(s_0, s_1, \dots, s_n; b_1, b_2, \dots, b_n) = \\ (9.2) \quad & = \sum_{\substack{0 \leq w_i \leq s_i \\ w_i \text{ egész} \\ (i=1, 2, \dots, n-1)}} \binom{s_1}{w_1} \cdot \binom{s_2}{w_2} \cdot \dots \cdot \binom{s_{n-1}}{w_{n-1}} \cdot \\ & \cdot \mu^{(m, n-1)}(s_0 + w_1, s_1 - w_1 + w_2, s_2 - w_2 + w_3, \\ & \cdot \dots, s_{n-2} - w_{n-2} + w_{n-1}, s_{n-1} - w_{n-1} + s_n; b_1, b_2, \dots, b_{l-1}, b_{l+1}, \dots, b_n) \end{aligned}$$

c.) Az  $\omega$  függvény értékeire az alábbi rekurziós formula érvényes:

$$(9.3) \quad \begin{aligned} & \omega^{(m,n)}(s_0, s_1, \dots, s_n; t_0, t_1, \dots, t_m) = \\ & = \sum_{\substack{w_1 + w_2 + \dots + w_{n-1} = s_n \\ 0 \leq w_i \leq s_i \\ w_i \text{ egész} }} \binom{s_1}{w_1} \cdot \binom{s_2}{w_2} \cdot \dots \cdot \binom{s_{n-1}}{w_{n-1}} \cdot \\ & \cdot \omega^{(m,n-1)}(s_0 + w_1, s_1 - w_1 + w_2, s_2 - w_2 + w_3, \\ & \cdot \dots, s_{n-2} - w_{n-2} + w_{n-1}, s_{n-1} - w_{n-1} + s_n; t_0, t_1, \dots, t_{l-1}, t_l - 1, t_{l+1}, \dots, \end{aligned}$$

feltéve, hogy  $l \geq 1$  és  $t_l \geq 1$ .

### Bizonyítás.

a.) A 8.1. tételből következik, hogy a (8.1) alatti mennyiségnek és a (8.2) alatti mennyiségnek összegül ki kell adniuk az

$$\alpha^{(m,n)}(a_1, a_2, \dots, a_m; b_1, b_2, \dots, b_n)$$

értéket.

b.) Helyettesítsük a  $\mu$  függvényt az  $\alpha$  függvénnyel, ezután jelöljük  $w_j$ -vel az  $s_j$  számú  $j$  értékű  $a_i$ -hez tartozó  $u_i$  összegét  $j = 1, 2, \dots, n-1$  esetén.  $a_i = 0$  esetén  $a_i$ -hez csak  $u_i = 0$  tartozhat,  $a_i = n$  esetén  $a_i$ -hez csak  $u_i = 1$  tartozhat. A  $w_j$  szám  $\binom{s_j}{w_j}$  féleképpen állítható elő  $s_j$  számú 0 vagy 1 értékű  $u_i$  összegeként. Így a

(9.1) formulát a  $\mu$  függvényre alkalmazva (9.2)-höz jutunk.

c.) (9.2)-ben a  $\mu$  függvényt az  $\omega$  függvénnyel pótolva adódik (9.3).

## 10. A polinomiális együtthatók általánosítása

A (9.1) alatti rekurziós formula erősen emlékeztet a Pascal háromszögre (illetve annak többdimenziós megfelelőjére) vonatkozó rekurzív képzési szabályra. Ez nem véletlen, mivel az 5.1 tétel szerint és a következő 10.1. tétel szerint is az  $\alpha, \mu$  és  $\omega$  függvények értékei a polinomiális együtthatók egyfajta általánosításának tekinthetők.

### 10.1. Tétel.

$$a.) \quad \alpha^{(m,n)}(1, 1, \dots, 1; b_1, b_2, \dots, b_n) = \frac{(b_1 + b_2 + \dots + b_n)!}{b_1! \cdot b_2! \cdot \dots \cdot b_n!}$$

ha  $b_j \geq 0$  ( $j = 1, 2, \dots, n$ ) és  $m = b_1 + b_2 + \dots + b_n$ .



b.)

$$\mu^{(m,n)}(s_0, s_1, \dots, s_n; b_1, b_2, \dots, b_n) = \frac{s_1!}{b_1! \cdot b_2! \cdot \dots \cdot b_n!}$$

ha  $s_i = 0$  ( $i = 2, 3, \dots, n$ ) és  $b_j \geq 0$  ( $j = 1, 2, \dots, n$ ).

c.)

$$\omega^{(m,n)}(s_0, s_1, \dots, s_n; t_0, t_1, \dots, t_m) = \frac{s_1!}{(2!)^{t_2} \cdot (3!)^{t_3} \cdot \dots \cdot (m!)^{t_m}}$$

**Bizonyítás.** Elég a tétel b.) állítását igazolni, a másik két állítás csak ennek átfogalmazása.

A b.) rész bizonyításához az 5.1. tételt alkalmazzuk arra az esetre, ha  $s_2 = s_3 = \dots = s_n = 0$ : az 5.1. tétel a.) állítása szerint a

$\sigma_0^{s_0} \cdot \sigma_1^{s_1}$  polinomban  $y_1^{b_1} y_2^{b_2} \dots y_n^{b_n}$  együtthatója  $\mu^{(m,n)}(s_0, s_1, \dots, s_n; b_1, b_2, \dots, b_n)$

( $s_2 = s_3 = \dots = s_n = 0$ ). Másrészt a polinomiális tétel szerint a

$$\sigma_0^{s_0} \cdot \sigma_1^{s_1} = \sigma_1^{s_1} = (y_1 + y_2 + \dots + y_n)^{s_1}$$

kifejezésben

$$y_1^{b_1} y_2^{b_2} \dots y_n^{b_n} \text{ együtthatója } \frac{s_1!}{b_1! b_2! \dots b_n!}$$

Végül bizonyítás nélkül megadjuk egy-egy speciális esetre a  $\mu^{(m,n)}$  illetve az  $\omega^{(m,n)}$  függvény explicit alakját (10.2 illetve 10.3. tétel).

**10.2. Tétel.**  $b_1, b_2, b_3, s_0, s_1, s_2, s_3 \geq 0$ ,  $m = b_1 + b_2 + b_3 = s_1 + 2s_2 + 3s_3$ ,  $n = 3$  esetén  $\mu^{(m,3)}(s_0, s_1, s_2, s_3; b_1, b_2, b_3) =$

$$= \sum_{\substack{l_{12}, l_{13}, l_{23} \geq 0, \\ l_{12} + l_{13} + l_{23} = s_2}} \frac{s_2!}{l_{12}! l_{13}! l_{23}!} \cdot \frac{s_1!}{(b_1 - s_3 - l_{12} - l_{13})! (b_2 - s_3 - l_{12} - l_{23})! (b_3 - s_3 - l_{13} - l_{23})!}$$

**10.3. Tétel.**  $s_0 \geq 0, s_1 \geq 0, s_2 = k + 1$ ,  
 $s_3 = s_4 = \dots = s_n = 0, t_0 \geq 0, t_1 \geq s_1 + 2k, t_2 = 1, t_3 = t_4 = \dots = t_m = 0$   
 esetén tetszőleges nemnegatív egész  $k, m, n$ , értékekre

$$\begin{aligned} \omega^{(m,n)}(s_0, s_1, \dots, s_n; t_0, t_1, \dots, t_m) &= \\ &= \frac{t_1!}{2^{k+2}} \cdot [s_1^2 + (4k + 3) \cdot s_1 + 4k(k + 1)]. \end{aligned}$$

- [1] D. Gale, A theorem on flows in networks, Pacific Journal of Mathematics 7 (1957), 1073 – 1082.
- [2] Klafszky, E., Hálózati folyamatok, Az operációkutatás matematikai módszerei c. tanfolyam anyaga (Bolyai János Matematikai Társulat, Budapest, 1969.)
- [3] H. J. Ryser., Combinatorial properties of matrices of zeros and ones, Canadian Journal of Mathematics 9 (1957), 371 – 377.
- [4] G., Kéri, A tableau filling problem and its possible application to matrix inversion, in III. conference on mathematical programming, Mátrafüred, January 31. – February 6, 1975.

## S u m m a r y

A combinatorial problem of tableau filling and its equivalent variants  
in connection with different subjects

Gerzson Kéri

The author of this paper shows that the problem of determining

a.) the number of all such different feasible solutions of the transportation problem that have 0 or 1 in all components,

b.) the number of bipartite graphs with given degrees of the vertices,

c.) the coefficients of certain symmetrical polynomials –

are all equivalent with a problem of tableau filling.

Generator functions, recursive formulas, and in several special cases explicit formulas, too are given for the solution of the equivalent problems under discussion.

## Р Е З Ю М Е

Об одной комбинаторной проблеме заполнения таблиц и её эквивалентных версиях в связи с разными темами

Гержон Кери

Автор показывает, что следующие проблемы:

- а/ определить число всех разных 0-1 решений системы условий транспортной задачи;
- б/ определить число всех четных графов, имеющих данные степени вершин;
- в/ определить коэффициенты некоторых симметричных полиномов -

все это является эквивалентным с одной проблемой заполнения таблиц.

В статье даются генераторные функции, рекурсивные формулы - и в нескольких специальных случаях тоже эксплицитные формулы - для решения вышеупомянутых эквивалентных проблем.





## A TÖBBDIMENZIÓS NORMÁLIS ELOSZLÁSFÜGGVÉNY MONTE CARLO INTEGRÁLÁSSAL TÖRTÉNŐ KISZÁMITÁSÁNAK SZÁMITÓGÉPES TAPASZTALATAI

Deák István

### 1. Bevezetés

A többdimenziós normális eloszlásfüggvény konkrét értékeinek kiszámítása több gyakorlati példában szükséges lehet. Például Prékopa [3] STABIL modelljének megoldása folyamán, amely a következő alakú:

$$(1.1) \quad P\{g_i(\underline{x}) \geq \beta_i, \quad i = 1, \dots, n\} \geq P, \\ \underline{a}_i' \underline{x} \geq b_i, \quad i = 1, \dots, m, \\ \min f(\underline{x});$$

ahol a  $\beta_1, \beta_2, \dots, \beta_n$  valószínűségi változók együttes eloszlása  $n$  dimenziós normális eloszlás. A cikkben leírunk egy szubrutinrendszert, amely egy Monte Carlo integrálási technikával számítja ki a  $\Phi(\underline{h})$  konkrét értékeit, ahol  $\Phi(\underline{h})$  a zérus várható értékű, 1 szórású és  $R$  korrelációs mátrixú normális eloszlásfüggvény, vagyis

$$(1.2) \quad \Phi(\underline{h}) = \frac{1}{(2\pi)^{n/2} |R|^{1/2}} \int_{-\infty}^h \dots \int_{-\infty}^h \exp \left\{ -\frac{1}{2} \underline{x} R^{-1} \underline{x} \right\} d\underline{x}.$$

A felhasznált technikát úgy választottuk, hogy egy konkrét  $\Phi(\underline{h})$  értéket a lehető legrövidebb időn belül számítsa ki a számítógép és a szubrutinok tetszőleges  $R$  korrelációs mátrix és  $\underline{h}$  vektor esetén működjenek az  $n = 12$  dimenziós esetben is. Az itt leírt technikát alkalmaztuk a magyar villamosenergiaiparra illesztett STABIL modell számítógépes kiszámítása során [3].

A 2. szakaszban az alkalmazott Monte Carlo technika elvi leírását adjuk meg, a 3. szakaszban a számítógépes program szerkezetét tárgyaljuk – különös tekintettel a minél gyorsabb lefutásra. A 4. szakaszban a számítógépes tapasztalatokat, valamint a szubrutinok sebességére vonatkozó időeredményeket írjuk le.

### 2. A többdimenziós normális eloszlásfüggvény konkrét értékeinek kiszámítása Monte Carlo integrálással

Legyen feladatunk az

$$(2.1) \quad I_1 = \Phi(\underline{h}) = \int_{-\infty}^h \dots \int_{-\infty}^h \varphi(\underline{x}) d\underline{x}$$

integrál meghatározása, ahol  $\varphi(\underline{x})$  a 0 várható értékű, 1 szórású,  $R$  korrelációs mátrixú  $n$  dimenziós normális sűrűségfüggvény, vagyis

$$\varphi(\underline{x}) = \frac{1}{(2\pi)^{n/2} |R|^{1/2}} \exp \left\{ -\frac{1}{2} \underline{x} R^{-1} \underline{x} \right\},$$

ahol  $R$  pozitív definit szimmetrikus mátrix, melynek a főátlójában 1-esek állnak. Legyen  $D$  a következő halmaz:

$$(2.2) \quad D = \{ \underline{x} | \underline{x} \leq \underline{h} \}.$$

Az  $I_1$  érték meghatározása ekvivalens a  $\varphi(\underline{x})$  függvény  $D$  tartomány feletti integráljának kiszámításával. A gyakorlati kiszámítás folyamán a  $D$  halmaz helyett a

$$(2.3) \quad D^* = \{ \underline{x} | -\underline{b} \leq \underline{x} \leq \underline{h} \}$$

tartomány felett integrálunk, ahol a  $\underline{b}$  vektor mindegyik komponensének az értéke néggyel egyenlő. Az integrálási tartomány ilyen csonkolása által elkövetett hiba elhanyagolhatóan kicsi az alkalmazott Monte Carlo módszer hibáihoz képest, viszont egyszerűbbé és gyorsabbá teszi a számításokat.

Az  $I_1$  érték becslésére használjuk a

$$(2.4) \quad \Theta_1 = \frac{1}{N} \prod_{j=1}^n (h_j + b) \cdot \sum_{i=1}^N \varphi(\underline{v}^{(i)})$$

valószínűségi változót, ahol  $\underline{v}^{(i)}$ ;  $i = 1, \dots, N$  olyan valószínűségi vektorváltozók, amelyek egyenletes eloszlásúak a  $D^*$  tartományban. Azért kellett a  $D$  tartomány helyett a  $D^*$  korlátozott tartományt bevezetni, hogy egyenletes eloszlású pszeudovéletlen vektorokat tudjunk az integrálási tartományban előállítani. A (2.4) képlet lényegében a  $D^*$  tartomány területével szorozza az  $e$  terület feletti függvényértékek számtani átlagát, ezt a  $\Theta_1$  becslést integrálközépnek nevezzük. A számítás gyakorlatilag úgy történik, hogy a  $\underline{v}^{(i)}$ ,  $i = 1, \dots, N$  valószínűségi vektorváltozónak  $N$  darab  $\underline{r}^{(i)}$ ,  $i = 1, \dots, N$  realizációját vesszük és ezek segítségével a  $\Theta_1$  valószínűségi változónak a várható értékére egy becslést kapunk.

Vizsgáljuk meg a (2.4) képletben alapuló eljárás hibáját. Vezessük be a

$$(2.5) \quad \xi_i = \prod_{j=1}^n (h_j + b) \varphi(\underline{v}^{(i)})$$

jelölést;  $\Theta_1$  a  $\xi_i$  valószínűségi változók számtani közepe, vagyis

$$\Theta_1 = \frac{1}{N} \sum_{i=1}^N \xi_i.$$

Erre pedig a Csebisev egyenlőtlenség segítségével kapjuk, hogy

$$P \{ |\Theta_1 - M(\Theta_1)| \leq x_p D(\Theta_1) \} \geq p,$$

valamilyen  $p$  valószínűségi szinttel. Az  $x_p$  változó értéke a  $p$  döntési szinttől függ,



például  $p = 0,997$  szinten  $x_p = 3,0$  lesz. Ha figyelembe vesszük még, hogy

$$M(\Theta_1) = I_1, \quad D^2(\Theta_1) = \frac{D^2(\xi_i)}{N},$$

akkor valamilyen,  $p$ -hez közeli valószínűséggel igaz lesz, hogy

$$(2.6) \quad |\Theta_1 - I_1| \leq x_p \frac{D(\xi_i)}{\sqrt{N}}.$$

Tehát az integrálás pontossága fordítottan arányos a mintapontok számának négyzetgyökével és egyenesen arányos a  $\xi_i$  valószínűségi változók szórásával, vagyis a hiba nagysága nagymértékben a  $D(\varphi(\underline{v}^{(i)}))$  szórástól függ. Kézenfekvőnek látszik a  $\xi_i$  valószínűségi változók szórásának csökkentésével javítani a kiszámítási eljárást. Az irodalomban javasolt többféle szóráscsökkentő eljárást (importance sampling, control variates) kipróbálva nem lehetett a gépidőt – azonos pontosságú eredmény elérését megkívánva – csökkenteni; bár kevesebb mintapontot kellett felvenni, de a kiszámítás bonyolultsága miatt megnőtt a futtatási idő.

A felhasznált  $\xi_i$  valószínűségi változók szórását a következő ötlet segítségével lehet azonban csökkenteni. Legyen  $K$  a következő  $n$  dimenziós kocka:

$$K = \{ \underline{x} \mid -\underline{b} \leq \underline{x} \leq \underline{b} \}.$$

Tekintettel arra, hogy  $\varphi(x)$  értéke a  $K$  kockán kívül már elég kicsi, ha  $\underline{b} \geq 4$ , egy elhanyagolható  $\delta$  hibával fennáll az

$$1 = \int \dots \int_{R^n} \varphi(\underline{x}) d\underline{x} = \int \dots \int_K \varphi(\underline{x}) d\underline{x} + \delta$$

egyenlőség. Ezért a  $\varphi(\underline{x})$  függvénynek a  $K - D^*$  tartomány feletti integrálját  $I_2$ -vel jelölve

$$(2.7) \quad \begin{aligned} I_1 &= \int \dots \int_{D^*} \varphi(\underline{x}) d\underline{x} = 1 - \int \dots \int_{R^n} \varphi(\underline{x}) d\underline{x} + \int \dots \int_{D^*} \varphi(\underline{x}) d\underline{x} = \\ &= 1 - \int \dots \int_{K - D^*} \varphi(\underline{x}) d\underline{x} - \delta = 1 - I_2 - \delta \approx 1 - I_2, \end{aligned}$$

ahol a  $\approx$  jel azt mutatja, hogy a gyakorlatban elhanyagolható hibával egyenlőség áll fenn. Az  $I_2$  integrált a következő valószínűségi változóval becsüljük:

$$(2.8) \quad \Theta_2 = \frac{1}{N} [(2b)^n - \prod_{j=1}^n (h_j + b)] \cdot \sum_{i=1}^N \varphi(\underline{v}^{(i)});$$

ahol a  $\underline{v}^{(i)}$ ,  $i = 1, \dots, N$  valószínűségi változók egyenletes eloszlásúak a  $K - D^*$  tartományban. Tehát (2.8) szerint a  $\Theta_2$  becslés a  $K - D^*$  tartományban a függvényértékek átlagának szorzataként áll elő.

A gyakorlati alkalmazásokban az  $I_1$  integrál értéke 0.80 – 0.95 körül szokott lenni, így az  $I_2$  valószínűség 0.05 – 0.20 között változik. Ha  $I_1$  helyett az  $I_2$  értéket becsüljük meg, vagyis a  $\Theta_1$  összeg helyett a  $\Theta_2$  összeget számítjuk ki, akkor a  $\xi_i = \varphi(\underline{v}^{(i)})$

valószínűségi változók szórását azáltal csökkentjük, hogy a  $\varphi(v^{(i)})$  értékek kisebbek a  $K - D^*$  tartományban, mint a  $D^*$  tartományban.

Tehát érdemesebb úgy meghatározni az  $I_1$  integrál értékét, hogy kiszámítjuk az  $I_2$  egy becslését a  $\Theta_2$  összeg segítségével egy adott  $\underline{h}$  vektor és rögzített  $N$  esetén, majd az  $I_1 \approx 1 - I_2$  közelítő egyenlőség felhasználásával számítjuk ki az  $I_1$  értéket. Ha az  $I_1$  érték közel van 1-hez, akkor ez a kiszámítási eljárás a (2.6) hibabecslés szerint kisebb hibájú lesz, mintha az adott  $\underline{h}$  és  $N$  esetén az  $I_1$  értéket közvetlenül a  $\Theta_1$  összeg meghatározásával számítanánk ki. Mivel egy adott eloszlás és  $\underline{h}$  vektor esetén előre nem tudhatjuk, hogy  $I_1$  értéke 1-hez közeli lesz vagy sem, a következő kritériumot használtuk a szubrutinokban annak eldöntésére, hogy a  $\Theta_1$  összeg vagy a  $\Theta_2$  összeg meghatározásával számítsuk ki  $I_1$  értékét. Jelölje  $T_{D^*}$ ,  $T_K$ ,  $T_{K-D^*}$  rendre a  $D^*$ ,  $K$ ,  $K-D^*$  tartományok területét. Ha a

$$(2.9) \quad \frac{T_{D^*}}{T_K} < (0,6)^n$$

egyenlőtlenség teljesül, ahol  $n$  az eloszlás dimenziószáma, akkor az adott  $\underline{h}$  vektor esetében a  $\Theta_1$  összeget számítjuk, egyébként a  $\Theta_2$  átlag segítségével becsljük az  $I_2$  értéket és ebből számítjuk ki az  $I_1$  értékét. Szemléletesen nézve a (2.9) feltétel azt vizsgálja, hogy a  $\varphi(\underline{x})$  sűrűségfüggvénynek az origóban felvett csúcsa és a körülötte levő nagyobb értékek hová esnek és azt az eljárást választjuk, amelynek alkalmazásával ezeket a nagyobb  $\varphi(\underline{x})$  értékeket elkerülhetjük. Ezzel a választással a  $\Theta_i$  összegben felhasznált valószínűségi változók szórása kisebb lesz.

A számítógépes program további gyorsítását lehet elérni a következő gondolat segítségével. A  $K - D^*$  tartományban egyes helyeken olyan kicsi lesz a  $\varphi(v^{(i)})$  értéke, hogy még a  $T_{K-D^*}$  területtel megszorozva is elhanyagolhatóan kis értéket kapunk. A  $\Theta_2$  átlag kiszámítását így a következő módon végezzük. Ha

$$(2.10) \quad T_{K-D^*} \cdot \varphi(v^{(i)}) < 0,001$$

akkor ez a tag a  $\Theta_2$  összegben csak  $\frac{1}{N} \cdot 0,001$  értéket ad, így ez a tag a  $\Theta_2$  átlagból elhagyható. A  $\Theta_2$  átlag meghatározása a következő számítógépes lépésekből tevődik össze:

1.) Generálunk egy  $v^{(i)}$  egyenletes eloszlású pontot a  $K$  kockában, megvizsgáljuk, hogy a  $K - D^*$  tartományba esik-e, ha nem, akkor új véletlen pontot generálunk, egyébként a 2.) lépés következik.

2.) Kiszámítjuk a  $\varphi(\underline{x})$  sűrűségfüggvényben szereplő

$$S_i = -\frac{1}{2} \sum_{j=1}^n \sum_{k=1}^n R_{jk} v_k^{(i)} v_j^{(i)}$$

kvadrátikus alakot, ahol  $R_{jk}$  az  $R$  korrelációs mátrix inverzének  $(j,k)$ -adik eleme.

3.) Meghatározzuk az  $\exp(S_i)$  értéket és hozzáadjuk a  $\Theta_2$  átlag már eddig kiszámított részéhez.



4.) Ha már  $N$  darab  $\underline{v}^{(i)}$  vektort generáltunk a  $K - D^*$  tartományban, akkor a  $\Theta_2$  összeget beszorozzuk a még hiányzó állandókkal.

Lényeges az, hogy a (2.10) kritérium teljesülését már a 2.) lépés után ellenőrizhetjük, ugyanis a

$$T_{K-D} \frac{1}{(2\pi)^{\frac{n}{2}} |R|^{\frac{1}{2}}} \cdot \exp\{S_i\} \leq 0,001$$

feltételből átalakításokkal kapjuk, hogy ha az

$$(2.11) \quad S_i \leq \ln \left\{ \frac{1}{T_{K-D}^*} 0,001 \cdot (2\pi)^{\frac{n}{2}} \cdot |R|^{\frac{1}{2}} \right\}$$

egyenlőtlenség fennáll (ami ekvivalens a (2.10) feltétellel), akkor a 3. lépést ennek a  $\underline{v}^{(i)}$  vektornak az esetében már nem kell elvégezni, a  $\Theta_2$  összegben a megfelelő tagot zérusnak tekintjük.

A fenti gondolatmenet segítségével további módosítást végzünk még el. A  $\underline{b} = \underline{4}$  csonkoló vektor helyett egy olyan  $\underline{c}$  vektort vehetünk, amelyre teljesül az, hogy ha  $|\underline{x}| \geq \underline{c}$  akkor  $T_{K-D}^* \cdot \varphi(\underline{x}) \leq 0,001$  lesz. Vagyis újabb csonkolást hajtunk végre; a  $D^*$  vagy a  $K - D^*$  tartomány helyett az integrálást a  $D^{**}$  vagy a  $K^* - D^{**}$  tartomány felett végezzük, ahol

$$(2.12) \quad \begin{aligned} D^{**} &= \{ \underline{x} \mid -\underline{c} \leq \underline{x} \leq \underline{h} \}, \\ K^* &= \{ \underline{x} \mid -\underline{c} \leq \underline{x} \leq \underline{c} \}. \end{aligned}$$

Ennek a lépésnek abban áll a jelentősége, hogy  $\underline{c} \leq \underline{h}$  és ezért  $T_{D^{**}} \leq T_{D^*}$  és  $T_{K^*} \leq T_K$ . Így kisebb területű tartományban véve fel az  $N$  számú egyenletes eloszlású  $\underline{v}^{(i)}$  pontokat, jobb, pontosabb eredményt kapunk. A gyakorlatban a  $\underline{c}$  vektor komponenseire 2,5 – 4,0 közötti értékeket kapunk az  $R$  korrelációs mátrixtól függően.

### 3. A számítógépes program szerkezete

A szubrutinrendszer az MTA CDC 3300 számítógépére készült FORTRAN nyelven és 18 szubrutinból áll. Ezek hosszabb fejlesztési munka eredményeként készültek el, az itt leírt rendszer a negyedik változat. Az előző változatokról lásd [1].

A programok megírásánál a minél kisebb helyfoglalást és a lehető legrövidebb futási idő elérését tűztük ki célul. Az első szempont azért fontos, mert ezeket a szubrutinokat más programokon belül használják fel, a második pedig azért, hogy egy elfogadható gépi időn belül lefussanak a programok. A két szempont némileg ellentétes; az előző változat lényegesen több utasításból állt, de valamivel gyorsabb volt. Két szubrutin közül azt lehet gyorsabbnak tekinteni, amely azonos  $p$  megbízhatósági szinten azonos várható hibával rövidebb idő alatt számítja ki egy adott eloszlás esetén ugyanazt a  $\Phi(\underline{h})$  függvényértéket. (Ugyanis különböző  $\underline{h}$



vektorok esetén a  $\Phi(\underline{h})$  érték kiszámítása különböző gyorsaságú lesz).

A szubrutinok egy része előkészítő műveleteket végez. Meghatározzuk az adott korrelációs mátrix inverzét, kiszámítják az előző szakaszban említett  $D^{**}$  tartomány előállításához szükséges  $\underline{c}$  csonkoló vektor komponenseit, a (2.11) egyenlőtlenség jobb oldalán szereplő kifejezés értékét és egyéb állandókat.

Egy adott  $\underline{h}$  vektor esetén a (2.6) alapján meg tudjuk becsülni, hogy adott  $|\Theta_i - I_i|$ ,  $i = 1, 2$  hiba esetén és adott  $p$  biztonsági szinthez mekkora  $N$  mintaszámot kell választani a Monte-Carlo integráláshoz.

A  $D(\xi_i)$  szórását a

$$(3.1) \quad D^*(\xi_i) \approx \frac{1}{N} \sum_{i=1}^N \xi_i^2 - \left( \frac{1}{N} \sum_{i=1}^N \xi_i \right)^2$$

empirikus szórásnégyzettel becsüljük. Az egyes szubrutinok a következő módon működnek:

- ELJAV2 megadott  $N$  esetén a  $D^{**}$  tartomány felett integrál.
- ELJAV3 megadott  $N$  esetén a  $K^* - D^{**}$  tartomány felett integrál és a (3.1) összefüggés segítségével kiszámítja, hogy különböző hibák és megbízhatósági szintek esetén mekkora  $N$  mintaszám szükséges.
- ELJAV4 megadott  $N$  esetén a  $K^* - D^{**}$  tartomány felett integrál.
- ELJAV5 megadott megbízhatósági szintű megadott hibához a (3.1) összefüggés felhasználásával számítja ki a valószínűséget a  $D^{**}$  tartomány feletti integrálással.
- ELJAV6 ugyanugy működik mint ELJAV5, csak a  $D^{**}$  tartomány helyett a  $K^* - D^{**}$  tartomány felett integrál.

A minél rövidebb futási idő elérése érdekében szükségessé vált a véletlenszám generátor ügyes megválasztása és a sűrűségfüggvény kitevőjének egyszerűsített kiszámítása. Az

$$S_i = -\frac{1}{2} \sum_{j=1}^n \sum_{k=1}^n R_{jk} v_j^{(i)} v_k^{(i)}$$

jelölést használva a

$$(3.2) \quad \Theta_2 = \frac{1}{N} \cdot T_{K^* - D^{**}} \cdot \sum_{i=1}^N \frac{1}{(2\pi)^2 |R|^{\frac{1}{2}}} \exp(S_i)$$

kifejezés kiszámításának során, az összegképzés minden lépésben egy darab, a  $K^* - D^{**}$  tartományban egyenletes eloszlású  $\underline{v}^{(i)}$  valószínűségi vektorváltozóra van szükségünk. A következő igen egyszerű és emiatt gyors módszert használtuk a  $\underline{v}^{(i)}$  vektorok előállítására. Jelöljük  $\underline{v}_j^{(i)}$ -vel a  $\underline{v}^{(i)}$  vektor  $j$ -edik komponensét, a  $\underline{v}^{(i+1)}$  vektort a következő rekurzív összefüggésekkel állítottuk elő:

$$v_j^{(i+1)} = v_{j+1}^{(i)}, \quad j = 1, \dots, n-1,$$

(3.3)

$$v_n^{(i+1)} = v_1^{(i)} + v_n^{(i)}; \quad (\text{mod } b);$$

ahol  $b$  azonos a  $D^*$  tartomány meghatározásában szereplő konstanssal. Tekintettel arra, hogy ilyen kongruenciás véletlenszám generátorok felhasználásával óvatosan kell eljárunk (lásd [2]), ezért minden 300-ik lépésben teljesen újrageneráljuk a  $\underline{v}^{(i)}$  vektort egy másik, karakterkeverésen alapuló véletlenszám generátorral. A (3.3) összefüggések segítségével előállított  $\underline{v}^{(i)}$  vektort megvizsgáljuk, hogy a  $K^* - D^{**}$  tartományba esik-e, ha igen, akkor kiszámítjuk az  $S_i$  kifejezés értékét ezzel a  $\underline{v}^{(i)}$  vektorral, egyébként előállítjuk a  $\underline{v}^{(i+1)}$  vektort.

A másik gyorsítási lehetőség az  $S_i$  érték kiszámításánál adódott. Az  $R^{-1} = \{R_{jk}\}_{j,k}$  mátrix szimmetrikus és így ezt a  $\sum$  jel előtti  $-\frac{1}{2}$  tényezővel egybeolvasztva az  $S_i$  kifejezés felírható egy  $Q$  háromszögmátrix segítségével a következő alakban:

$$(3.4) \quad S_i = -\frac{1}{2} \sum_{j=1}^n \sum_{k=1}^n R_{jk} v_j^{(i)} v_k^{(i)} = \sum_{j=1}^n \sum_{k=1}^j Q_{jk} v_j^{(i)} v_k^{(i)}$$

$$\text{ahol} \quad Q_{jj} = -\frac{1}{2} R_{jj} \quad \text{és} \quad Q_{jk} = -R_{jk}, \quad j = 1, \dots, n, \\ k = 1, \dots, j.$$

Ezzel a felirással az  $S_i$  kiszámításánál szereplő tagok számát  $n^2$ -ről  $\frac{n(n+1)}{2}$ -re csökkentettük. További gyorsítást ad az a módosítás, ha az  $S_i$  kétszeres összegét nem egy kétszeres  $D\Phi$  ciklus segítségével számítjuk ki, – ahogyan a legkézenfekvőbb lenne – hanem részletesen kiírjuk az összeget. Ezzel a kissé hosszadalmas felirással elkerüljük a szimbolikus indexezés miatt szükséges időt; a futási idő a harmadára csökken ezáltal (bővebbet erről a következő szakaszban írunk).

#### 4. Számítógépes tapasztalatok és futási idők

A szubrutinok FORTRAN nyelven készültek, ellenőrzésüket több különböző  $\underline{h}$  vektor és korrelációs mátrix esetén végeztük el. A különböző korrelációs mátrixokat véletlenszám generátor segítségével állítottuk elő a következő módon. Generáltuk  $\underline{u}^{(1)}, \underline{u}^{(2)}, \dots, \underline{u}^{(n)}$   $n$  darab  $n$  dimenziós független vektort, amelyek komponensei a  $(0,1)$  intervallumban egyenletes eloszlású és független pszeudovéletlen számok voltak. Ezekre alkalmaztuk az

$$(4.1) \quad \underline{u}^{(i)*} = \frac{\underline{\bar{u}}^{(i)}}{\sqrt{|\underline{u}^{(i)}|}}$$



transzformációt, ahol

$$|\underline{u}^{(i)}| = \sum_{j=1}^n u_j^{(i)2}$$

Legyen az  $R$  mátrix  $(i,j)$ -edik eleme az  $\underline{u}^{(i)*} \underline{u}^{(j)*}$  skalárszorzat. Az ilyen módon előállított  $R = \{ u^{(i)*} u^{(j)*} \}_{i,j}$  mátrix szimmetrikus, pozitív definit lesz, a főátlóban mindenütt 1 áll, így tekinthető a standardizált többdimenziós normális eloszlás korrelációs mátrixának. A  $\Phi(\underline{h})$  érték kiszámításánál szereplő  $\underline{h}$  vektort szintén véletlenszám generátor segítségével állítottuk elő; a  $\underline{h}$  vektor komponensei egymástól független, a  $(0,5)$  intervallumban egyenletes eloszlású pszeudóvéletlen számok voltak.

Több ilyen módon előállított  $R$  mátrix és  $\underline{h}$  vektor esetén futtattuk le a szubrutinokat és ebben a szakaszban az így szerzett tapasztalatokat közöljük. Először a  $\varphi(\underline{v}^{(i)})$  értékek kiszámításának részletes időeredményeivel foglalkozunk, majd az egyes szubrutinok futási idejével és pontosságával kapcsolatos eredményeket adjuk meg és végül a többdimenziós normális eloszlásfüggvény Monte Carlo integrálással történő kiszámítására vonatkozó következtetéseinket adjuk meg.

A  $\xi_i = \varphi(\underline{v}^{(i)})$  értékek kiszámítása a 2. szakaszban leírt 1.), 2), 3), lépések szerint történik. Az  $S_i$  exponensek kétszeres  $D\Phi$  cikluson belüli (3.4) összefüggés szerinti kiszámítása és az  $S_i$  értékeknek a (3.4) szerinti, de részletesen kiírt alakban történő kiszámítása lényeges időbeli különbséget jelent. Az exponens kiszámítása három dimenzióesetén kiírt alakban a következő:

$$S = Q(1,1) * P(1) * P(1) + P(2) * (Q(1,2) * P(2) + Q(2,2) * P(2)) + P(3) * (Q(1,2) * P(1) + Q(2,3) * P(2) + Q(3,3) * P(3)),$$

ahol  $P(I)$  jelöli a véletlen vektor komponenseit.

Ezzel a felírási móddal további szorzásokat hagyhatunk el a (3.4) képlethez képest. Az 1), 2) és 3) lépéseket külön-külön ezerszer lefuttatva a következő időeredményeket kaptuk



1) Véletlen vektor előállítás	0,6 sec	1,3 sec
2) $S_i$ kétszeres $D\phi$ ciklussal való számítása	2,1 sec	11,7 sec
3) $\exp(S_i)$ kiszámítása	0,6 sec	0,4 sec
2)* $S_i$ (4.2) szerinti számítása	0,7 sec	3,6 sec
Igy $N = 1000$ esetén a $\Theta_2$ kiszámításához szükséges idő	1,9 sec	5,3 sec

1. Táblázat

Az  $\exp(S_i)$  érték kiszámításának ideje azért különböző a 4 és a 12 dimenziós esetben, mert a (2.11) szerinti konstans miatt az 1000 eset közül kevesebben kellett ténylegesen kiszámítani az  $\exp(S_i)$  értéket. Az 1. táblázatban szereplő idők átlagértékek, más kezdőértékekkel indítva a véletlenszám generátorokat, kissé eltérő időket kaphatunk.

A szubrutinok helyes működésének ellenőrzését úgy végeztük el, hogy az egységmátrixot vettük korrelációs mátrixnak, ez a független esetnek felel meg. Ilyenkor a keresett  $\Phi(\underline{h})$  érték a  $\Phi(\underline{h}_i)$  egydimenziós valószínűségek szorzataként adódnak. Közöljük néhány ilyen eset futási eredményeit. 4 dimenzióban, ha a  $\underline{h}$  vektor (4,00; 3,25; 4,00; 3,51), akkor a pontos értéke a valószínűségnek 1.00;

	A való- színűség	A hiba 95%- os biztonsá- gal	N a min- taszám	Idő
ELJAV2 $D^{**}$ felett integrál	1,000	2,02	2000	2,68 sec
ELJAV3 $K^* - D^{**}$ felett in- tegrál	0,999	0,0002	4000	4,48 sec
ELJAV4 $K^* - D^{**}$ felett in- tegrál	1,000	0,00001	182079	146,7 sec
ELJAV6 $K^* - D^{**}$ felett in- tegrál	0,999	0,0002	4000	3,4 sec

2. Táblázat

5 dimenzióban, ha a  $\underline{h}$  vektor (4,00; 4,00; 1,22; 0,10; 3,59) akkor a valószínűség pontos értéke 0,4797, a számított értékek

	A valósz- színűség	A hiba 95%- os biztonsá- gal	N a minta- szám	Idő
ELJAV2	1,000	1,69	2500	3,2 sec
ELJAV3	0,562	0,117	5000	13,8 sec
ELJAV4	0,492	0,104	10751	27,5 sec
ELJAV6	0,483	0,036	78829	130,0 sec

3. Táblázat

A 6 dimenziós független esetben, ha a  $\underline{h}$  vektor a következő (4,00; 1,29; 0,55; 2,70; 3,41; 0,57,) akkor a valószínűség pontos értéke 0,455, a szubrutinok által adott eredmények pedig a következők:

	A valószínűség	A hiba 95%-os biztonsággal	N a mintaszám	Idő
ELJAV2	1,000	0,679	3000	4,73 sec
ELJAV3	0,426	0,188	6000	22,6 sec
ELJAV4	0,417	0,173	7207	21,5 sec
ELJAV6	0,484	0,030	172854	388,6 sec

4. Táblázat

12 dimenziós független esetben, ha a  $h$  vektor a következő (1,33; 4,00; 8,57; 0,30; 0,74; 4,00; 0,26; 0,25; 1,38; 1,56; 2,51; 4,00) akkor a valószínűség pontos értéke 0,172 a számítottértékek pedig

	A valószínűség	A hiba 95%-os szinten	N a mintaszám	Idő
ELJAV2	0,048	0,05	6000	26,1 sec
ELJAV3	0,489	0,52	12000	152,7 sec
ELJAV4	0,004	0,62	12530	77 sec

5. Táblázat

A teljesség kedvéért közöljük egy 4 dimenziós és egy 12 dimenziós korrelált esetet is. 4 dimenzióban:

	A valószínűség	A hiba 95%-os szinten	N a mintaszám	Idő
ELJAV2	1,000	2,40	2000	5,4 sec
ELJAV4	0,922	0,04	6000	13,6 sec
ELJAV6	0,921	0,03	14060	30,9 sec

6. Táblázat



12 dimenzióban:

	A valószínűség	A hiba	N mintaszám	Idő
ELJAV2	0,0001	0,0001	6000	25,2 sec
ELJAV3	0,971	0,038	6000	70,3 sec
ELJAV4	0,545	0,656	13000	68 sec

7. Táblázat

A fenti eredményekből is látható, hogy minél nagyobb a keresett valószínűség, annál könnyebben tudjuk a valószínűség értékét a  $K^* - D^{**}$  tartomány feletti integrálással kiszámítani. A szubrutinok magasabb dimenzióban (lásd 7. Táblázat első sora) egyes esetekben megbízhatatlan eredményt adnak a kis mintaszám miatt; ebben az esetben a 95%-os biztonsági szinten  $\pm 0.05$  nagyságú hibához (az ELJAV3 által kiszámított) szükséges mintaszám  $N = 2\,000\,000$  lenne, ehhez körülbelül 110 perc gépidőre lenne szükség. Más korrelációs mátrix és  $\underline{h}$  vektor esetén is a  $\pm 0.05$  nagyságú hibával terhelt eredmény kiszámításához a 12 dimenziós esetben 60-120 sec. idő szükséges (kedvező esetben). Így végkövetkeztetésképpen kimondhatjuk, hogy 8-12 dimenzió esetén Monte Carlo integrálással csak 0.90-nél nagyobb valószínűség esetén tudjuk a valószínűséget meghatározni 2 percnél rövidebb idő alatt, 8 dimenzióig pedig gyakorlatilag minden esetet ki tudunk számítani. Egyes esetekben – attól a problémától függően, amelyben a többdimenziós normális valószínűségekre szükségünk van – az egyes szubrutinok jó felhasználásával gyorsan kaphatunk eredményt. Például Prékopa András STABIL modelljének [3] a futtatása során a négydimenziós valószínűségeket körülbelül 80 alkalommal számította ki a gép, összesen mintegy 10 percre volt szükség ehhez.

A várakozásnak megfelelően egy konkrét esetben a mintaszám négyzetgyökével arányosan csökkent a hiba, viszont az irodalom fellelhető utasításokkal ellentétben a kiszámításhoz szükséges idő nem lineárisan, hanem gyorsabban növekszik a dimenziószám emelkedésével.

## I r o d a l o m

- [1] Deák István: Egy sztochasztikus programozási modell számítógépes kiértékelése, MTA Számítástechnikai Központ Közlemények, (1972) 9. p. 33-49.
- [2] G. Marsaglia: Random numbers fall mainly in the planes, Proc. Nat. Acad. Sci. USA G 1 (1968) p. 25-28.
- [3] Prékopa A., Ganzer S., Deák I., Patyi K.: A STABIL sztochasztikus programozási modell kísérleti alkalmazása a magyar villamosenergiaiparra. Alkalmazott Matematikai Lapok 1(1975) 3-22.

## Р Е З Ю М Е

Значения многомерной функции нормального распределения с помощью интегральной техники Монте Карло, полученных в результате расчетов на ЭВМ.

Иштван Деак

В статье дается одна модифицированная Монте Карло интегральная техника для получения конкретных значений многомерной функции нормального распределения с любой коррекционной матрицей, самое большое в 12-и измерениях.

Подпрограммы разработанные автором основаны на базе описанной техники. Результаты машинного прогона изложены в статье.

## S U M M A R Y

Computer experiences of the evaluation of the multidimensional normal distribution function by a Monte Carlo integration technique

István Deák

The paper discusses a modified Monte Carlo integration technique to determine the concrete values of the multidimensional normal distribution function with arbitrary correlation matrix at least of 12 dimensions. The subroutines made by the author and based on the described technique were run and their results are presented.





## TALAJMECHANIKAI FÜGGVÉNYEK SZINTVONAL MEGHATÁROZÁSA

Abaffy József – Varga Gyula

### 1. Bevezetés

A terepen végzett furások eredményeként adódó talajminták analízisa sok szempontból fontos a geotechnika számára. A minták különböző szempontok szerinti vizsgálata az altalaj összetételére, kémiai, mechanikai, hidrológiai és egyéb tulajdonságaira enged kvalitatív és kvantitatív következtetéseket levonni. A Földmérő és Talajvizsgáló Vállalat, amely a terepen végzett furások adatait és a furásokból kapott talajminták analízisa során nyert számszerű eredményeket regisztrálja, megbizással fordult az MTA SzTAKI-hoz a kb. 70 éves adathalmaz matematikai feldolgozásának modellezésére és a felállított modellek beprogramozására, valamint az elkészített programok futtatására.

Mint ahogy a talajminták analízisa során kapott számszerű értékek a további feldolgozás pontosságigényeinél jóval pontosabbak, ezért a következőkben az adatok pontosságára vonatkozó problémákkal nem foglalkozunk.

A furások és a belőlük eredményül kapott furási paraméterek a furáspont koordinátáitól függő kétváltozós (az időtől való függésüket jelen cikkünkben nem vizsgáljuk) talajmechanikai függvényeket  $(f(\underline{x}), \underline{x} \in R^2)$  definiálnak. A furási paraméterek az így definiált talajmechanikai függvények bizonyos diszkrét pontokban felvett függvényértékeit adják meg. A továbbiakban bizonyos feltevések mellett az ilyen típusú talajmechanikai függvények viselkedését vizsgáljuk.

### 2. A feladat megfogalmazása

A fentiekben említett  $f(\underline{x})$  talajmechanikai függvények vizsgálatához előljáróban néhány olyan tulajdonságot kell róluk feltételezni, amelyek a gyakorlati tapasztalatok és elméleti megfontolások alapján teljesülnek.

a.) Legyen  $D = \text{dom } f(\underline{x})$ , akkor  $D$  általában többszörösen összefüggő.

b.)  $D$  belsejében létezik  $\text{grad } (f(\underline{x}))$  és az folytonos.

c.)  $\|\text{grad } f(\underline{x})\|_2 < 0.02 f(\underline{x})$ ,

d.) Létezik  $D_1 \subset D$ , amelyen

$$f(\underline{x}) = \text{konst } \forall \underline{x} \in D_1$$

e.)  $f(\underline{x}) \geq 0 \quad \forall \underline{x} \in D$

Az ilyen tulajdonságokkal rendelkező talajmechanikai függvények viselkedését a különböző függvényértékekhez tartozó szintvonalak mutatják a legcélszerűbben. A továbbiakban feladatunk tüzük ki a talajmechanikai függvények diszkrét pontokban ismert értékei alapján az illető függvények szintvonalainak plotteren történő kirajzolását.

### 3. Alapvető megfontolások

A következő részben végrehajtandó interpolációs lépések megkönnyítése érdekében a terepen szabálytalanul elhelyezkedő furáspontokban ismert függvényértékek segítségével egy négyzet-rács csúcspontjaiban szándékozunk a vizsgált talajmechanikai függvény értékeit meghatározni úgy, hogy a rendszertelenül elhelyezkedő furáspontokban ismert függvényértékek összeségéről a rácpontbeli függvényértékek összeségére való áttérés közben az információ veszteség minimális legyen, és bizonyos pontossági követelmények is teljesüljenek. Ez utóbbi szempontot is figyelembe véve határozzuk meg a térképszelvényre eső furáspontok számának ismeretében a rács-hálózat élhosszuságát.

Legyen az adott térképszelvényre eső furáspontok száma  $n$ .

Legyen

$$d_1 = h / \lceil \sqrt{n} \rceil,$$

ahol  $h$  a négyzet alakú térképszelvény oldalhossza.

Legyen

$$m_1 = \lceil h/d_1 \rceil + 1.$$

Ha  $m_1$  páros, akkor legyen

$$m_1 = m_1 + 1.$$

Ezután

$$(3.1) \quad m = \min(101, m_1) \text{ és}$$

$$(3.2) \quad d = h/m$$

ahol  $d$  a rács élhosszusága,  $m$  a felosztás.

A (3.1) kifejezésben szereplő 101-es számot az alkalmazott gép gyorsmemóriájának nagysága indokolja.

Megjegyezzük, hogy  $h$  szokásos értéke 500 mm, valamint  $d$  legkisebb értéke 5 mm.

A négyzetrács elkészítése azt jelenti, hogy alkalmas interpolációs eljárás segítségével  $m^2$  db  $d$  élhosszuságú résznégyzet középpontjában kell a talajmechanikai függvény értékeit kiszámítanunk. A kiszámítandó függvényértékek tárolására szolgáló  $m \times m$ -es mátrix elemeit a számítás megkezdése előtt  $-1$ -es értékkel töltjük fel. A rácsszélesség kiszámításra szolgáló képletekben figyelembe kell venni azt is, hogy  $n$  a tényleges és  $un$  fiktív furáspontok számának összege, ahol a fiktív pontok az értelmezési tartomány konvex burkán belül kima-  
radó területek körülhatárolására szolgálnak.

Megjegyezzük, hogy a fiktív furáspontokkal körülhatárolt területek minimális szélessége



$2.5 \times d$  és a határoló szomszédos fiktív furáspontok egymástól való távolságának kisebbnek kell lenni  $d$ -nél. Ha ugyanis a fiktív furáspontokkal körülhatárolt területrész átmérője kisebb, mint  $2.5 \times d$ , akkor ezt a területrészt a program nem észleli, hanem átinterpolálja.

Ha a szomszédos furáspontok távolsága nagyobb  $d$ -nél, akkor új fiktív furáspontokat kell beiktatni és az  $m$  és  $d$  meghatározására szolgáló algoritmust ismételni kell, addig, amíg a feltétel nem teljesül.

#### 4. A függvényértékek kiszámítása a résznégyzetek középpontjaiban

Legyen a  $\Sigma$  halmaz a következőképpen definiálva:

$$\Sigma = \bigcup_{i=1}^{m^2} S_i$$

ahol

$$S_i = T_i \cup F_i$$

ahol

$T_i = \{ \underline{x}_j : j \in K_i, \text{ ahol } K_i \text{ az } i\text{-edik résznégyzetbe eső tényleges furások indexeinek halmaza} \}$

és

$F_i = \{ \underline{x}_j : j \in J_i, \text{ ahol } J_i \text{ az } i\text{-edik résznégyzetbe eső fiktív furások indexeinek halmaza} \}$ .

Legyen továbbá

$$C = \{ \underline{c}_i : i \leq m^2, \underline{c}_i \text{ az } i\text{-edik résznégyzet középpontjának vektora} \},$$

$$\underline{c}_i = (c_{i,1}, c_{i,2})^T.$$

Legyen  $P_i$  az  $i$ -edik résznégyzetbe eső  $S_i = T_i \cup F_i$  által meghatározott halmaz poligoniális burkával megadott konvex tartomány, valamint a  $Q_i$ -t hasonlóan definiáljuk az  $F_i$  halmazra.

Ha

$$\underline{c}_i \in P \text{ és } \underline{c}_i \in Q_i, \text{ akkor}$$

$$f(\underline{c}_i) \equiv -1$$

különben ha

$$\underline{c}_i \in P_i, \bar{T}_i \geq 4, \underline{c}_i \in Q_i \text{ és}$$



az

$$(4.1) \quad R_i = \{ \underline{y}_j : \| \underline{y}_j - \underline{c}_i \|_2 < d/4, \quad j \in K_i \}$$

halmaz nem üres,

akkor

$$f(\underline{c}_i) = \sum_{j=1}^p f(\underline{y}_j) / p \quad \text{ahol} \quad p = \overline{K}_i,$$

$$\underline{y}_j \in R_i \quad \text{és} \quad \underline{y}_j \in T_i.$$

$$\text{Ha} \quad \underline{c}_i \in P_i, \quad \underline{c}_i \notin Q_i \quad \text{és} \quad R_i = \emptyset$$

akkor

$$f(\underline{c}_i) = g(\underline{c}_i) \quad \text{ahol}$$

$$g(\underline{c}_i) = \overline{a}c_{i,1} + \overline{b}c_{i,2} + \overline{c}, \quad \overline{a}, \overline{b}, \overline{c} \in R^1, \quad \text{és}$$

 $\overline{a}, \overline{b}, \overline{c}$  a következő minimum feladat megoldásaként határozható meg:

$$\sum_{l \in K_i} p_l (g(\underline{x}_l) - f(\underline{x}_l))^2 = \min$$

ahol

$$(4.2) \quad p_l = p_l(r_l) = \frac{1}{r_l} e^{-\alpha r_l}, \quad r_l = \| \underline{x}_l - \underline{c}_i \|_2$$

és

$$\alpha = \frac{n}{h^2} \cdot \ln \sqrt{1 + \sqrt{3}}.$$

A fenti szélsőérték feladat megoldása az alábbi tulhatározott lineáris egyenletrendszer normál megoldásának a megkeresését jelenti:

$$(4.3) \quad MB\underline{w} = M\underline{z}$$

ahol

$$M = \text{diag}(\sqrt{p_1}, \dots, \sqrt{p_\sigma}), \quad \sigma = \overline{K}_i$$

$$B = \begin{pmatrix} x_{l_1,1} & x_{l_1,2} & 1 \\ \cdot & \cdot & \cdot \\ \cdot & \cdot & \cdot \\ \cdot & \cdot & \cdot \\ x_{l_\sigma,1} & x_{l_\sigma,2} & 1 \end{pmatrix}, \quad \underline{w} = (\overline{a}, \overline{b}, \overline{c})^T \quad \text{és}$$

$$\underline{z} = (f(\underline{x}_{l_1}), \dots, f(\underline{x}_{l_\sigma}))^T.$$

Legyen  $A \equiv MB$  és  $\hat{z} = MZ$ , ekkor (4.2) a következőképpen írható fel:

$$(4.4) \quad A\bar{w} = \hat{z}$$

Ebből  $\bar{w} = A^+\hat{z}$ , ahol

$A^+$  az  $A$  mátrix Moore-Penrose féle inverze.

A (4.1) meghatározásban a  $d/4$  választást az alábbi becsléssel indokoljuk:

Mint hogy a tekintett négyzetben fekvő összes pont figyelembevételével a négyzet közép-pontjában súlyozott átlagolással kiszámított közelítő függvényérték rosszabb közelítést ad, mint a legkisebb négyzetek módszerével kapott közelítés, ezért a  $d/4$  sugarú körben elhelyezkedő pontokkal végrehajtott átlagolással számított függvényértéknek az előbbi súlyozott átlagolással számított függvényértékhez viszonyított relatív hibája felső becslést ad a legkisebb négyzetek módszerével kapott függvényértékhez viszonyított relatív hibára.

Legyen

$$\bar{f} = \frac{\sum_{j=1}^k f(y_j)}{k} \quad \text{ahol } k = \bar{R}_i$$

$$\text{és} \quad \bar{f} = \frac{\sum_{j=1}^k f(y_j) + \sum_{l=k+1}^n p_l f(y_l)}{k + \sum_{l=k+1}^n p_l} \leq \frac{\sum_{j=1}^k f(y_j) + \sum_{l=k+1}^n p f(y_l)}{k + (n-k)p} = \hat{f}$$

$$n = \bar{T}_i \quad \text{és} \quad p = 4/d e^{-\alpha d/4}$$

Az  $\bar{f}$ -ban és  $\hat{f}$  megfelelő részében a súlyokat azért kell elhagynunk, mert

$$p_j \rightarrow \infty \quad \text{ha} \quad y_j \rightarrow \underline{c}_i.$$

A relatív hibára az alábbi egyenlőtlenséget írhatjuk fel:

$$\left| \frac{\bar{f} - \hat{f}}{\hat{f}} \right| \leq \left| \frac{k + (l-k)p}{k + (l-k)p + p(l-k)\vartheta} - 1 \right| \quad \text{ahol } l = \bar{T}_i$$

$$(\bar{T}_i \leq 50) \quad \text{és} \quad \vartheta \geq \max_i \left| \frac{\bar{f} - f_j}{\bar{f}} \right|, \quad j \in k_i \cap M'_i$$

$$\text{ahol } M'_i = \{ j \in k_i : \|y_j - \underline{c}_i\|_2 < d/4 \}$$

Figyelembe véve a  $2/c$  feltételt

$$\vartheta \approx 0.32$$

A számítást az  $l = 5$ ,  $n = 10^3$ ,  $h = 5 \cdot 10^2$  mm,  $d = 5$  mm értékekre elvégezve és a furáspon-  
tok elhelyezkedését egyenletes eloszlásúnak feltételezve

$$\left| \frac{\bar{f} - \hat{f}}{\hat{f}} \right| < 0.11 \quad \text{adódik.}$$

Visszatérve a  $\bar{T}_i \geq 4$  feltételre, megjegyezzük, hogy amennyiben ez nem teljesül, a vizs-  
gálandó résznégyszetet az öt körülvevő 8 (a tartomány határán ez 5-re, illetve sarkoknál 3-ra  
redukálódik) szomszédos résznégyszettel bővítjük, és a fent leirt eljárást ismételjük. Ugyancsak  
a fenti eljárást ismételjük akkor is az előbb leirt bővítés végrehajtásával, ha az  $r(A) < 3$ . Ha  
1 bővítés nem bizonyul elegendőnek, akkor újabb bővítést végzünk a megnagyobított négy-  
zetet körülvevő 16 (határoknál kevesebb) résznégyszetek hozzacsatolásával. Ha ez sem ad ered-  
ményt, akkor a résznégyszet középpontjában a függvényértéket nem tudjuk kiszámítani.

A legkisebb négyzetek módszerének alkalmazása során felhasznált lineáris közelítő függvé-  
nyek helyett alkalmazhattunk volna kvadratikusan függvényeket is. Ehhez az általános kétválto-  
zós kvadratikusan függvény 6 együtthatóját kellett volna kiszámítani, szemben a számításaink-  
ban felhasznált lineáris függvény 3 együtthatójával, anélkül, hogy az ily módon kiszámított  
függvényértékek pontossága számottevően növekedett volna, az eljárás végrehajtásához szük-  
séges nyolcszoros műveletigény arányában. Ez a tény, tekintetbe véve azt a körülményt, hogy  
az eljárást maximálisan 10 000 résznégyszetre kell végrehajtani, a gépidő szükségletet jelentő-  
sen megnövelné, és ezért ezt a lehetőséget elejtettük.

## 5. A szintvonalak plotteren történő kirajzolása

Miután kiszámítottuk a szóbanforgó talajmechanikai függvény értékeit a résznégyszetek  
középpontjaiban (nem okvetlenül valamennyiében), a maximális és minimális függvény-  
érték közé eső valamely paraméter értékkel ( $\gamma$ ) hozzáfoghatunk a neki megfelelő szintvonal  
megkereséséhez és kirajzolásához.

Tekintsük a négyzetrács valamelyik résznégyszetét, illetve a résznégyszet csucspontjaiban a  
talajmechanikai függvény értékeit. Ha a négy csucspont közül egyben nincs kiszámítva a függ-  
vényérték (azaz értéke negatív), akkor az illető pontban önkényesen értéket adunk neki úgy,  
hogy függvényértékként a két mellette fekvő pontban ismert függvényérték összegének és a  
vele szemben lévő pontban felvett függvényértéknek a különbségét tulajdonítjuk. Ha a négyzet  
két egymás mellett lévő csucspontjában nincs kiszámítva a függvényérték, akkor csak abban  
az esetben rajzolhatunk szintvonalat a másik két csucsponton át, ha a függvényérték mindket-  
tőben megegyezik a tekintett paraméterértékkel. Ha két átellenes pontban vagy kettőnél  
több pontban nincs kiszámítva a függvényérték, akkor az illető négyzeten át nem halad szint-  
vonal.



A továbbiakban tekintsük azt az általános esetet, amikor a négyzet valamennyi csúcspontjában ki van számítva a függvényérték. A szintvonal négyzeten való áthaladásának a feltétele:

$$\min(t_1, t_2, t_3, t_4) \leq \gamma \leq \max(t_1, t_2, t_3, t_4)$$

ahol  $t_i$ ,  $i = 1, \dots, 4$ -ig a függvényértékek a résznégyzet csúcspontjaiban az óramutató járásával ellenkező irányban véve. A szintvonal áthaladásának elégséges feltétele

$$\min(t_1, t_2, t_3, t_4) < \max(t_1, t_2, t_3, t_4),$$

$$\gamma \in [\min(t_1, t_2, t_3, t_4), \max(t_1, t_2, t_3, t_4)],$$

$\gamma = t_i = t_j = t_k$  különböző  $i, j, k$ -ra nem áll fenn, valamint  $\gamma = t_{i_0} = t_{j_0}$  esetén  $\gamma \in [t_{l_1}, t_{l_2}]$  ahol az  $l_1, l_2$  indexek különböznek az  $i_0, j_0$  indexektől.

Az elégséges feltétel teljesülése esetén a négyzet oldalain lineáris interpolációval megkeresünk azokat a pontokat, amelyekben a függvényérték  $\gamma$ -val megegyezik. A figyelembe vehető lehetséges pontok száma 2,3 vagy 4.

Feltételként szabjuk ki azt, hogy a szintvonalak a szomszédos négyzetekbe való áthaladási pontokban lehetőleg egyszer folytonosan differenciálhatók legyenek, valamint véges sok pontot kivéve bármely szintvonal tetszőleges pontjának elegendően kicsiny környezetébe eső egyéb szintvonalak konvexitása megegyezzen. Ezeknek a feltételeknek a segítségével az elemi függvények közül kiválaszthatunk olyanokat, amelyeknek a menete a tényleges szintvonalakat megközelíti. Az alkalmazott elemi függvények az alábbiak:

- 1.) szögfüggvények
- 2.) reciprok függvény
- 3.)  $ax^p + by^p = c$  ( $p \in [1, 2]$ ).

A plotteren való kirajzolás tényleges végrehajtásánál figyelembe kellett vennünk azt a körülményt is, hogy a CDC 3300 gépnél rendelkezésünkre álló rajzmező szélessége a térképszelvény felével egyezik meg, és ezért a rajzolás a két fél szelvényre külön-külön kellett végrehajtani. A plotter felesleges tollmozgatásainak elkerülése céljából a vizsgálandó résznégyzetek sorrendjét úgy állapítottuk meg, hogy a bal alsó sorokból elindulva az első sor végéig haladunk, majd ott a második sorba lépve visszatérünk a rajzmező bal szélére és egy sorral feljebb lépve ezt ismétljük. A különböző paraméterértékekhez tartozó szintvonalak különféle vonaltípusúak vagy színűek lehetnek. Végül a két fél szelvény összeragasztható.

## S u m m a r y

## Determination of the line of levels of soil mechanics functions

József Abaffy – Gyula Varga

The paper investigates the behaviour of soil mechanics functions resulting from drillings on the terrain. It substitutes the drilling points located at haphazard by a square grid system and gives an algorithm to the system obtained for the levels of the soil mechanics function in question.

## Р Е З Ю М Е

Определение линий уровня функций грунтовой механики

Йожеф Абаффи – Дюла Варга

В статье исследуется поведение линий уровня функций грунтовой механики, полученных по полевым бурениям. Точки бурений, расположение случайных образцов, заменяются системой квадратных сеток и для полученной системы описывается алгоритм к начертанию линий уровня функции грунтовой механики.



## EGY MÓDSZER ASSEMBLEREK ELŐÁLLÍTÁSÁRA

Csörnyei Zoltán

Az assemblerek hasonlósága szükségessé és lehetővé tette egy olyan rendszer kidolgozását, amellyel ezek a fordítóprogramok egyszerűen és gyorsan előállíthatók. A létrehozott fordítóprogramok két részből állnak: egy törzsből, amelyik közös mindegyik fordítóprogramban, és egy leíró táblából, amely az adott fordítóprogramtól függ. A törzs határozza meg a fordítóprogram jellegét, például, hogy hány passzból áll, milyen a szimbólumkezelése, input-outputja, míg a leíró tábla definiálja a fordítóprogram direktíváit és utasításait.

A fordítóprogramok gyors előállításának alap gondolata az, hogy a fordítóprogramok a fordítás folyamán sok hasonló, vagy azonos funkciót végeznek, így ezek a különböző fordítóprogramokban azonosak is lehetnek. A következőkben ezeket a közös funkciókat határozzuk meg.

A fordítóprogramnak az a feladata, hogy a szimbólikus nyelven írt programból (forrásprogramból) létrehozzon egy azonnal, vagy csak szerkesztés után futtatható programot (tárgyprogramot). A tárgyprogram lehet gépi kódú, vagy valamilyen interpreter által végrehajtandó program. A forrásprogramok közös tulajdonságait határozzuk meg először.

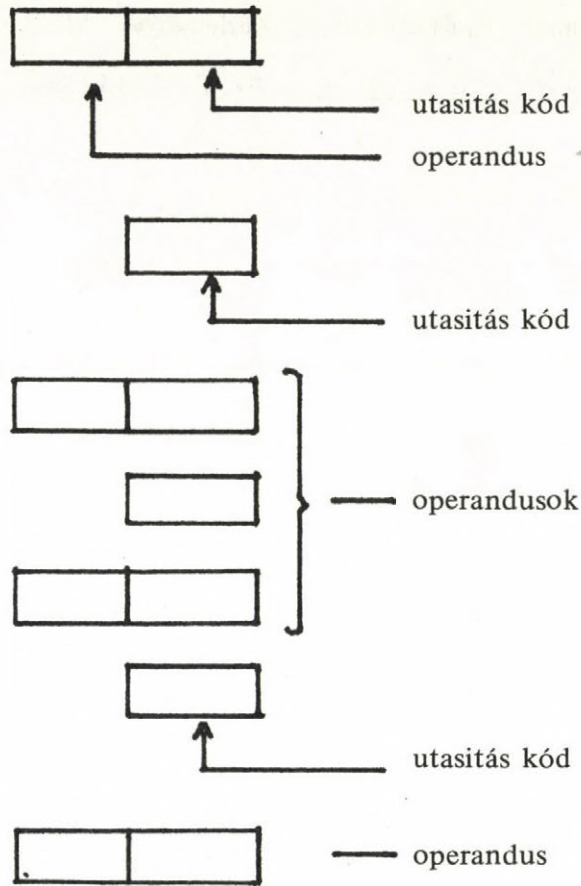
### A forrásprogramok közös tulajdonságai

A forrásprogram sorokból áll, minden egyes sor egy utasítás szimbólikus nyelvű leírása. Előfordulhat, hogy egy sor az adathordozón nem fér el fizikailag egy sorban, például, ha egy utasításnak nagyon sok operandusa van; ilyenkor biztosítani kell a sor tördelhetőségét, egy speciális jel ( pl. < ) szolgálhat a törés jelzésére.

A sor karakterekből álló karakterlánc, a sor végét egy, vagy két speciális karakter (kocsi-vissza, soremelés, új-sor, stb.) jelzi. Az egy ilyen sorból lefordított bináris információ két részből áll: az utasítás kódjából és az operandusokból. Az utasításkód terjedelme két-három bittől két byte-ig terjed, az operandus az utasítástól függően lehet csak egy-két bit, vagy akár három-négy, vagy még több byte is.

A forrásprogram sorai zónákra tagolhatók, egy sor négy zónából áll: címke, utasítás, operandus és komment zóna.





A címkezőna lehet üres, vagy egy nevet (szimbólumot, címkét) tartalmaz, amely az utasítást azonosítja. Általában ez a név az utasítás kód memóriarekeszének szimbolikus neve. A címkezőnába írható szimbólumok betűvel kezdődő, betűket és számokat tartalmazható karakter-sorozatok, a karakter-sorozatok hosszát általában maximálják. A szimbólumokban speciális jelek is előfordulhatnak (pl. : vagy @), ezeket célszerű a programozónak a szimbólum típusjelzésére használni, feltéve, hogy a fordítóprogram ezt nem követeli meg.

Az utasításhoznában helyezkedik el az utasítás szimbolikus kódja (mnemonik). A tárgyprogram szempontjából a forrásprogram utasításait három csoportra oszthatjuk. Az első csoportba azok az utasítások tartoznak, amelyek a sor lefordításakor a tárgyprogramba információt adnak. Ezek a gépi kódú utasítások és az adat (konstans) megadások. A második csoport utasításai közvetlenül nem adnak információt, ilyen pl. egy szimbólum helyének, vagy értékének definiálása. A harmadik csoportba a fordítóprogramnak szóló utasítások, a direktívák tartoznak.

Az utasításhónában lévő információtól függ, hogy a többi zónának kell, lehet, vagy nem lehet információt tartalmaznia.

Az operandus mezőbe kerülnek az operandusok. Több tagból is állhatnak az operandus tagjait legalább egy karakterrel (pl. vessző, vagy szóköz) kell elválasztani. Az itt lévő információból készülnek az utasításkód utáni bináris értékek. A forrásprogram operandus tagjai lehetnek szimbólumok, számok, kifejezések. A kifejezés műveleti jelekkel összekapcsolt szimbólumok és számok sorozata, hossza általában nincs korlátozva. Az operandus tagjainak számát az utasításhónában lévő utasítás határozza meg.

A komment zóna kezdőkaraktere általában egy speciális karakter (pl. \* vagy ;). A komment zóna a sor elején is kezdődhet, az ilyen sort komment sornak nevezzük. A komment a tárgyprogramba információt nem ad.

A zónák kötött, vagy szabad formában követhetik egymást. A kötött formában a zónák mindig egy előírt pozíción kezdődnek, míg a szabad formában a zónák között egy terminátor karakter (általában szóköz, vagy tabulátor) helyezkedik el.

### A fordítóprogramok közös tulajdonságai

A fordítóprogramok azonos tulajdonságait két szempontból vizsgáljuk. Az első a fordítóprogram szolgáltatása, amelyet egy dialógussal lehet definiálni. A fordítóprogramok háromféle eredményt adnak:

- bináris információ (tárgyprogram)
- lista
- cross-referencia lista.

Az utóbbi kettővel általában együtt jár a tárgyprogram készítése. A felhasználó a dialógus folyamán kijelöli, hogy milyen szolgáltatást kér; ez a fordítóprogramban flagek állítását jelenti. A fordítóprogramok általában mindig előállítják mindhárom output-ot, információhordozón való megjelenésüket tiltják, vagy engedélyezik a flagek. A dialógus programjára csak a fordítás elején van szükség, ez a terület a fordítás alatt még felhasználható.

A másik szempont a fordítóprogramok működése. A fordítóprogramok kétpasszosak, bár néha lehet látni egypasszos fordítókat is. Minden fordítóprogram tartalmaz egy szervező részt, amely többnyire más funkcióval egybeépítve (pl. szimbólumtábla kezelés) a passzok szervezését végzi. A passz sorszám is egy flagben tárolódik, így a feldolgozó programok mindkét passzban azonosak. A passztól függő funkciót a flag vizsgálatával választják ki.

A fordítóprogramok a forrásprogramot soronként dolgozzák fel. Az első teendő a forrásprogram (következő) sorának beolvasása a háttértárolóról. Már a beolvasáskor átalakíthatja a sort, és előkészítheti a listázásra. Kiszűri a felesleges karaktereket (szóközők, javítások), tabulál, stb. Az input feladata a sor hosszának megállapítása is.



Ha a beolvasott sor komment sor, azonnal indulhat a listázása, további munka az ilyen sorral nincs.

A nem-komment soroknál az első feladat az utasítás zónában lévő karaktersorozat azonosítása. A lehetséges utasításokat és a hozzájukrendelt kódokat általában egy táblázat tartalmazza. Ez a táblázat tartalmaz arra is utalást, hogy a többi zónában milyen információt kell keresni, azaz hogyan kell azokat feldolgozni.

Az utasítás azonosítása után a címke feldolgozása következik. Két típusú címke használata az általános: az egyik az utasításkód memória rekeszének neve, a másik az értékadás. A két típusú címkefeldolgozó programnak használnia kell a szimbólumtáblákat is, hiszen a címkét oda fel kell írni, vagy a multidefiniáltságot meg kell határozni. A szimbólumtáblát kezelő programnak a következő belépései a szokásosak:

- egy adott szimbólum felírása,
- egy adott szimbólum keresése,
- egy adott szimbólum törlése.

Az első mindig tartalmazza a második funkciót is. Az első a címke, a második az operandus feldolgozásakor szerepel. Mivel kétpasszos fordítóprogramnál két szimbólumtábla (predefinit és postdefinit címkéknek) használatos, a felírás és keresés is többféle lehet. A harmadik a program, vagy a program egy részének végekor működik.

Az operandus feldolgozása általában a legbonyolultabb. Ha az utasítástól függően nincs más korlátozás, az operandus tagjai kifejezések. Egy kifejezés feldolgozásakor a szimbólumtábla-kezelő, számátalakító és természetesen a kifejezésben lévő műveleteket végző programokat kell használni. Mennél több kényelmet biztosít a fordítóprogram a felhasználónak, annál bonyolultabb a kifejezésfeldolgozás a fordítóprogramban.

Az operandus feldolgozásával a beolvasott sor feldolgozása is befejeződött. Az első passz csak a szimbólumtáblát és különböző pointereket kezel, a második passzban pedig a sor feldolgozása után a kijelölt output-okat kell végrehajtani. A tárgyprogrammal különösebb teendő nincs, ez egy háttértárolón tárolható. A lista többféle lehet. Általában négy részből áll a lista egy sora:

- az utasítássor sorszama a forrásprogramban,
- memória cím,
- a memória cím tartalma,
- a forrásnyelvi utasítássor.

Az utasítássorban lévő utasítástól függ, hogy a négy rész közül a listában melyik szerepel.



A fordítóprogramok hibajelzései kétfélek: az egyik típus a sor feldolgozása folyamán detektált hibákat jelzi, a másik a fordítás befejezésekor ismeretlen szimbólumokat írja. Mivel a hibajelző programot a fordítóprogram majdnem minden részéből hívhatja, a hibajelzést egy vagy több szubrutin végzi.

A fordítás befejezése után több szolgáltatás biztosítja a felhasználó kényelmét, a fordítóprogramok kiírhatják a tárgyprogram hosszát, központi memóriában való elhelyezhetőségét, a szegmensek listáját, stb.

### A fordítóprogram törzse

A fenti részben nem beszéltünk arról, hogy a fordítóprogram a forrásprogramot milyen tárgyprogrammá fordítja, azaz az adott fordítóprogram milyen utasításkészletet ismer fel, milyen operandusai lehetnek, mi az operandusok sorrendje, milyen utasításoknak nem lehet címkéje. Ez csak az adott forrásnyelv utasításainak definíciójától függ.

Még arról sem volt szó, hogy milyen a szimbólumábrázolás, milyen a forrásprogram struktúrája. Ez is a forrásnyelv definíciójától függ, de előfordulhat, hogy ez már több forrásnyelv definíciójában azonos.

A fordítóprogramok fenti jellemzéséből, valamint ezekből az észrevételekből kitűnik, hogy a fordítóprogramok alapvetően két részre oszthatók. Az egyik rész forrásnyelv-specifikus a másik fordítóprogram-specifikus. A fordítóprogram-specifikus rész több fordítóprogramban lehet azonos. Ezt a részt nevezzük a fordítóprogram törzsének. A másik rész a forrásnyelv utasításait írja le, ez a leíró tábla. Ha a törzs tartalmaz egy interpretert, a leíró rész interpretatív leírású lehet, amivel lehetővé válik a forrásprogram utasításainak kis memória-igényű leírása.

Ha a törzs jól szegmentált, feladat-orientált felépítésű, akkor az egymástól lényegesen különböző forrásprogramok fordítóprogramjai is könnyen elkészíthetők, feltéve, hogy ezek a fordítóprogramok is rendelkeznek a korábban leírt közös tulajdonságokkal. Egy törzsből a megfelelő módosítások elvégzésével, de a törzs szerkezetének megtartásával egy egészen új típusú fordítóprogram hozható létre.

A fordítóprogram törzse tartalmazza azokat a funkciókat megvalósító programokat, amelyeket a közös tulajdonságukról szóló részben írtunk le. Ezeket a programokat célszerű úgy írni, hogy az interpretatív leírás moduljai legyenek, azaz a leíró táblában egy kóddal lehessen rájuk hivatkozni. Az interpreter a leíró tábla kódjait értelmezi és indítja a kódhoz tartozó programot.

### A leíró tábla

A fordítóprogramnak ez a része tartalmazza a fordítás szabályait, ez a rész az utasítások leírásából áll.

Itt vannak a mnemonikok és a hozzájuk tartozó szintaktikus szabályok. A leírás interpretatív, egy egy-byte-os interpretert választva a leírás rövid, kisebb mint a törzs egynegyede.

A forrásprogramban a felhasznált különböző utasítások darabszámának eloszlása nem egyenletes, így lehet egy utasítás szimbólikus nevének keresése lineáris, ha a tábla elejére a leggyakrabban használt, végére a legritkábban használt utasítások kerülnek. Ha a keresést a tábla elején kezdjük, az utasítás felismeréséhez szükséges összehasonlítások száma kevesebb, mint rendezetlen tábla esetén. Nem-lineáris keresési algoritmussal lehet az összehasonlítások számát csökkenteni, de legtöbbször ez a program nagyságát növeli. Így ha az utasítások száma nem nagy, a lineáris keresés a fordítás idejét lényegesen nem növeli.

A leíró táblában az utasítások leírása nem egyforma hosszúságú, ezért a kereséshez a táblában a láncolási címeket el kell helyezni, a láncolási cím lehet pl. a következő utasítás leírásától való távolság is.

A forrásprogram utasításainak egy jellemzője, hogy sok utasítás és szintaktikájuk csak a mnemonikban és az utasításkódban különbözik egymástól. Ezeket az utasításokat természetesen célszerű a leíró táblában úgy leírni, hogy csak a mnemonik felismerésének és a bináris kód megadásának leírása különbözzön, és a leírás többi része már csak egy helyen szerepeljen. Ehhez egy olyan interpretatív utasítás kell, amelyik a leíró táblában ugrásokat hajt végre.

### A fordítóprogramok

Az előállított fordítóprogramok memória mérete és a fordítás ideje lehet, hogy nem optimális. Mégis ami a módszer mellett szól, az a könnyen áttekinthető szerkezet és a gyors előállíthatóság. A fordítóprogram módosítása, bővítése, szűkítése sem okoz problémát, akár az utasítások leírását, akár a program törzsét kell megváltoztatni, elsősorban a tagolt, áttekinthető felépítés miatt.

Ezzel a módszerrel már három fordítóprogram készült el. Mindhárom R-10 számítógépen működik. Az egyik egy R-10-en futó program fordítására, a másik kettő az R-10-en szimulált számítógépek tárgyprogramjainak előállítására szolgál.

Az első program a PROCESS-2/8K autókódja. A második az MTA SzTAKI-ban kifejlesztett MFB (Mikroprocesszoros Folyamatirányító Berendezés) assemblere, a harmadik az MFB autókódja. Az utóbbi kettő program törzse is azonos, csak a leíró táblák különböznek. Az első és a másik kettő fordítóprogram törzseinek felépítése hasonló, a törzs egyes moduljaiban van csak eltérés. Más pl. a szimbólumok formátuma, a lebegőpontos számábrázolás, így az ezek feldolgozását végző modulok különbözőek.

Egy példával szemléltetjük az ilyen típusú fordítóprogramok leírását. A példában az MFB assembler leíró táblájának egy része szerepel, a JMP utasítás leírása. Az utasítás három byte-os, az első byte az utasításkód, értéke 44, a második és harmadik byte egy memóriacím.



XJMP TEXT

"JMP"

a mnemonik

DATA,1

XJC-XJMP

a következő utasítástól való távolság

DATA,1

E , WORD , NOP

az utasításnak lehet címkéje  
(szimbólumkezelés)az operandus egy cím (szó)  
(kifejezés feldolgozás)

nincs több operandus

DATA,1

B:44 , L:ABI , R:1

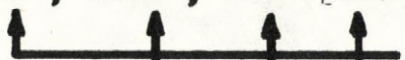
a byte tartalma 44

a lista megadása:  
szerepel benne a be-  
töltési memória cím,  
a memória byte-tartal-  
ma, a forrásprogram tükre  
és a forrásprogrambeli sor-  
szám, valamint a sorra vo-  
natkozó hibajelzésa betöltési memória címet  
egy byte-tal növelni kell



DATA,1

LPF , L:AW , R:2 + &amp; 80



a lefordított cím betöltése  
a tárgyprogramba

a lista megadása:  
betöltési memória  
cím, a memória címen  
lévő szó tartalma

a betöltési címet kettővel  
kell növelni

az utasítás feldolgo-  
zásának vége

XJC

TEXT

"JC"



a következő utasítás

- [1] Donovan, J.J.: Systems Programming, McGraw-Hill Book Company, New York, 1972.
- [2] Gries, D.: Compiler Construction for Digital Computers, John Wiley and Sons, Inc. New York, 1971.
- [3] Lee, J.A.N.: The Anatomy of a Compiler, Reinhold Publishing Corp., New York, 1967.
- [4] Varga László: Rendszerprogramozás, ELTE TTK, Tankönyvkiadó, Budapest, 1975.

### S u m m a r y

#### A method for the generation of assemblers

Zoltán Csörnyei

Similarities to be found in assemblers made the development of a system, intended to be used for the simple and rapid generation of these assembler programs necessary and possible. Assemblers produced this way consist of two parts: the body, which is common in every single assembler, and the description table, which depends on the nature of the given assembler. The main features of the assembler are determined by the body, for example the number of passes needed, the handling of symbols, its inputs and outputs etc., while the directives and the assembler's repertory of instructions are defined by the description table.

## Один метод для разработки ассамблеров

Золтан Черней

Сходство ассамблеров привело к необходимости и возможности разработки такой системы, спомощью которой эти транслирующие программы разрабатываются просто и без больших временных затрат. Выполненные таким образом трансляторы состоят из двух частей: из общей части для всех трансляторов и из таблицы описания характеризующей данную транслирующую программу. Общая часть определяет характер транслятора, например, число этапов трансляций, обращение символами, вход и выход, а таблицей описания определяются директивы и команды ассамблера.



## МОДЕЛИРОВАНИЕ АДАПТИВНОЙ СИСТЕМЫ С ИДЕНТИФИКАТОРОМ

Чадеев В.М. (Институт Проблем Управления  
Академии Наук СССР),

Алмаши Г. (Исследовательский Институт Вычислительной  
Техники и Автоматизации Венгерской Акаде-  
мии Наук).

### I. В в е д е н и е

Адаптивные системы управления с идентификатором в цепи обратной связи (АСИ) имеют широкие перспективы применения в промышленности, особенно для управления крупными объектами, например, — прокатными станами. Это связано с тем, что такие системы не требуют предварительного точного знания модели объекта, а строят ее в процессе работы. Наличие модели позволяет осуществлять управление по возмущению для нестационарных объектов, а крупные объекты, как правило, нестационарны.

В настоящее время достаточно хорошо разработана теория адаптивной идентификации в разомкнутых системах [1,2]. В литературе имеются описания работающих в промышленности АСИ [3,4]. Многие вопросы в этих АСИ решены эвристически, в частности, — вопросы адаптивной идентификации в замкнутой системе. Получены также весьма общие результаты о гиперустойчивости АСИ в смысле Попова [5,6]. Однако, многие важные для практики вопросы оказываются слишком сложными, чтобы их можно было исследовать теоретически. Это влияние ограничений на качество идентификации, определение целесообразного уровня идентификации при переходе к управлению и т.п.

В настоящей работе предпринимается попытка исследования АСИ с помощью статистического моделирования.

## 2. Описание АСИ и постановка задачи.

Рассмотрим стандартную схему АСИ, показанную на рис. 1. На входе объекта 0 действует вектор случайных возмущений

$$x_N^T = (x_{1,N} \ x_{2,N} \ \dots \ x_{n-1,N}) \quad (1)$$

где  $T$  - знак транспонирования,

$x_{i,N}$  -  $i$ -я компонента вектора  $x_N$  в момент времени  $N$ , и скалярное управляющее воздействие  $u_N$ . Введем в рассмотрение также вектор входа

$$X_N^T = (x_{1,N}, \dots, x_{n-1,N}; u_N) \quad (2)$$

Скалярный измеримый выход объекта  $y_N$  связан с входными переменными уравнением

$$y_N = H_N^T X_N + \varepsilon_N, \quad (3)$$

где  $\varepsilon_N$  - шум измерения,

$H_N$  - вектор неизвестных параметров объекта размерности  $n$

$$H_N^T = (h_{1,N}, h_{2,N}, \dots, h_{n-1,N}, h_{n,N}). \quad (4)$$

Входные  $x_N$  и выходные  $y_N$  переменные объекта поступают в идентификатор 1, где с помощью алгоритма идентификации преобразуются в оценки объекта

$$K_{N-1}^T = (k_{1,N-1}, k_{2,N-1}, \dots, k_{n,N-1}). \quad (5)$$

В дальнейшем будем предполагать, что структуры модели и объекта совпадают и модель описывается уравнением

$$y_N^* = K_{N-1}^T X_N \quad (6)$$



где  $y_N^*$  - оценка выхода объекта (выход модели),  
 $K_{N-1}$  - оценки параметров объекта  $H_N$ .

Оценки параметров объекта  $K_{N-1}$  поступают в управляющую часть системы с, где используются для выработки управляющего воздействия  $u_N$ .

Для системы стабилизации, которую впоследствии мы только и будем рассматривать, уравнение управления имеет вид

$$K_{N-1}^T x_N = 0 \quad (7)$$

Это уравнение соответствует случаю, когда стабилизируется нулевое значение выхода. Это наиболее трудный для идентификации случай и мы ограничим свое рассмотрение только им. Дело в том, что уравнение (7) приводит к линейной зависимости между компонентами входного вектора. По этой причине в замкнутой системе невозможно использовать обычный МНК (метод наименьших квадратов), так как матрица исходных данных будет вырождена. Решая уравнение (7), получим явное выражение для управления

$$u_N = - \frac{1}{k_{n,N-1}} k_{N-1}^T x_N, \quad (8)$$

где

$$k_{N-1}^T = (k_{1,N-1}, \dots, k_{n-1,N-1}). \quad (9)$$

Для идентификации объекта как в замкнутом, так и в разомкнутом состоянии, будем использовать одношаговый алгоритм идентификации

$$K_N = K_{N-1} + \Delta_N \cdot x_N, \quad (10)$$



где скаляр  $\Delta_N$  задается формулой

$$\Delta_N = \frac{y_N - y_N^*}{\gamma + x_N^T x_N}, \quad (II)$$

а константа  $\gamma$  выбирается заранее, в зависимости от уровня шума [2].

Алгоритм (I0), (II) подробно исследован в [2]. Он обеспечивает абсолютную сходимость во всей области начальных оценок. В частности, доказано, что если компоненты вектора  $x_N$  представляют собой независимые случайные величины с нулевыми математическими ожиданиями и одинаковыми дисперсиями, а сами векторы  $\delta$  -коррелированы,  $\gamma$  равно нулю, то ошибка идентификации стационарного объекта ( $H_N = \text{const.}$ ) будет уменьшаться по экспоненте в соответствии с формулой

$$e_N^T e_N = \left(1 - \frac{1}{n}\right)^N e_0^T e_0, \quad (I2)$$

где вектор ошибки идентификации  $e_N$  равен

$$e_N = H_N - K_N, \quad (I3)$$

$n$  - размерность объекта.

Формула (I2) верна, когда  $H_N$  - константа.

Однако, в замкнутой системе скорость сходимости, по-видимому, будет меньше. Оценка скорости сходимости в замкнутой системе представляет значительные трудности.

Наша задача будет состоять в получении верхней границы скорости сходимости алгоритма (I0) в замкнутой системе и в получении путем моделирования зависимостей средней ошибки управления и средней ошибки идентификации от параметров системы управления.

3. Максимальная скорость сходимости.

Вычислим оценку максимальной скорости сходимости алгоритма (IO), (II) в замкнутой стационарной системе без помех. Как известно [2], ошибка идентификации за один шаг изменяется в соответствии с формулой

$$\theta_N^T \theta = \theta_{N-1}^T \theta_{N-1} - \frac{(\theta_{N-1}^T x_N)^2}{x_N^T x_N} \quad (I4)$$

В замкнутой системе ошибка идентификации тоже будет изменяться в соответствии с этой формулой; однако, компоненты входного вектора будут связаны между собой дополнительно уравнением (7). Подставляя значение  $u_N$  из (8) в (I4), получим

$$\theta_N^T \theta_N = \theta_{N-1}^T \theta_{N-1} - \frac{(c^T x_N)^2}{a^2 x_N^T x_N = (k_{N-1}^T x_N)^2} \quad (I5)$$

где

$$\begin{aligned} c &= (c_1, \dots, c_{n-1}), \\ c_i &= k_{n,N-1} \theta_{i,N-1} - k_{i,N-1} \theta_{n,N-1}, \\ a &\equiv k_{n,N-1}. \end{aligned} \quad (I6)$$

Вычисление математического ожидания ошибки  $\theta_N^T \theta_N$  даже для случая, когда входные переменные статистически независимы, очень трудно. Поэтому вычислим значение ошибки, соответствующее наилучшему распределению компонент вектора  $x_N$ . Будем выбирать вектор  $x_N$  таким образом, чтобы минимизировать (I5). Решая систему уравнений

$$\frac{\partial \theta_N^T \theta_N}{\partial x_{i,N}} = 0, \quad (i=1,2,\dots,n-1). \quad (I7)$$



получим, что значения компонент вектора  $x_N$ , доставляющие минимум ошибке  $e_N^T e_N$ , равны

$$x_{j,N} = b \frac{h_{j,N} K_{N-1}^T K_{N-1} - k_{j,N} H_N^T K_{N-1}}{h_{1,N} K_{N-1}^T K_{N-1} - k_{1,N} H_N^T K_{N-1}}, \quad (I8)$$

(j=1,2,...,n-1)

где  $b$  - произвольная, но не равная нулю константа.

Ошибка идентификации будет изменяться в соответствии с формулой

$$e_N^T e_N = \frac{G^2}{K_{N-1}^T K_{N-1}}, \quad (I9)$$

где

$$G = H^T K_0 - K_0^T K. \quad (20)$$

Поскольку ошибка идентификации  $e_N^T e_N$  может только монотонно уменьшаться, то из (I9) следует, что норма вектора оценок в замкнутой системе может только увеличиваться. Отсюда, в частности, следует, что в замкнутой системе ошибка идентификации, хотя и уменьшается монотонно, но не обязательно стремится к нулю. Ошибка идентификации была бы равна нулю (точнее могла бы быть), если начальная оценка лежит на сфере

$$K_0^T K_0 - K_0^T H = 0$$

В заключение подчеркнем еще раз, что оптимальный алгоритм идентификации (I8) конечно же не может быть реализован на практике. Смысл полученных результатов состоит в оценке предельных возможностей идентификации при случайном совпадении наиболее благоприятных условий.



4. Моделирование АСИ.

Моделирование АСИ осуществлялось, в основном, по схеме рис. 1, но дополнительно были введены дополнительные элементы. Были введены ограничения на области изменения  $u_N$  и  $K_N$ , исследовался алгоритм автоматического перехода из режима управления в режим обучения и обратно. Управление включалось, если выполнялся критерий

$$A_{crit} \geq A, \quad (21)$$

где  $A = D^{\#} \Delta Y / D^{\#} Y$ , (22)

где, в свою очередь,

$D^{\#} \Delta Y$  - оценка дисперсии ошибки предсказания,

$D^{\#} Y$  - дисперсия выхода объекта.

Исследовалось влияние уровня переключения  $A_{crit}$  на среднюю ошибку идентификации и управления. Были рассмотрены два алгоритма повторного использования данных. Подробнее программа моделирования описана в следующем параграфе.

5. Программа моделирования.

При моделировании предполагалось, что процесс изменения параметров объекта описывается стохастическим уравнением авторегрессии первого порядка

$$H_N = (E - Z_H) H_{N-1} + Z_H \xi_{H,N},$$

где  $E$  - единичная матрица,

$Z_H$  - матрица весов процесса авторегрессии,

$\xi_{H,N}$  - вектор независимых случайных переменных с нулевым средним.

Изменение входных переменных при моделировании описывалось стохастическим уравнением авторегрессии первого порядка

$$x_N = (E - Z_x)x_{N-1} + Z_x \cdot \xi_{x,N},$$

где значения переменных те же самые, что и выше.

Автоматический переход от управления к чистой идентификации и обратно осуществлялся в соответствии с условием

$$A \geq A_{crit}.$$

Если  $A$  удовлетворяет этому условию, то система от управления переходит к идентификации, а управляющее воздействие попеременно принимает значения

$$u_N = lastu + \Delta u$$

и

$$u_N = lastu - \Delta u,$$

где  $lastu$  - последнее значение управляющего воздействия при работе системы в режиме управления. Значение  $\Delta u$  задается в программе.

Программа моделирования предусматривает возможность повторной идентификации на основе одношагового алгоритма, когда число тактов работы системы в режиме управления превысит заданное число тактов  $l_{max}$ . Разработаны два варианта повторного использования данных. В первом варианте память заполняется в режиме обучения и делается пустой после использования данных из нее. Во втором варианте память при использовании данных сохраняется.

Программа позволяет вводить ограничения на оценки параметров объекта  $k_{i,N}$  и управляющее воздействие  $u_N$ .

Логическая схема программы показана на рис. 2.



## 6. Результаты моделирования.

Следует отметить, что результаты данного параграфа необходимо рассматривать как предварительные, поскольку дополнительно должно быть исследовано влияние на результаты различных распределений исходных данных.

Однако в результате моделирования выявлены некоторые важные для практики особенности АСИ, которые могут быть использованы уже сейчас.

Дисперсия помехи выхода 2500, ограничения на управление  $\pm 10$ . Вектор входов  $x_N$  имел нулевое математическое ожидание и одинаковые дисперсии компонент, независимых между собой и во времени, значение  $z_N$  при моделировании было равно 0,01Е.

Подробнее мы остановимся на двух результатах.

а). Влияние уровня переключения  $A_{crit}$ .

Были исследованы два случая. Первый случай, когда ограничения на оценки параметров были очень велики  $\pm 1000\%$  для каналов возмущений и  $+1000\%$ ;  $-99\%$  - для канала управления. В этом случае, как видно из рис. 3, средняя ошибка стабилизации имеет минимум при некотором среднем значении уровня переключения  $A_{crit}$ , а ошибка идентификации медленно уменьшается с увеличением  $A_{crit}$ .

Второй случай, когда ограничения на оценки параметров достаточно узки  $\pm 50\%$ . В этом случае картина радикально меняется. Ошибка стабилизации с увеличением  $A_{crit}$  сначала увеличивается, а затем уменьшается и, достигнув после **единицы** некоторой постоянной величины, дальше не изменяется. Ошибка идентификации монотонно увеличивается с увеличением  $A_{crit}$  (рис. 4).

Таким образом, в системе управления, когда параметры объекта заранее неизвестны, уровень переключения должен быть выбран меньше единицы; если же параметры объекта заранее известны достаточно точно ( $\pm 50\%$  как в нашем случае), то управление должно включаться практически сразу.



б). Влияние повторного использования данных.

Одношаговый алгоритм идентификации (IО), (II) почти всегда, за исключением экзотического случая ортогональности, только частично использует информацию, содержащуюся в исходных данных. Поэтому повторное их использование должно было улучшить качество идентификации. Так оно и оказалось, однако одновременно с этим увеличилась ошибка стабилизации.

Таким образом, в замкнутой системе, где процессы идентификации и управления связаны, повторное использование данных, улучшая идентификацию, ухудшает управление. Если критерием является ошибка стабилизации, то использовать старые данные повторно не следует, если ошибка идентификации, - то следует.

Литература

1. Перельман И.И.: Текущий регрессионный анализ и его применение в некоторых задачах автоматического управления.  
Изд. АН СССР, ОТН. "Энергетика и автоматика", 1960, № 2.
2. Райбман Н.С., Чадеев В.М.: Построение моделей процессов производства.  
Изд-во "Энергия", М., 1975.
3. Адаптивное управление точностью труб. Под ред. Данилова Ф.А. и Райбмана И.С.  
М., "Металлургия", 1973.
4. Rajbman N.S., Chadeev V.M. Tube Rolling mills adaptive control system. - Preprints of 3-rd IFAC/IFIP Conference on Digital Computer Applications of Process Control. Helsinki, Finland. 1971.
5. Juan M. Martin - Sanches. A new solution of Control. Proc. IEEE, v. 64, № 8, August 1976.
6. Ципкин Я.З.: Основы теории обучающихся систем.  
М., "Наука", 1970.

## S u m m a r y

## Simulation of an adaptive system with identification

W.M. Chadeev – Gedeon Almásy

The system is composed

- of a linear multi-input, single-output static process with slowly varying parameters,
- of a simple adaptive identification algorithm, and
- of a control law, adjusting a simple control variable in order to obtain zero output.

A heuristic strategy against model degeneration is investigated by simulation.

## Ö s s z e f o g l a l ó

## Egy adaptív identifikátoros rendszer szimulációs vizsgálata

Csagyeejev, V.M. – Almásy Gedeon

A rendszer összetevői:

- egy lineáris több-bemenetű, egykimenetű lassan változó paraméterű statikus folyamat,
- egy egyszerű adaptív identifikációs algoritmus, és
- szabályozás zérus kimenetre egy beavatkozó változóval.

A dolgozat egy modellefajulás elleni heurisztikus stratégia szimulációs vizsgálatát ismerteti.



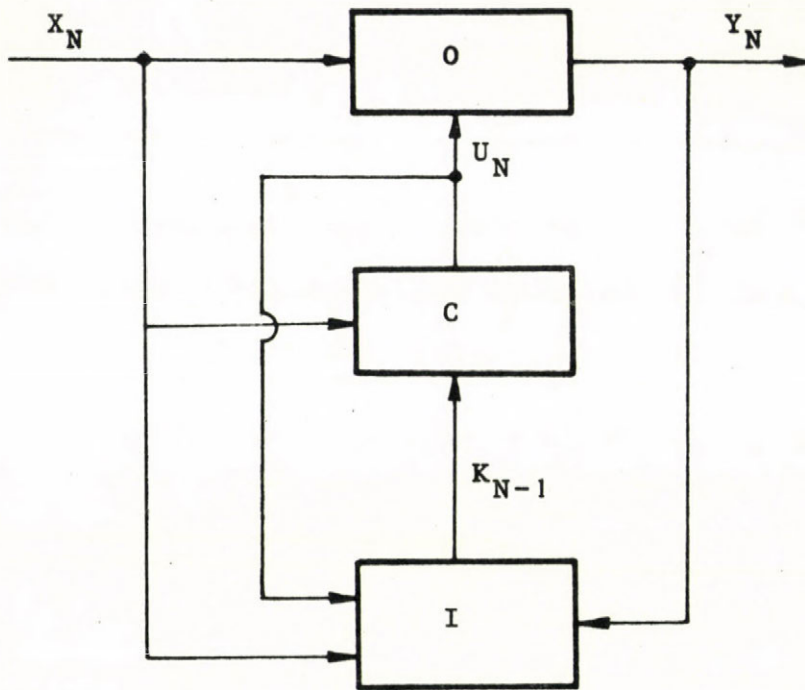


Рис. 1.

Блок-схема адаптивной системы с идентификатором  
(АСИ)

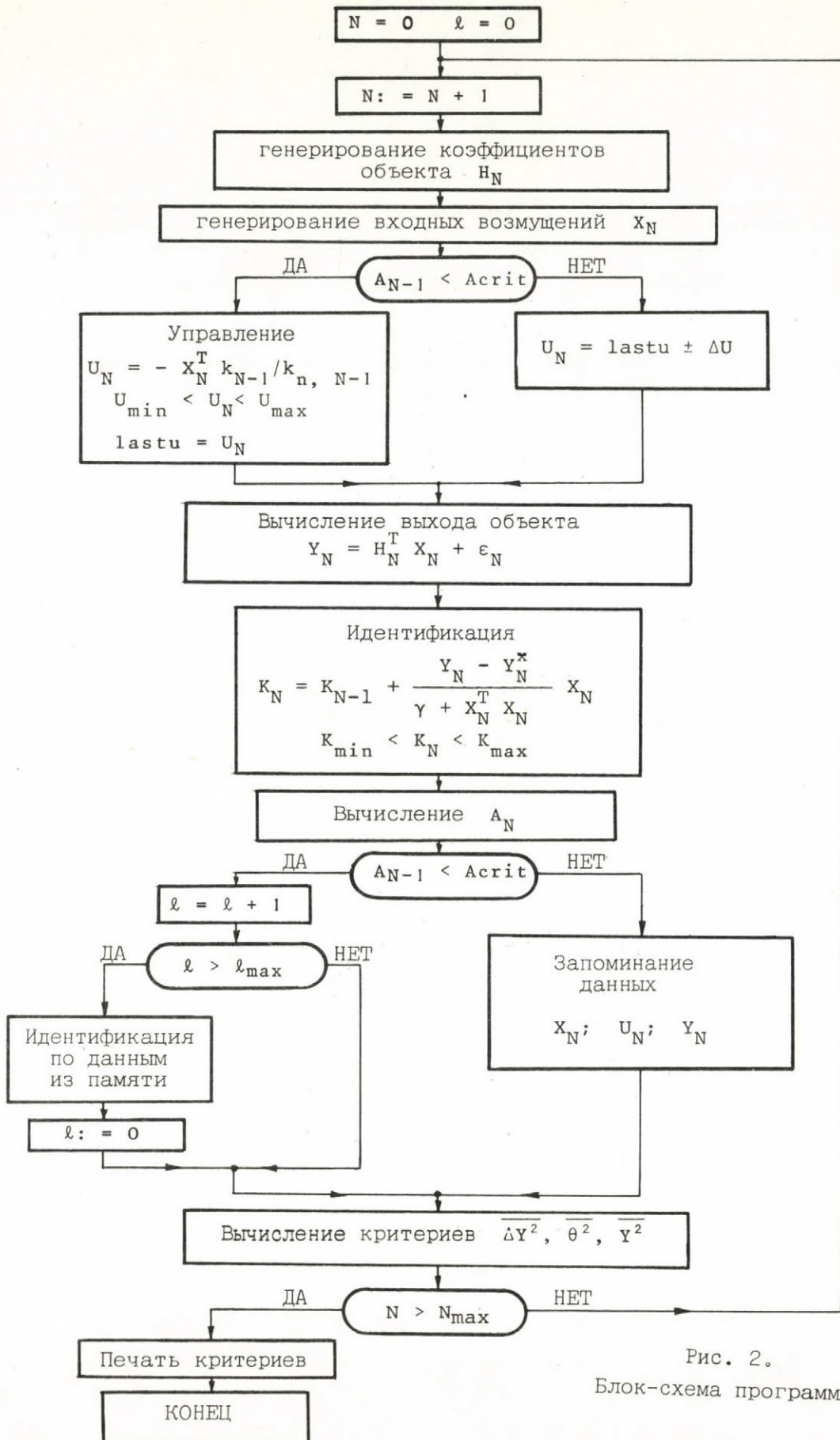


Рис. 2.  
Блок-схема программы.

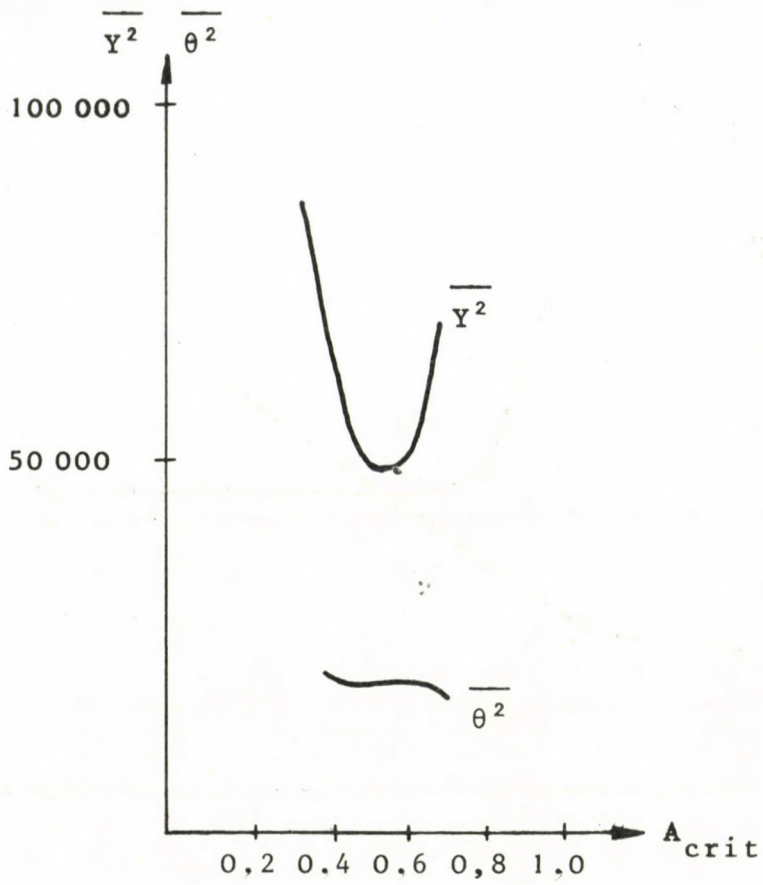


Рис. 3.

Моделирование при широких ограничениях



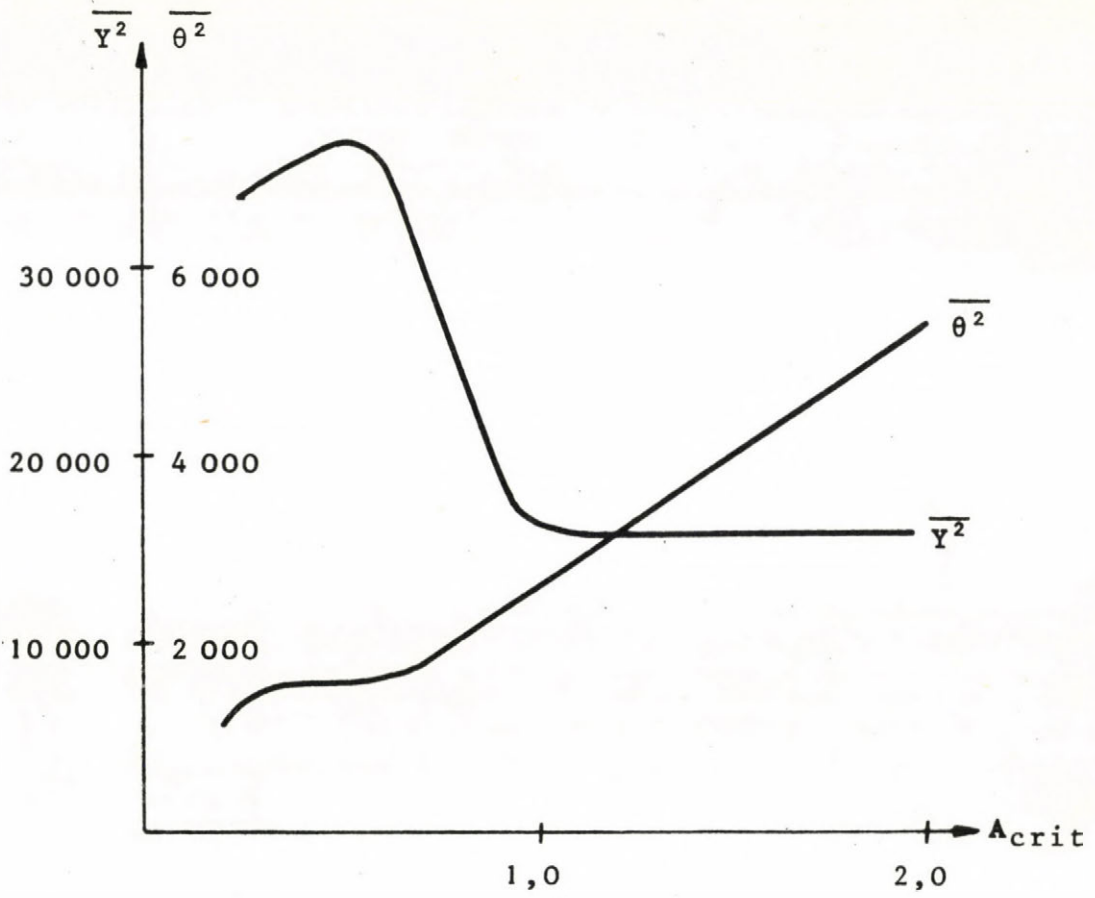


Рис. 4.

Моделирование при узких ограничениях